

TALLINNA POLÜTEHNIKLINE INSTITUUT  
Füüsika kateeder

FÜÜSIKA II  
Metoodiline materjal

Koostanud E. Rusalep

ISBN 9789949483037 (pdf)

Tallinn  
1988

Kinnitatud üldteoreetilise teaduskonna õppemetoodilise  
kirjanduse kolleegiumi poolt 20.01.1986

ТАЛЛИНСКИЙ ПОЛИТЕХНИЧЕСКИЙ ИНСТИТУТ

Кафедра физики

ФИЗИКА II

Методический материал

Составил Э. Рузален

На эстонском языке

Vastutav toimetaja R. Loide

Trükkimisele antud 18.03.1987. Formaat 60x84/16

Trükipg. 8,25. Cingtrükipg. 7,67. Arvestuspg. 7,54

Trükiarv 1500.Tell. nr. 184. Hind 25 kop.

Tallinna Polütehniline Instituut,

Tallinn 200108, Ehitajate tee 5,

TPU rotaprint, Tallinn 200005,

Koskla 2/9

## II osa

# K V A N T M E H A A N I K A   J A   A A T O M I - F Ü Ü S I K A

## KVANTMEHAANIKA APARATUUR

### De Broglie hüpotees elektronlainetest

Valgusel on nii lainelised kui korpuskulaarsed omadused. De Broglie oletas, et niisugune dualism on omane mateeriale üldse, s.t. et elektronidel ja teistel osakestel on koos korpuskulaarsete omadustega ka lainelised omadused.

### De Broglie laine pikkus

Elektronide ja teiste osakestega seotud laine pikkuse leidmiseks kasutas de Broglie samuti analoogiat valguskvantidega. Kvandi impuls

$$p = mc = \frac{h\nu}{c^2} c = \frac{h\nu}{c} = \frac{h}{\lambda}, \quad (470)$$

kust

$$\lambda = \frac{h}{mc} = \frac{h}{p}. \quad (471)$$

Analoogselt osakese nn. de Broglie laine pikkus

$$\lambda = \frac{h}{mu} = \frac{h}{p} = \frac{2\pi\hbar}{p}, \quad (472)$$

kus  $u$  on osakese kiirus ( $u < c$ , lõpliku seisumassiga osake ei saa liikuda kiirusega  $c$ );

$\hbar = \frac{h}{2\pi}$  on nn. taandatud Plancki konstant.

Analoogselt kvandi energiaga avaldub osakese energia:

$$E = h\nu = 2\pi\hbar\nu = \hbar\omega. \quad (473)$$

### Elektronide difraktsioon

Elektronidel energiaga on  $10 \dots 10^3$  eV on de Broglie

laine pikkus samas suurusjärgus röntgenikiirguse laine pikkusega. Kuna röntgenikiired annavad difraktsiooni kristallide ruumvõres, siis peaksid niisuguse energiaga elektronid samuti andma difraktsiooni kristallide ruumvõres. Sellise elektronide difraktsiooni avastasid Davisson ja Germer, töestades sellega katseliselt elektronide lainelised omadused.

### Mikroosakesed

Mikroosakesteks nimetatakse osakesi, millel on nii lainelised kui korpuskulaarsed omadused.

### Määramatuse relatsioon

Kuna mikroosakestel on nii korpuskulaarsed kui lainelised omadused, siis tuleb nende kirjeldamiseks kasutada nii lainet kui osakest iseloomustavaid suurusi. Kuid need on palju teineteist välalistavad.

Klassikalisele osakesele on iseloomulik see, et võime põhimõtteliselt täpselt määrata tema asukoha (koordinaadid) ja impulsi (või kiiruse) antud hetkel.

Real juntudel võime ka mikrooskest kirjeldada suuruste abil, mis rangelt vöttes pole talle kui lainele iseloomulikud, näit. ligikaudu määrata tema asukoha ja impulsi. Selлиse lähenuse kõlblikkuse piirid määrabki määramatuse e. Heisenbergi relatsioon. Koordinaatide ja impulsi määramatus on seotud järgmiselt:

$$\Delta x \Delta p_x \geq h,$$

$$\Delta y \Delta p_y \geq h,$$

$$\Delta z \Delta p_z \geq h,$$

(474)

kus  $\Delta x$ ,  $\Delta y$ ,  $\Delta z$  on koordinaatide määramatused;

$\Delta p_x$ ,  $\Delta p_y$ ,  $\Delta p_z$  - impulsi  $x$ ,  $y$ ,  $z$ -telje sihiliste komponentide määramatused.

Jutt on põhimõttelisest määramatusest, "veast", mitte katseveast. Kuna mikroosake kujutab endast lainet, siis ei ole

põhimõtteliselt võimalik täpselt samaaegselt määrata tema asukohta ja impulssi. Mida täpsemalt määrame ühe neist suurustest, seda määramatumaks jäab teine. Kui ühe neist suurustest määrame täiesti täpselt (näit.  $\Delta x = 0$ ), siis jäab teine täiesti määramatuks ( $\Delta p_x = \infty$ ).

Määramatuse relatsiooni võib seostada veel teistegi suuruste paaridega. Näit.:

$$\Delta E \Delta t \geq h, \quad (475)$$

kus  $\Delta t$  on ajavahemik, mille välitel on mõõdetud mikroosakese energia,  $\Delta E$  on energia määramatus. Kui protsess toimub väga kiiresti, on energia määrematus väga suur. Seetõttu võib mikroosakestega toimuvatel protsessidel esineda energia jäavuse seaduse ajutisi "rikkumisi". Energia jäavus kehtib protsessi alg- ja lõppstaadiumi kohta. Saavad võimalikuks protsessid, mis klassikaliste kujutluste põhjal on võimatu.

### Schrödingeri võrrand

Mikroosakeste käitumist ei saa õigesti kirjeldada klassikalise mehaanika võrandid. Teooria, mis kirjeldab mikroosakese käitumist, peab arvestama kõiki tema omadusi. Niisuguse teooria – kvantmehaanika – rajasid Schrödinger, Heisenberg, Dirac jt.

Kvantmehaanika põhivõrrandiks on Schrödingeri võrrand. Nii nagu Newtoni võrandeid ei saa teoreetiliselt tuletada, ei saa tuletada ka Schrödingeri võrandit. Tema õigsust on kontrollitud katsetega. Kuna temast tulenevad järelased on katsetega kooskõlas (võrandit ennast otseselt katseliselt kontrollida ei saa), siis on ta loodusseadus.

Mikroosakese olekut kirjeldab kvantmehaanikas nn. lainefunktsioon  $\Psi$ . Lainefunktsioon on üldjuhul koordinaatide ja aja funktsioon. Schrödingeri võrrand on võrrand lainefunktsiooni jaoks, lainefunktsioon on Schrödingeri võrandi lahend.

Schrödingeri võrrand on osatuletistega diferentsiaalvõrrand, tema argumentideks on mikroosakese koordinaadid ja

aeg. Schrödingeri võrrand:

$$-\frac{\hbar^2}{2m} \Delta \Psi + U\Psi = i\hbar \frac{\partial \Psi}{\partial t}, \quad (476)$$

kus  $m$  on osakese mass;

$\Delta$  – Laplace'i operaator;

$U$  – osakese potentsiaalne energia;

$i = \sqrt{-1}$ .

$$\Delta \Psi = \frac{\partial^2 \Psi}{\partial x^2} + \frac{\partial^2 \Psi}{\partial y^2} + \frac{\partial^2 \Psi}{\partial z^2}. \quad (477)$$

Võrrandist järeltub, et laine funktsiooni kuju on määratud osakese potentsiaalse energiaga, s.t. sisuliselt osakesele mõjuvate jõududega ( $\vec{f} = -\text{grad } U$ ). Üldjuhul on potentsiaalne energia koordinaatide ja aja funktsioon.

#### Schrödingeri võrrand statsionaarsete olekute jaoks

Statsionaarse, s.o. ajas muutumatu jõuvälja korral ei sõltu  $U$  ajast. Sel juhul saab laine funktsiooni esitada kahe funktsiooni korrutisena, millest üks sõltub ainult ajast, teine – ainult koordinaatidest:

$$\Psi(x, y, z, t) = e^{-\frac{iE}{\hbar}t} \psi(x, y, z), \quad (478)$$

kus  $E$  on osakese koguenergia. Selle funktsiooni ajast sõltuv osa on ühesugune kõigi statsionaarsete jõuväljade korral.

Paigutades funktsiooni (478) Schrödingeri võrrandisse (476), taandub ajast sõltuv osa välja ja saame Schrödingeri võrrandi statsionaarsete (ajast sõltumatute) olekute jaoks.

$$\Delta \psi + \frac{2m}{\hbar^2}(E - U)\psi = 0. \quad (479)$$

Kui  $U$  ei sõltu ajast, piisab osakese oleku määramiseks selle võrrandi lahendamisest.  $E - U$  on osakese kineetiline energia.

### Lainefunktsioon ja tema statistiline tõlgendus

Et selgitada lainefunktsiooni füüsikalist sisu, vaatleme näitena ühes suunas levivate vabade mikroosakeste voo-gu ehk teisiti – tasalainet.

Laine intensiivsus on võrdeline amplituudi ruuduga. Kuna lainefunktsioon on üldjuhul kompleksne suurus, siis tuleb amplituudi ruudu asemel võtta tema mooduli ruut, sest intensiivsus võib avalduda ainult reaalarvuna. Kompleksarvu mooduli ruut:

$$|\Psi|^2 = \Psi \Psi^*, \quad (480)$$

kus  $\Psi^*$  on funktsiooni  $\Psi$  kaaskompleksne.

Teisest küljest – osakeste voo intensiivsus on võrdeline voo tihedusega, s.o. osakeste arvuga ruumalaühikus. Mikroosakese korral ei saa aga rääkida tema täpsest asuko-hast (määramatuse relatsioon), vaid töenäosusest osakese leidmiseks antud kohas ruumalaühikus. Seega osakeste arvu asemel ruumalaühikus tuleb mikroosakeste korrai kasutada töenäosust osakese leidmiseks antud kohas ruumalaühikus enk töenäosuse tihedust. Järelikult: lainefunktsiooni mooduli ruut määrab töenäosuse mikroosakese leidmiseks antud kohas ruumalaühikus:

$$\frac{d\eta}{dV} = \Psi \Psi^*, \quad (481)$$

kus  $d\eta$  on töenäosus mikroosakese leidmiseks ruumalas  $dV$ . Avaldist (481) võib vaadata kui lainefunktsiooni sisu määratlust. Statsionaarsete olekute korral ei sõltu töenäosuse tihedus ajast.

Kuna vaadeldav mikroosake kusagil ruumis kindlasti asub (töenäosus selleks on 1), siis integraal üle kogu ruumi

$$\int \Psi \Psi^* dV = 1. \quad (482)$$

Matemaatikas räägitakse niisugusest juhul, et funktsioon on normmeeritud. Avaldis (482) on lainefunktsiooni normeerimis-tingimus.

## Põhjuslikkuse printsip klassikalises füüsikas ja kvantmehaanikas

Kvantmehaanikas pole võimalik määrata mikroosakese täpset asukohta ruumis ega tema trajektoori, vaid ennustada, millise tõenäosusega võib leida osakest erinevates ruumipunktides. Seetõttu võib tunduda, et kvantmehaanika kirjeldab osakese liikumist vähem täpselt kui klassikaline mehaanika, mis määrab "täpselt" osakese asukoha ja kiiruse igal hetkel.

Kui on teada osakese algtingimused ja talle mõjuvad joud, võime Newtoni võrrandite abil leida osakese asukoha ja kiiruse igal ajahetkel, seega ka trajektoori. Selles seisneb klassikalise mehaanika põhjuslikkuse e. determinismi printsip.

Kvantmehaanika avab mikroosakese käitumise palju sügavamalt. Ta lihtsalt ei määra seda, mida pole olemas. Mikroosakese jaoks kaotavad kindla asukoha ja trajektoori mõisted mõtte. Liikumine piki kindlat trajektoori ei sobi kokku laieneomadustega. Piltlikult ette kujutades - mikroosake nagu "määritakse" laiali teatud ruumi. Näiteks ühte elektroni aatomis kujutame ette kui elektronpilve, mille tihedus ruumis muutub pidevalt ja sujuvalt.

Kvantmehaanikas omandavad nähtused statistilise, tõenäosusliku iseloomu. Näiteks võime välja arvutada tõenäosuse elektroni üleminekuks ühelt energiatasemelt teisele aatomis. Pole üldse täpselt määratud, millisele tasemele elektron antud tasemelt läheb, küll aga on kindel tõenäosus üleminekuks ühele või teisele tasemele. Suure hulga aatomite korral realiseeruvad need üleminekud täpselt vastavalt väljaarvutatud tõenäosusele. Selles seisnebki põhjuslikkuse printsip kvantmehaanikas: "täpne" determineeritus asendub tõenäosusega ja see kajastab just täpselt mikroosakese reaalset olemust.

## Kvantamine, Omavaärtused ja omafunktsioonid

Tulenevalt laine funktsiooni füüsikalisest sisust (tõenäosuse tihedus) peab ta alati rahuldama teatud tingimusi ja

nimelt - olema oma argumentide 1) ühine, 2) lõplik, 3) pidev ja sujuv funktsioon. Ühtlasi on Schrödingeri võrrandis parameetriks osake koguenergia E. Matemaatikas töestatakse, et kui osake asub potentsiaali augus, siis on sellise kujuga võrranditel ühesed, lõplikud, pidevad ja sujuvad lahendid olemas ainult parameetri E kindlatel, diskreetsetel värtustel. Suurusi, mis ei või muutuda pidevalt, vaid võivad omandada ainult diskreetseid värtusi, nimetatakse kvantituteks. Seega tuleneb energia (samuti teiste suuruste) kvantimine laine funktsiooni füüsikalisest sisust. Neid kindlaid parameetri värtusi nimetatakse selle parameetri omavaartusteks ja neile vastavaid võrrandi lahendeid - oma funktsionideks.

#### Osake lõpmata sūgavas ühemõõtmelises potentsiaali augus

Eeldame, et osake võib liikuda ainult piki x-telge. Potentsiaali auk on ristkülikukujuline ja lõpmata sūgav. Piirkonnas  $x < 0$  ja  $x > 1$ ,  $U = \infty$ , piirkonnas  $0 \leq x \leq 1$ ,  $U = 0$ ; 1 on potentsiaali augu laius. Kuna  $U \neq f(t)$ , siis piisab Schrödingeri võrrandi lahendamisest statsionaarsete olekute jaks. Laine funktsioon  $\psi$  sõltub ainult koordinaadist x. Schrödingeri võrrand:

$$\frac{d^2\psi}{dx^2} + \frac{2m}{\hbar^2}(E - U)\psi = 0. \quad (483)$$

Kuna osake potentsiaali august väljuda ei saa, on töenäosus leida osakest väljaspool auku 0 ja seega seal ka  $\psi = 0$ . Et  $\psi$  peab olema pidev, peab ta ka augu servadel olema 0.

$$\begin{cases} \psi(0) = 0, \\ \psi(1) = 0. \end{cases} \quad (484)$$

Piirkonnas, kus  $\psi \neq 0$ , on  $U = 0$ . Võrrand (483) selles piirkonnas:

$$\frac{d^2\psi}{dx^2} + \frac{2m}{\hbar^2} E\psi = 0. \quad (485)$$

Tähistame

$$\frac{2mE}{\hbar^2} = k^2. \quad (486)$$

Võib veenduda, et  $k = \frac{2\pi}{\lambda}$ , s.t.  $k$  on laineiarv. Võrrand (485) omendab kuju

$$\frac{d^2\psi}{dx^2} + k^2\psi = 0. \quad (487)$$

Niisugune võrrand on meile tuttav harmooniliste vörkumiste juurest. Kuna augu servadel peab  $\psi = 0$ , valime lahendiks siinusfunktsiooni.

$$\psi(x) = a \sin(kx + \alpha). \quad (488)$$

Tingimustest (484) saame määrata konstandid  $k$  ja  $\alpha$ .

$$\psi(0) = a \sin \alpha = 0,$$

kust saame  $\alpha = 0$ .

$$\psi(l) = a \sin kl = 0,$$

kus saame

$$kl = \pm \pi n \quad (n=1, 2, 3, \dots). \quad (489)$$

$n = 0$  ei kõlba, sest siis  $\psi(x) \equiv 0$ , s.t. osake ei asu üldse kusgil. Paigutame  $k = \pm \frac{n\pi}{l}$  avaldisse (486) ja avaldame osakese energiat:

$$E_n = \frac{\pi^2 \hbar^2}{2ml^2} n^2 \quad (n=1, 2, 3, \dots). \quad (490)$$

Seega näudest, et  $\psi$  peab olema pidev, järeltubki energia kvantimine.  $n$  on energia kvantarv. Ühtlasi järeltubavaldisest (490), et osakese energia potentiaali augus ei või olla 0.

Kuna augus  $U = 0$ , on  $E_n$  osakese kineetiline energia.

$$E_n = \frac{p^2}{2m},$$

kust

$$p = \sqrt{2mE} = \frac{\pi\hbar}{l}n, \quad (491)$$

s.t. ka impulss on kvanditud. Ka impulss ei saa olla 0, s.t. osake ei või peatuda. Impulsi minimaalne väärtus on  $\frac{\pi\hbar}{l}$ . Kuna osake võib liikuda nii x-telje positiivses kui negatiivses suunas, muutub impulsi minimaalne väärtus piirides  $+\frac{\pi\hbar}{l} \dots -\frac{\pi\hbar}{l}$ , seega vahemikus laiusega  $\frac{2\pi\hbar}{l}$ . Seda vahemikku võib vaadata kui impulsi määramatust  $\Delta p_x = \frac{2\pi\hbar}{l}$ . Koordinaadi määramatus  $\Delta x = l$ , sest kusgil augus peab osake asuma.

$$\Delta x \Delta p = 2\pi\hbar = h,$$

mis on kooskõlas määramatuse relatsiooniga. Võib väita ka vastupidi: impulsi ja energia kvantimine tuleneb just määramatuse relatsioonist.

Konstandi a laine funktsiooni avaldises (488) määrame normeerimistingimusest. Kuna  $\psi$  on reaalne, siis  $\psi = \psi^*$  ja

$$\psi\psi^* = a^2 \sin^2 \frac{n\pi x}{l}.$$

$$\int_0^l \psi\psi^* dx = a^2 \int_0^l \sin^2 \frac{n\pi x}{l} dx = 1. \quad (492)$$

Integreerimisvahemiku otspunktides muutub integreeritav funktsioon nulliks. Seetõttu võib integraali väärtuse leida  $\sin^2 \frac{n\pi x}{l}$  keskväärtuse ja vahemiku laiuse l korruitisenana.

$\sin^2 \frac{n\pi x}{l}$  keskväärtus võrdub  $1/2$ . Seega

$$a^2 \frac{1}{2}l = 1,$$

kust

$$a = \sqrt{\frac{2}{l}} \quad (493)$$

ja

$$\psi_n = \sqrt{\frac{2}{l}} \sin \frac{n\pi x}{l} \quad (n=1, 2, \dots). \quad (494)$$

Erinevalt klassikalistest kujutlustest ei saa osake viibida kõikjal augus. Näiteks kui  $n = 2$ , siis ei või osake viibida augu keskel (seal  $\Psi\Psi^* = 0$ ).

### Bohri vastavuse printsip

Hindame naaberenergiatasemete vahelist kaugust potentsiaali augus. Avaldisest (490):

$$\Delta E_n = E_{n+1} - E_n = \frac{\pi^2 \hbar^2}{2ml^2} (2n+1). \quad (495)$$

$$\frac{\Delta E_n}{E_n} = \frac{2n+1}{n^2}. \quad (496)$$

Kui  $n$  on suur ( $n \rightarrow \infty$ ), siis

$$\frac{\Delta E_n}{E_n} \approx \frac{2}{n}. \quad (497)$$

Seega kvantarvu  $n$  suurtel väärustel  $\Delta E_n \ll E_n$ , s.t. toimub energiatasemete suhteline lähenemine. Kvantarvu  $n$  suurtel väärustel annab kvantimine tulemusi, mis on lähedased klassikalistele. Selles seisneb Bohri vastavuse printsip: suurtel kvantarvu väärustel peavad kvantmehaanika tulemused vastama klassikalistele.

Sama printsip üldisemal kujul: iga teooria, mis on klassikalise teooria edasiarenduseks, peab teatud piirtingimustel üle minema klassikaliseks teooriaks.

Relatiivsusteooria läheb üle klassikaliseks teooriaks, kui  $\beta = \frac{v}{c} \rightarrow 0$ . Analoogselt läheb kvantmehaanika üle klassikaliseks teooriaks, kui  $n \rightarrow \infty$ , ehk teisiti – kui võime mitte arvestada  $\hbar$  lõplikkust ( $\hbar \rightarrow 0$ ).

### Tunneliefekt

Liikugu osake jällegi  $x$ -telje positiivses suunas. Tema

teele jääb ristkülikukujuline potentsiaali barjaär kõrgusega  $U_0$  ja laiusega 1. Piirkonnas  $x < 0$  ja  $x > 1$   $U = 0$ , piirkonnas  $0 \leq x \leq 1$   $U = U_0 = \text{const.}$

Kui osakese kineetiline energia  $E > U_0$ , siis klassikalise teooria põhjal liigub osake takistamatult barjaäri "kohal", piirkonnas  $0 \leq x \leq 1$  tema kineetiline energia ja kiirus vähenevad; kui  $x > 1$ , saavutavad nad endise väärtuse. Kui  $E < U_0$ , peegeldub osake barjaärist tagasi ja liigub vastasuunas. Läbi barjaäri ta tungida ei saa.

Hoopis teisiti käitub osake kvantmehaanika põhjal:  
 1) isegi juhul, kui  $E > U_0$ , on teatud töenäosus barjaärist peegeldumiseks; 2) kui  $E < U_0$ , on teatav töenäosus selleks, et osake läbib barjaäri ja satub piirkonda  $x > 1$ .

Vaatlemegi juhtu  $E < U_0$ . Kuna  $U_0 \neq f(t)$ , piirdume Schrödingeri võrrandiga statsionaarsete olekute jaoks.

Piirkonnas  $x < 0$  (I) ja  $x > 1$  (III):

$$\frac{d^2\psi}{dx^2} + \frac{2m}{\hbar^2} E\psi = 0, \quad (498)$$

kus  $E$  on osakese kineetiline energia. Piirkonnas  $0 \leq x \leq 1$  (II):

$$\frac{d^2\psi}{dx^2} + \frac{2m}{\hbar^2}(E - U_0)\psi = 0, \quad (499)$$

kusjuures  $E < U_0$ , s.t.  $E - U_0 < 0$  (siin on  $E$  koguenergia).

Nende võrrandite üldlahendid:

$$\Psi_1 = A_1 e^{i\alpha x} + B_1 e^{-i\alpha x}; \quad I \quad (500)$$

$$\Psi_2 = A_2 e^{\beta x} + B_2 e^{-\beta x}; \quad II \quad (501)$$

$$\Psi_3 = A_3 e^{i\alpha x} + B_3 e^{-i\alpha x}, \quad III \quad (502)$$

kus

$$\alpha^2 = \frac{2mE}{\hbar^2} \quad (503)$$

ja

$$\beta^2 = \frac{2m(U_0 - E)}{\hbar^2}. \quad (504)$$

$i\alpha x$

Lahend  $e^{i\alpha x}$  vastab x-telje positiivses suunas levivale lainele,  $e^{-i\alpha x}$  - negatiivses suunas levivale lainele (peegeldunud laine). Kuna piirkonnas III on reaalselt ainult x-telje positiivses suunas leviv laine, tuleb võtta  $B_3 = 0$ .

Ülejääenud konstandid saab jälegi leida tingimustest, mida peab rahuldama lainefunktsioon. Selleks, et  $\psi$  oleks pidev kogu x muutumispiirkonnas, peab

$$\psi_1(0) = \psi_2(0) \quad (505)$$

ja

$$\psi_2(1) = \psi_3(1). \quad (506)$$

Selleks, et funktsioonil  $\psi$  poleks murdekohti (ta peab olema sujuv), peavad ka tuletised olema pidevad.

$$\psi'_1(0) = \psi'_2(0) \quad (507)$$

ja

$$\psi'_2(1) = \psi'_3(1). \quad (508)$$

Nendest tingimustest saame:

$$\left\{ \begin{array}{l} A_1 + B_1 = A_2 + B_2, \\ A_2 e^{\beta l} + B_2 e^{-\beta l} = A_3 e^{i\alpha l}, \\ i\alpha A_1 - i\alpha B_1 = \beta A_2 - \beta B_2, \\ \beta A_2 e^{\beta l} - \beta B_2 e^{-\beta l} = i\alpha A_3 e^{i\alpha l}. \end{array} \right. \quad (509)$$

Jagades kõik võrrandid läbi  $A_1$ -ga ja kaks viimast  $\alpha$ -ga ning tähistades

$$b_1 = \frac{B_1}{A_1}, \quad a_2 = \frac{A_2}{A_1}, \quad b_2 = \frac{B_2}{A_1}, \quad a_3 = \frac{A_3}{A_1}, \quad n = \frac{\beta}{\alpha},$$

saame:

$$\left\{ \begin{array}{l} 1 + b_1 = a_2 + b_2, \\ a_2 e^{\beta_1} + b_2 e^{-\beta_1} = a_3 e^{i\alpha_1}, \\ i - ib_1 = na_2 - nb_2, \\ na_2 e^{\beta_1} - nb_2 e^{-\beta_1} = ia_3 e^{i\alpha_1}. \end{array} \right. \quad (510)$$

Peegeldunud laine ja pealelangeva laine amplituudi moodulite ruutude suhe

$$R = \frac{|B_1|^2}{|A_1|^2} = |b_1|^2 \quad (511)$$

määrab tõenäosuse, et osake peegeldub potentsiaalibarjääri. Nimetame seda peegeldumisteguriks.

Läbiläinud laine ja pealelangeva laine amplituudi moodulite ruutude suhe

$$D = \frac{|A_3|^2}{|A_1|^2} = |a_3|^3 \quad (512)$$

määrab tõenäosuse, et osake läbiks potentsiaalibarjääri. Nimetame seda läbilaskvusteguriks.

Meid huvitab ainult läbiminek, s.t. D (tegelikult  $R + D = 1$ ).

D ( $a_3$ ) leidmiseks tuleb lahendada algebraline võrrandisüsteem (510).

Pärast mõningaid lihtsustusi ja ligikaudsus'i saame:

$$D \approx e^{-2\beta_1} = e^{-\frac{2}{\hbar} \sqrt{2m(U_0-E)}l}, \quad (513)$$

kust on näha, et barjääri läbimise tõenäosus on seda suurem, mida väiksem on  $U_0 - E$  (ehk mida suurem on osakese energia E), mida väiksem on osakese mass ja mida kitsam on potentsiaalibarjääri.

Meelevaldse kujuga potentsiaali barjääri korral:

$$D \approx e^{-\frac{2}{\hbar} \int_a^b \sqrt{2m(U-E)} dx}, \quad (514)$$

kus  $a$  ja  $b$  on argumendi  $x$  väärised kohal, kus  $x$ -teljega paralleelne sirge  $E = \text{const}$  lõikab kõverat  $U(x)$ .

Potentsiaali parjaäri läbimist juhul, kui  $E < U$ , nimetatakse tunneliefektiks, sest piltlikult võime ette kujutada nagu liiguks osake mõoda potentsiaalset energiat kujutavat kõverat kui mäge läbivat tunnelit. Klassikalise teooria seisukohalt on tunneliefekt absurdne nähtus, sest tunnelis peaks osakese kineetiline energia olema  $< 0$  (tunnelis on koguenergia  $E < U$ ). Tunneliefekt on spetsiifiline kvantnähtus, millel pole analoogi klassikalises teoorias.

Sisuliselt on asi selles, et kvantmehaanikas ei oma koguenergia lahutamine kineetiliseks ja potentsiaalseks mõtet, kuna see on vastuolus määramatuse relatsiooniga. Töepoolest, kui osakesel on kindel kineetiline energia, siis on on tal ka kindel impuls. Teiselt poolt – kui osakesel on kindel potentsiaalne energia, siis peab ta asuma kindlas kohas ruumis. Kuna aga osakese koordinaadil ja impulsil ei saa samaaegselt olla kindlaid väärusi, siis ei saa ka  $T$  ja  $U$  olla samaaegselt täpselt mäaratud. Seega kindel värtus on ainult osakese koguenergial, kuid teda ei saa esitada täpselt mäaratud energiate  $T$  ja  $U$  summana.

#### Lineaarne harmooniline ostsillaator

Klassikalises mehaanikas on harmooniline ostsillaator harmooniliselt vönkuv osake. Vaatame ühemõõtmelist ostsillaatorit – osake vongub  $x$ -telje sihis. Tema potentsiaalne energia on sama kui klassikalises mehaanikas:

$$U(x) = \frac{1}{2} kx^2, \quad (515)$$

kus  $k$  on vedrupendli korral jäikus, üldiselt – elastsustegur.

$$k = m \omega_0^2, \quad (516)$$

kus  $\omega_0$  on omavõnkeringssagedus.

Schrödingeri võrrand statsionaarse olekute jaoks:

$$\frac{d^2\psi}{dx^2} + \frac{2m}{\hbar^2}(E - \frac{kx^2}{2})\psi = 0. \quad (517)$$

Klassikalise mehaanika põhjal võib  $x$  muutuda piirkondas  $-a \dots +a$  ( $a$  on amplituud). Kvantmehaanika põhjal  $\psi \neq 0$  ka väljaspool neid piire. Kuid ta peab rahuldama tingimust: kui  $|x| \rightarrow \infty$ , siis  $\psi(x) \rightarrow 0$  (nn. ääretingimus), sest potentsiaalne energia ei või lõpmatult kasvada.  $x$  kasvades peab  $\psi$  kõllalt kiiresti vähenema. Võrrandi lahendamine on antud juhul liialt keeruline matemaatiline probleem. Oluline on, et ääretingimusest ja laine funktsiooni lõplikkuse, ühesuse ja pidevuse nõudest järeltub jällegi energia kvantimine. Niisugused lahendid on olemas, kui

$$E_n = \hbar\omega_0(n + \frac{1}{2}), \quad (518)$$

kus  $n = 0, 1, 2 \dots$ .

Jällegi ei või osakese energia olla 0, ostsillaator ei või peatuda. Ostsillaatori minimaalne energia

$$E_0 = \frac{1}{2}\hbar\omega_0. \quad (519)$$

Seda nimetatakse ostsillaatori põhitasemeks ehk nullenergiaks, vònkumisi minimaalse energiaga – nullvònkumisteks. See, et ostsillaatori energia ei või olla 0, on jällegi seotud määramatuse relatsiooniga. Kaugus naabertasemete vahel

$$\Delta E = E_{n+1} - E_n = \hbar\omega_0. \quad (520)$$

$\Delta E$  ei sõltu kvantarvust  $n$ .

Kvantmehaaniline ostsillaator etendab tähtaast osa neis füüsikalistes nähtustes, kus on tegemist mikroosakeste vònkumisega, näiteks molekulide vònkespektrid, valguse hajutamine kristallides ülimadalatel temperatuuridel. Isegi kui absoluutne temperatuur  $T \rightarrow 0$ , ei lakka aatomite vònkumine kristallivõres.

Kvantarvu  $n$  jaoks kehtib nn. valikureegel:

$$\Delta n = \pm 1, \quad (521)$$

s.t. ostsillaatori energia võib muutuda ainult annuste  $\hbar\omega_0$  kaupa.

Kui ostisillaator on laetud osake (näit. dipool), siis vastasmõjus elektromagnetilise väljaga võib ta üle minna ainult naabertasemele. Üleminekul ülemisele tasemele ta neelab, üleminekul alumisele kiirgab footoni  $\hbar\omega_0$ . Seejuures footoni sagedus võrdub ostsillaatori omavõnkesagedusega. Seega väljastab kvantmenaaniline ostsillaator sama sagedusega kiirgust kui klassikaline ostsillaator. Erinevus on kiirguse mehanismis – klassikaline ostsillaator kiirgab pidevalt, kvantmehaaniline ostsillaator statsionaarses olekus vongub, kuid ei kiirga, kiirgab ainult ühelt tasemelt teisele üle minnes. Põhiolekus ostsillaator kiirata ei või. Klassikaline ostsillaator võib koguda energiat pidevalt, kvantmehaaniline – ainult kindlate annuste kaupa.

## AATOMITE JA MOLEKULIDE FÜÜSIKA

### Rutherfordi katsed

Klassikalise elektroniteooria põhjal on aatomis kvaasi-elastelt seotud elektronid. Elektron jäi pikaks ajaks sinaks aatomini teadaolevaks koostisosaks. Kuna aatom tervikuna on neutraalne, siis peab seal peale negatiivse laenguga elektronide olema ka positiivne laeng.

Küsimusele positiivsest laengust aatomis andsid vastuse Rutherfordi katsed:  $\alpha$ -osakeste hajutamine aatomite poolt.  $\alpha$ -osake on kahekordelt ioniseeritud He-aatom ehk He-aatomi tuum,  $\alpha$ -osakesi väljastavad loodulike radioaktiivsete ainete tuumad. Kitsas  $\alpha$ -osakeste kimp suunati õhukesele (mõni sajandik mm) metall-lehele. Katsete tulemusena  $\alpha$ -osakeste kimp hajus, kusjuures enamik osakesi läbis metall-lehe peaaegu suunda muutmata, hajunud osakeste arv vähenes hajumisnurga suurenedes, üksikud muutsid suunda  $\sim 180^\circ$  vörra (pöökusid tagasi).

Nende faktide analüüsist tulenes 3 tähtsat järeldust:

- 1) peaaegu kogu aatomi mass on seotud aatomi positiivse laenguga;

2) positiivse laengu mõõtmmed on palju väiksemad aatomi mõõtmetest ( $10^{-13}$ ,  $10^{-8}$  cm);

3) aatomi positiivne laeng  $q = Ze$  ( $Z$  on elemendi järgjenumber Mendelejevi tabelis).

### Aatomi tuuma- ehk planetaarne mudel

Kuna positiivse laenguga on seotud peaaegu kogu aatomi mass, samal ajal aga tema mõõtmmed on palju väiksemad aatomi mõõtmetest, hakati positiivset laengut aatomis nimetama aatomi tuumaks (analoogselt raku tuumaga).

Aatom on väga stabiilne süsteem. Elektronid on aatomis tasakaaluolekus. Selline tasakaal saab olla ainult dünaamiline, s.t. elektronid tiirlevad ümber tuuma, kusjuures kesktõmbejõuks on kulooniline tõmbejõud elektroni ja positiivselt laetud tuuma vahel. Niisugune süsteem on täiesti analoogne planeetide süsteemiga. Orbiidid on ellipsid (erijuul ringid), neid võib olla lõpmata palju.

Selline mudel sattus otsekohe vastuollu klassikalise elektrodünaamikaga, sest igasugune kõverjooneline liikumine on kiirendusega liikumine, kiirendusega liikuv laeng peab aga klassikalise elektrodünaamika põhjal kiirgama elektromagnetlaineid ja seega kaotama energiat. Elektron peaks pidevalt lähenema tuumale ja  $\sim 10^{-8}$  s jooksul langema tuuma – aatom peaks hävima.

### Bohri postulaatid

Tekkinud vastuoludest ülesaamiseks esitas Bohr 3 postulaati (väidet, mida ei töestata).

1. Postulaat statsionaarsetest olekutest. Aatomid võivad kestvalt viibida vaid kindlates, nn. statsionaarsetes olekutes. Vaatamata sellele, et elektronid seejuures liiguvad kiirendusega, ei kiirga aatomid energiat. Nendes olekutes on aatomi energia diskreetne:  $E_1, E_2, E_3 \dots$ . Igasugune energia muutus (neelamine või kiirgamine) võib toimuda vaid aatomi üleminekul ühest statsionaarsest olekust teise.

2. Sageduste tingimus.

Üleminekul ühest statsionaarsetest olekust teise väljas-

tavad või neelavad aatomid kindla sagedusega kiirgust:

$$\omega = \frac{E_n - E_i}{\hbar}. \quad (522)$$

3. Statsionaarses olekus võib elektron, tiireldes ringorbiidil (Bohr piirdus esialgu ringorbiitidega), omada vaid kindlaid, kvanditud impulsimomendi väärtusi.

$$L = mur = n\hbar \quad (n=1, 2, 3, \dots), \quad (523)$$

kus  $u$  on elektroni kiirus;

$r$  – orbiidi raadius.

Need postulaadid olid täielikus vastuolus klassikalise mehaanika ja klassikalise elektrodünaamikaga, kuid nad olid täielikus kooskõlas katseliselt kindlaks tehtud aatomi omadustega.

#### Vesiniku aatom Bohri järgi

Bohri teooria lähtepunktiks on:

- 1) elektroni tiirlemisel ümber tuuma on kesktõmbejõuks kulooniline tõmbejõud;
- 2) Bohri kolmas postulaat.

$$\left\{ \begin{array}{l} \frac{mu^2}{r} = \frac{e^2}{r^2}, \\ mur = n\hbar. \end{array} \right. \quad (523)$$

Neist kahest võrrandist võib leida elektroni orbiidi raadiuse ja kiiruse.

$$r = \frac{\hbar^2}{4me} n^2. \quad (524)$$

Vähimaa orbiidi ( $n=1$ ) raadius  $r_0 = 0,529 \cdot 10^{-8}$  cm.

$$r = r_0 n^2. \quad (525)$$

Kiirus

$$u = \frac{e^2}{n\hbar}. \quad (526)$$

\* Aatomifüüsikas kasutame Gaussi (CGS) süsteemi valemeid.

Elektroni kineetiline energia

$$E_k = \frac{mu^2}{2} = \frac{1}{2} \frac{me^4}{h^2} \frac{1}{n^2}. \quad (527)$$

Potentsiaalne energia

$$E_p = -\frac{e^2}{r} = -\frac{me^4}{h^2} \frac{1}{n^2}. \quad (528)$$

Koguenergia

$$E = E_k + E_p = -E_k = -\frac{1}{2} \frac{me^4}{h^2} \frac{1}{n^2}. \quad (529)$$

Nn. vesinikusarnaste ioonide korral

$$E = -\frac{1}{2} \frac{me^4 z^2}{h^2} \frac{1}{n^2}. \quad (530)$$

Vesinikusarnane ioon on selline ioon, milles on ainult üks elektron (tuuma laeng on Ze).

Valemis (528) on potentsiaalse energiavallitused vaba, s.o. aatomist eraldunud elektroni potentsiaalne energiat ( $E_p \rightarrow 0$ , kui  $r \rightarrow \infty$ ). Kuna elektroni energiavallitused tuli negatiivne, siis see tähendab, et aatomi moodustumisel energiat vabaneb ja vastupidi – aatomi lõhkumiseks on vaja energiat. Seega on aatom stabiilne süsteem.

Aatomi põhi- ehk normaalolekuks on minimaalse energiaga olek ( $n=1$ ). Kui paigutada statsionaarsete olekute energiad ühemõõtmelisele energiadiagrammile, saame energiasemete (nivoode) skeemi, millel madalamate tasemete vaheline kaugus on märksa suurem kui kõrgemate tasemete vaheline kaugus. Kui  $n \rightarrow \infty$ , siis tasemed paiknevad üksteisele lõpmata lähedal, s.t. et vaba elektroni energiat võib muutuda pidevalt.

Aatom normaalolekus ei kiirga. Selleks et aatom võiks kiirata, tuleb teda ergastada, s.t. energiat juurde andes viia ta kõrgemale tasemele. Üleminekul kõigilt kõrgematest tasemetelt ühele kindlale tasemele tekib üks spektraalne seeria (spektraaljoonte grupp spektrogrammil). Bohri sageduste tingimuse kohaselt

$$\omega = \frac{E_{n_2} - E_{n_1}}{\hbar} = \frac{1}{2} \frac{me^4}{\hbar^3} \left( \frac{1}{n_1^2} - \frac{1}{n_2^2} \right) = R \left( \frac{1}{n_1^2} - \frac{1}{n_2^2} \right), \quad (531)$$

kus  $R = \frac{1}{2} \frac{me^4}{\hbar^3}$  on nn. Rydbergi konstant, mille võib katseliselt määrata atomaarse vesiniku kiirgusspektrist. Kooskõla katsetega on väga hea.

Ühe spektraalse seeria korral  $n_1=\text{const}$ ,  $n_2=n_1+1$ ,  $n_1+2, \dots$ .

Neeldumisspekter tekib üleminekutel madalamatelt tasemetelt kõrgematele.

Üleminek minimaalse energiaga tasemelt (normaalolek,  $n=1$ ) tasemele  $n = \infty$  tahendab aatomi ioniseerimist ja nende tasemete vahekaugus võrdub ionisatsioonitooga.

Bohri teooria seletas täielikult ära vesiniku aatomi kiirgus- ja neeldumisspektri ja võimaldas arvutada ionisatsioonitoöö. Kooskõla katsetega oli väga hea.

#### Raskused Bohri teoorias

Bohri teooriat arendas edasi Sommefeld. Ta joudis järaldusele, et kvantarve statsionaarse oleku määramiseks peab olema sama palju kui vabadusastmeid (ringorbiidil - 1, elliptilisel - 2). Elliptiliste orbiitide arvestamine halvendas kooskõla katsetega.

Hoopiski ei õnnestunud luua He-aatomi (2 elektroni) teooriat, rääkimata raskematest aatomitest. Samuti ei õnnestunud määrata spektraaljoonte intensiivsust (üleminekute tõenäosust tasemete vanel).

Peamine raskus Bohri teoorias on tema sisemine vastuolulisus: postulaadid olid täielikus vastuolus klassikalise teooriaga, samal ajal orbiitide arvutamisel eeldati, et nad on sellised, nagu on lubatud klassikalises teoorias ( $\frac{mu^2}{r} = \frac{e^2}{r^2}$ ).

Bohri teooria on oluline vaheetapp üleminekul klassikaliselt teoorialt kaasaegsele õpetusele aatomist - kvantmehaanikale.

### Vesiniku aatom Schrödingeri teoorias

Aatomi tuuma mass on palju suurem elektroni massist. Seetõttu tuuma liikumine ühtib praktiliselt kogu aatomi kuligliikumisega ning aatomisisene liikumine on ainult elektroni liikumine ümber tuuma. Seetõttu on sellel liikumisel loomlik siduda koordinaatide alguspunkt tuumaga. Selles süsteemis on tuum liikumatuks jõuvälja allikaks.

Kuna aatomil on lõplikud mõõtmed, peab elektroni lainefunktsioon kauguse kasvades küllalt kiiresti vähenema:

$$\text{kui } r \rightarrow \infty, \quad \text{siis } \psi(r) \rightarrow 0, \quad (532)$$

kus  $r$  on elektroni kaugus tuumast.

Vesiniku aatomis ja vesinikusarnases ioonis liigub elektron tuuma kuloonilises väljas. Tema potentsiaalne energia

$$U = -\frac{Ze^2}{r}, \quad (533)$$

kus  $Ze$  on tuuma laeng (vesinikul  $Z = 1$ ). Kuna  $U \neq f(t)$ , piisab jõalle Schrödingeri võrrandi lahendamisest statsionaarsete olekute jaoks:

$$\Delta\psi + \frac{2m_e}{\hbar^2} \left( E + \frac{Ze^2}{r} \right) \psi = 0, \quad (534)$$

kus  $m_e$  on elektroni mass.

Kuna  $U$  on tsentraalsümmeetriline, on otstarbekohane lahendada võrrand sfäärilistes koordinaatides. Võrrand lahendatakse muutujate eraldamise teel. Lainefunktsiooni saab esitada kujul:

$$\psi(r, \theta, \varphi) = R(r)Y(\theta, \varphi). \quad (535)$$

Kuna võrrandi lahendamine on väga keeruline matemaatiline probleem, piirdume põhiliste tulemuste ja järelustega. Nõudest, et  $\psi$  peab olema lõplik, ühene ja pidev ning tingimusest (532) tuleneb otseselt energia ja teiste suuruste kvantimine. Kvantarve (ja kvandidud suurus) on sama palju kui vabadusastmeid (3). Energia

$$E = - \frac{m_e e^4 Z^2}{2\hbar^2} \frac{1}{n^2} \quad (n=1, 2, 3, \dots), \quad (536)$$

kvantarvu  $n$  nimetatakse peakvantaruks. Tulemus on täpselt sama, kui Bohri teoorias (530). Kuid Bohri teoorias tuli kvantimine sisse n.ö. väljastpoolt (3. postulaat). Kvantmehaanikas tuleneb kvantimine neist loomulikest näuetest, mida peab rahuldama laine funktsioon.

Järgmine kvanditav suurus on elektroni impulsimoment. Elektron, liikudes ümber aatomi tuuma, omab impulsimomenti, mida edaspidi nimetame orbitaalseks momendiks.

$$L = \hbar \sqrt{l(l+1)}, \quad (537)$$

kus  $l$  antud  $n$  korral võib omandada väärustusi (sisuliselt: orbitaalmoment võib omandada kindlaid väärustusi antud energia korral):

$$l = 0, 1, 2, \dots n - 1, \quad (538)$$

seega kokku  $n$  erinevat väartust.  $l$  on orbitaalkvantarv.

Vesiniku aatomi põhiolekus  $n=1$  ja  $l=0$  ning  $L=0$ , s.t. orbitaalne moment puudub.

Koos impulsimomendiga on ümber aatomi tuuma tiirleval elektronil ka magnetmoment.

$$p_m = \frac{1}{c} IS. \quad (539)$$

Seos orbitaalse momendi  $\vec{L}$  ja orbitaalse magnetmomendi  $\vec{p}_m$  vahel on lihtsalt tuletatav klassikaliste kujutluste põhjal:

$$\vec{p}_m = - \frac{e}{2m_e c} \vec{L}. \quad (540)$$

Sama seos jäab kehtima ka kvantmehaanikas (kus elektroni orbiidist enam rääkida ei saa). Seega koos orbitaalse momendiga on kvanditud ka orbitaalne magnetmoment:

$$p_m = \frac{e}{2m_e c} L = \frac{e\hbar}{2m_e c} \sqrt{l(l+1)}. \quad (541)$$

Suurust

$$\mu_B = \frac{e\hbar}{2m_e c} \quad (542)$$

nimetatakse Bohri magnetoniks.

$$p_m = \mu_B \sqrt{l(l+1)}. \quad (543)$$

Katseliselt saab määrata just aatomite magnetmomente.

Järgmise suurusena on kvanditud orbitaalse momendi projektsioon nn. etteantud (eelstatud) suunale. Selleks suunaks võib olla välise magnetvälja suund (vesiniku aatomi korral) või teiste elektronide (peale vaadeldava) ja tuuma magnetvälja suund. See, et orbitaalmomendi projektsioon on kvanditud, tähendab, et orbitaalmoment võib ruumis olla orienteeritud vaid kindlal viisil (nn. ruumiline kvantimine). Tähistame seda suunda z-ga. Orbitaalmomendi projektsioon suunale z:

$$L_z = m\hbar, \quad (544)$$

kus m antud l korral (sisuliselt: projektsioon vektori antud pikkuse korral) võib omandada väärustusi:

$$m = 0, \pm 1, \pm 2, \dots \pm l, \quad (545)$$

seega  $2l + 1$  erinevat väärust. Kvantarvu m nimetatakse magnetkvantarvuks, kuna koos orbitaalmomendi (impulsimomendi) projektsiooniga on kvanditud ka magnetmomendi projektsioon.

$$p_{mz} = -\mu_B m. \quad (546)$$

Iga kvantarvude n, l, m kolmik määrab elektroni kindla oleku aatomis. Naeeme, et vesiniku aatom võib ühe ja sama energiavääruse korral olla mitmes erinevas olekus. Ühesuguse energiaga erinevaid olekuid nimetatakse kõdunenud olekuteks. Arvu, mis näitab, mitu erinevat olekut antud energia korral võib olla, nimetatakse kõdunemise kordsuseks. Leidame kõdunemise kordsuse antud n korral. Antud n-le vastab n erinevat l-i väärust, igale l-ile vastab  $2l+1$  erinevat m-i väärust. Seega olekute arv antud n korral (kõdunemise kordsus):

$$\sum_{l=0}^{n-1} (2l + 1) = n^2. \quad (547)$$

Näiteks kui  $n=1$  (põhiolek), on olekute arv 1 (olek pole kindlunenud), kui  $n=2$ , on erinevate olekute arv 4 jne.

Orbitaalkvantarvu l arvväärtuste märkimiseks kasutatakse veel järgmisi tähiseid:

1	0	1	2	3	4	5	...
s	p	d	f	g	h	...	

Erineva orbitaalmomendiiga olekud võivad olla järgmised (jättes arvestamata kvantarvu m):

1s,  
2s, 2p,  
3s, 3p, 3d  
4s, 4p, 4d, 4f

jne. Number orbitaalkvantarvu tähise ees näitab peakvantarvu väärtust.

Vaatleme lühidalt veel laine funktsioone  $\psi$  ja töenäosuse tihedust  $\psi\psi^*$ . Olekus  $l=0$  (s-olek) sõltub laine funktsioon ja seega ka töenäosuse tihedus ainult kaugusest tuumast  $r$  (ei sõltu nurkadest  $\Theta$  ja  $\varphi$ ). Seega on see olek tsentraalsümmeetiline. Seejuures omab töenäosuse tihedus maksimaalset väärtust selliste  $r$  väärtuste juures, mis võrduvad vastavate Bohri orbiitide raadiustega (525). Teiste olekute korral ( $l \neq 0$ ) sõltuvad  $\psi$  ja  $\psi\psi^*$  ka nurkadest  $\Theta$  ja  $\varphi$ .

### Sterni ja Gerlachi katse

Niisiis elektronide orbitaalsed momendid (ja koos nendega magnetmomendid) ning nende momentide projektsioonid magnetvälja suunale on kvanditud ja seega võivad omada vaid kindlaid väärtusi.

On teada, et mittehomogeenses magnetväljas mõjub magnetmomendile jõud välja sihis (analoogselt mittehomogeenses elektriväljas dipoolile mõjuva jõuga).

See jõud

$$f = p_m \frac{\partial B}{\partial z} \cos \varphi, \quad (548)$$

kus  $z$ -telg on välja sihiline;

$\varphi$  -nurk magnetmomendi vektori ja välja suuna vahel,

$$\varphi = \widehat{\vec{p}_m, \vec{B}}.$$

Valemitest (543) ja (546):

$$\cos \varphi = \frac{p_{mz}}{p_m} = - \frac{m}{\sqrt{l(l+1)}}. \quad (548a)$$

Seega võib ka  $\cos \varphi$  omandada diskreetseid vaartusi, joud  $f$  aga on võrdeline  $\cos \varphi$ -ga. Suure hulga aatomite hulgas peaksid realiseeruma kõikvõimalikud orientatsioonid ja mittehomogeensest magnetväljast läbiminekul peaks aatomite kimp jagunema nii mitmeks osaks, kui mitu väärust omab  $\cos \varphi$ . Näiteks kui  $l=0$ , siis  $p_m=0$  (vesiniku aatom põhiolekus) ja mingit joudu aatomitele ei peaks mõjuma ning aatomite kimp ei peaks jagunema. Kui  $l=1$  (näiteks vesiniku aatom esimeses ergastatud olekus), siis  $\cos \varphi = -\frac{1}{\sqrt{2}}$ ; 0;  $+\frac{1}{\sqrt{2}}$  ja aatomite kimp peaks jagunema kolmeksi. Kõigil esimese rühma (Mendelejevi tabel) elementidel on üks nn. väliskatte e. valentselektron. Kõik nn. sisekatted (elektronkatetest tuleb lähemalt juttu hiljem) on aga täidetud ja nende magnetmomentide summa on 0. Tuuma magnetmoment on palju väiksem elektronide magnetmomentidest. Seega kogu aatri magnetmoment võrdub valents-elektroni magnetmomendiga, see aga põhiolekus on 0.

Katsetid tehti esimese rühma elementidega (H, Li, Ag jt.), teise rühma elementidega (Mg, Hg-kaks valentselektroni), samuti teiste elementidega.

Katsete tulemused: H, Li, Ag aatomite kimp jagunes kaheks (ei oleks pidanud jagunema); Mg, Hg aatomite kimp ei jagunenud (oleks pidanud jagunema).

### Elektroni spinn

Sterni ja Gerlachi katsete tulemuste analüüs, samuti teiste katsete tulemused (mida me ei vaatle), ning raskemate aatomite kiirgusspektrite uurimine viisid järeldusele, et

elektronidel on olemas oma sisemine impulsimoment, mida hakanati nimetama spinniks, ja sellega seotud omamagnetmoment. Need momendid ei sõltu sellest, kas elektron liigub või mitte. Spinni mõiste töid sisse Goudsmit ja Uhlenbeck. Elektroni spinn

$$L_s = \pm \sqrt{s(s+1)} \hbar, \quad (549)$$

kus  $s$  on spinni kvantarv,  $s = \frac{1}{2}$ . Seega

$$L_s = \pm \sqrt{\frac{1}{2}(\frac{1}{2} + 1)} \hbar = \frac{\hbar}{2}\sqrt{3}. \quad (550)$$

Omamagnetmoment

$$\mu_s = \frac{e}{m_e c} L_s = \frac{e\hbar}{m_e c} \sqrt{s(s+1)} = \frac{e\hbar}{2m_e c} \sqrt{3} = \mu_B \sqrt{3}.$$

Nagu orbitaalne moment nii ka spinnmoment (ja omamagnetmoment) võib välises magnetväljas olla orienteeritud kindlal viisil. Täiesti analoogselt orbitaalse momendi projektsiooniga, spinni projektsioon

$$L_{sz} = m_s \hbar, \quad (551)$$

kus  $m_s = -\frac{1}{2}, +\frac{1}{2}$  ( $m_s = -s \dots +s$ ; muutus on täisarvuline).

$m_s$  on spinni magnetkvantarv, sageli nimetatakse teda ka lihtsalt spinni kvantarvuks. Tal võib olla  $2s+1 = 2$  erinevat väärtust. Seega

$$L_{sz} = \pm \frac{1}{2}\hbar. \quad (552)$$

Omamagnetmomendi projektsioon

$$\mu_{sz} = -\frac{e}{m_e c} L_{sz} = -\frac{e\hbar}{m_e c} m_s = \mp \frac{1}{2} \frac{e\hbar}{m_e c} = \mp \mu_B. \quad (553)$$

Katsetes ilmnevad tavaliselt mitte spinnid (ja omamagnetmomendid), vaid nende projektsioonid. Seetõttu on tavaks rääkida, et elektroni spinn on  $\frac{1}{2}$  (ühikutes  $\hbar$ ), kuigi suurustelt  $L_s = \frac{\hbar}{2}\sqrt{3}$ , samuti räägitakse, et elektroni omamagnetmoment võrdub Bohri magnetoniga (kuigi tegelikult võrdub sellega tema projektsioon).

Algul püüti spinni seletada kui impulsimomenti, mis tekib elektroni kui kera pöörlemisel ümber oma telje. Analoogelt püüti omamagnetmomenti seletada laengu pöörlemise na. Sel juhul oleks orbitaalse ja omamomentide paaritolu ühesugune. Impulsimoment tekib massi pöörlemisel ja magnetmoment laengu pöörlemisel. Nende momentide suhe, nn. gürromagnetiline suhe, peaks olema ühesugune. Tezelikult orbitaalmomentide jaoks:

$$\frac{p_m}{L} = \frac{e}{2m_e c}, \quad (554)$$

omamomentide jaoks:

$$\frac{\mu_s}{L_s} = \frac{e}{m_e c}. \quad (555)$$

Sellest, et need suhted tulid erinevad, järeltub, et nii omamomentide teket seletada ei saa. Spinni põhjendamine elektroni kui kera pöörlemisega on vastuolus ka relatiivsusteooriaga. Selleks, et saada spinni õiget väärtust, peaks elektronil äärmiste punktide joonkiirus olema  $\sim 300 c$  (nn. klassikaline elektroni raadius  $\approx 10^{-13}$  cm).

Schrödingeri võrrandi lahendamisel spinn sisse ei tule. Teoreetiliselt tuleb ta sisse relativistliku Schrödingeri võrrandi, s.o. Diraci võrrandi lahendamisel. Spinni olemasolu saab põhjendada ka mitterelativistlikus kvantmehaanikas lainefunktsiooni sümmeetriaomaduste kaudu. Selgub, et elektronil peab lisaks kolmele ruumilisele vabadusastmele olema veel üks sisemine vabadusaste. Sellele vastabki spinn.

Spinnil pole klassikalist analoogi. Spinn on kvantosakese sisemine omadus, mis iselcomustab teda samuti nagu näiteks mass ja laeng.

### Täielik kvantarvude süsteem

Elektroni spinn võib olla orienteeritud kahel viisil. Need kaks orientatsiooni tähendavad elektroni erinevaid olekuid. Seetõttu elektroni iga olek aatomis (meil on esialgu

käsitletud ainult vesiniku aatom) jaguneb kaheks,  $n^2$  oleku asemel (547) saame  $2n^2$  erinevat olekut ja elektroni olek aatomis on määratud nelja kvantarvuga. Saame nn. täieliku kvantarvude süsteemi. Energia määrab peakvantarv.

$$E = -\frac{m_e e^4 Z^2}{2\hbar^2 n^2} \frac{1}{n^2} \quad (n = 1, 2, 3, \dots). \quad (556)$$

Orbitaalmomendi määrab orbitalkvantarv.

$$L = \hbar \sqrt{l(l+1)} \quad (l=0, 1, 2, \dots n-1). \quad (557)$$

Orbitaalmomendi projektsiooni määrab magnetkvantarv.

$$L_z = m\hbar \quad (m=0, \pm 1, \pm 2, \dots \pm l). \quad (558)$$

Spinni projektsiooni määrab spinni kvantarv.

$$L_{sz} = m_s \hbar \quad (m_s = \pm \frac{1}{2}). \quad (559)$$

Kui  $L = 0$ , siis märk "+" valemis (559) tähendab, et spinn on ligikaudu samasuunaline välise magnetväljaga (või teiste elektronide väljaga); märk "-" tähendab, et spinn on välise väljaga ligikaudu vastassuunaline. Kui  $L \neq 0$ , siis märk "+" tähendab, et spinn on ligikaudu samasuunaline orbitaalmomendiga, märk "-" tähendab, et spinn on orbitaalmomendiga ligikaudu vastassuunaline. Kui kahel elektronil on  $m_s$  märgid vastupidised, siis on nende spinnid vastassuunalised.

#### Ühesugused osakesed

Ühesugused osakesed on sellised osakesed, millel on ühesugune mass, laeng, spinn jt. sisemised karakteristikud.

Ühesugused on näiteks kõik elektronid, kõik ühesuguse sagedusega footonid jne.

#### Ühesuguste osakeste eristamatuse printsip

Osakeste süsteemi kvantteooria spetsiifiliseks iseärasuseks on ühesuguste osakeste põhimõtteline eristamatus.

Sellel printsibil pole analoogi klassikalises mehaanikas. Selgitame seda näite varal. Oletame, et süsteem koos-

neb osakestest, millel on teatud ruumiline jactus. Klassikalises füüsikas tähendab kahe osakese omavaheline vahetamine uut jaotust.

Teisiti: iga osake säilitab oma individuaalsuse. See tuleneb sellest, et klassikalises füüsikas on osakesel kindel trajektoor ja kiirus, võime jälgida tema liikumist alhetkest alates. Mikroosakesel niisugused mõisted nagu kiirus ja trajektoor puuduvad (määramatuse relatsioon). Seetõttu mikroosakeste süsteemi korral niisugune osakeste omavaheline vahetamine ei anna uut olekut, uut jaotust. Osakestel puudub individuaalsus. Mis tahes kahe osakese omavaheline vahetamine ei muuda ühtki süsteemi iseloomustavat suurust.

### Sümmeetrilised ja antisümmeetrilised laine funktsioonid

n ühesugusest osakesest koosneva süsteemi olekut kirjeldab kvantmehaanikas laine funktsioon, mis sõltub kõigi osakeste koordinaatidest (ja spinnide orientatsioonist). Eristamatuse printsibist järeltub, et on clemas kaht tüüpi süsteemi olekut kirjeldavaid laine funktsioone: sümmeetrilised ja antisümmeetrilised. Sümmeetriline laine funktsioon ei muuda oma märki, kui mis tahes kaks osakest süsteemis omavahel vahetada, antisümmeetrilise puhul märk muutub vastupidiseks. Rõhutame, et laine funktsiooni märgi muutus ei täienda süsteemi oleku muutust, kuna füüsikalist mõtet omab  $|\Psi|^2$ , see aga ei muudu, kui  $\Psi$  märk muutub.

### Laine funktsiooni sümmeetria ja osakese spinn

Algul tehti katseliselt kindlaks, seejärel aga töestas Pauli teoreetiliselt, et laine funktsiooni sümmeetria sõltub osakese spinnist.

Täisarvuliste spinnidega ühesuguste osakeste süsteemi laine funktsioonid on sümmeetrilised, poolearvuliste spinnidega osakeste süsteemi laine funktsioonid aga antisümmeetrilised.

### Fermionid

Poolearvulise spinniga ( $L_{sz} = \text{paaritu arv} \times \frac{\hbar}{2}$ ) osakeste statistika töötasid välja Fermi ja Dirac. Selliseid osakesi nimetatakse fermionideks. Fermionid on näiteks elektronid,

prootonid, neutronid.

### Bosonid

Täisarvulise spinniga ( $L_{sz} = \text{paarisarv} \times \frac{\hbar}{2}$ ; ka 0 on paarisarv) osakeste statistika töötasid välja Bose ja Einstein. Selliseid osakesi nimetatakse bosoniteks. Bosonid on näiteks footonid, foononid, mesonid.

### Pauli printsip

Fermionide kohta töestas Pauli, et kaks või enam fermioni ei või olla ühesuguses olekus. Ühes olekus võib olla ainult üks fermion.

Sama printsip elektroni kohta aatomis:

aatomis ei või olla kahte või enamat elektroni ühesuguses statsionaarses olekus, s.t. kahel ega enamal elektronil ei või olla ühesugust kvantarvude nelikut. Ünes statsionaaries olekus võib olla ainult üks elektron.

### Raskemate aatomite probleem

Aatomis, kus on mitu elektroni, tuleb peale tuuma ja elektroni vastastikuse mõju arvestada veel elektronide omavahelist mõju. Seejuures probleemi täpsel lahendamisel ei saa kvantmehaanikas põhimõtteliselt leida iga elektroni lainefunktsiooni eraldi. Niisugust süsteemi iseloomustab üks lainefunktsioon, mis sõltub kõigi elektronide koordinaatidest (ja spinnidest). Kuid juba kahe elektroniga aatomi korral pole Schrödingeri vörrand täpselt lahendatav. Seetõttu kasutatakse raskemate aatomite probleemi lahendamisel mitmussuguseid lähismetodeid. Näiteks käsitletakse probleemi nii: iga elektron liigub tuuma ja teiste elektronide keskmistatud väljas. See välj pole enam kulooniline (ei kehti  $f \sim \frac{1}{r^2}$ ), kuid ta on tsentraalsümmeetriseline (joud sõltub ainult elektronil kaugusest tuumast). Põhjendame seda. Sõltuvalt sellest, millese kauguseni elektron oma liikumisel tuumale läheneb, ekraneerivad teised elektronid tuuma välja erinevalt, tuuma mõju antud elektronile pole konstantne. Kuid kuna elektronid liiguved aatomis suure kiirusega, võib ajas keskmistatud väl-

ja pidada tsentraalsümmeetriliseks.

Tuumalähedastele, nn. sisekatete elektronidele mõjub peamiselt tuuma koolooniline tömbejõud, mida ainult nõrgalt ekraneerived teised elektronid. Seda ekraneerimist võib küllalt täpselt arvestada, asendades tuuma laengu  $Z$  nn. efektiivse tuuma laenguga.

$$Z_{\text{ef}} = Z - \alpha , \quad (560)$$

kus  $\alpha$  on nn. ekraneerimiskonstant ( $\alpha \ll Z$ ).

Schrödingeri võrrandi lahendamine mittekuloonilises tsentraalsümmeetrilises väljas liikuva elektroni jaoks annab tulemused, mis on analoogsed vesiniku aatomi jaoks saadud tulemustega, s.t. olek on ikkagi määratud 3 kvantarvuga  $n$ ,  $l$ ,  $m$ , millele lisaks tuleb võtta spinni kvantarv  $m_s$ . Olu-line erinevus vesiniku aatomiga võrreldes seisneb selles, et elektroni energia sõltub peale peakvantarvu  $n$  veel orbitaal-kvantarvust  $l$  (esimeses lähenduses; täpsemas lähenduses ka  $m$ -st ja  $m_s$ -st; meie piirdume esialgu sellise lähendusega).

Teisiti - kaob kõdunemine kvantarvu  $l$  järgi. Siin toimib üldine kvantmehaanika printsip: häiritus kaotab kõdunemise. Põhiline on antud elektroni ja tuuma omavaheline mõju, teiste elektronide mõju on nõrgem, seda võib vaadelda kui häiritust, väikest lisamõju. Niisugune lisamõju kaotab kõdunemise.

Niisiis sõltub elektroni energia raskes aatomis  $n$ -st ja  $l$ -st, seejuures peamiselt sõltub energia  $n$ -st. Energia kasvab kvantarvu  $l$  kasvades. See sõltuvus on seda tugevam, mida suurem on  $l$ , nii et suurte  $l$ -de korral võib erandjuhtudel sõltuvus  $l$ -st osutuda määrvamaks kui sõltuvus  $n$ -st.

Energia sõltuvus kvantarvust  $l$  viib tasemete jagunemisse energiadiagrammil (võrreldes vesiniku aatomiga). Iga tase jaguneb  $n$  alltasemeiks ( $l$  omab antud  $n$  korral  $n$  erinevat väärtust). Ei jagune ainult esimene tase ( $l=0$ ). Peale selle on tasemete vahedaugus raskemate aatomite energiadiagrammil suurem kui vesiniku aatomi energiadiagrammil ( $E \sim Z^2$ ,  $\Delta E \sim Z^2$ ).

## Elektronkate

Elektronkatteks nimetatakse niisuguste elektronide kogumit aatomis, millel on ühine peakvantarv. Katete tähised:

n	1	2	3	4	5	6	...
	K	L	M	N	O	P	...

Kate omakorda koosneb allkatest (analoogselt: energiatase koosneb alltasemetest). Allkate on ühesuguseid kvantarve  $n$  ja  $l$  omavate elektronide kogum.

K-, L-, M-, N-katte võimalikud olekud on toodud alljärgnevas tabelis (meenutame, et iga olek on määracud nelja kvantarvuga).

Kate	n	l	m	$m_s$	Allkate
K	1	0	0	-1/2 +1/2	K (1s)
				-1/2 +1/2	
L	2	0	0	-1/2 +1/2	L <sub>1</sub> (2s)
				-1/2 +1/2	
		1	-1 0 +1	-1/2 +1/2 -1/2 +1/2 -1/2 +1/2	
				-1/2 +1/2	
M	3	0	0	+1/2 -1/2	M <sub>1</sub> (3s)
				+1/2 -1/2	
		1	-1 0 +1	-1/2 +1/2 -1/2 +1/2 -1/2 +1/2	M <sub>2</sub> (3p)
				-1/2 +1/2	
				-1/2 +1/2	
				-1/2 +1/2	
		2	-2 -1 0 +1	-1/2 +1/2 -1/2 +1/2	M <sub>3</sub> (3d)
				-1/2 +1/2	
				-1/2 +1/2	
				-1/2 +1/2	

Kate	n	l	m	$m_s$	Allkate
N	4	0	0	-1/2 +1/2	$N_1$ (4s)
				-1 +1/2 -1/2 +1/2 -1/2 +1/2	$N_2$ (4p)
		2	-2 -1 0 +1 +2	-1/2 +1/2 -1/2 +1/2 -1/2 +1/2	
				-1/2 +1/2 -1/2 +1/2 -1/2 +1/2	$N_3$ (4d)
				-1/2 +1/2 -1/2 +1/2 -1/2 +1/2	
				-1/2 +1/2 -1/2 +1/2 -1/2 +1/2	$N_4$ (4f)
				-1/2 +1/2 -1/2 +1/2 -1/2 +1/2	
				-1/2 +1/2 -1/2 +1/2 -1/2 +1/2	
				-1/2 +1/2 -1/2 +1/2 -1/2 +1/2	

### Olekute realiseerumine

Elektronide olekute realiseerumise aatomites ehk tasemeid täitumise määradavad kaks põhiprintsiipi.

1. Energia miinimumi printsip. Põhiolekus (ergastamata olekus) peavad kõik elektronid paiknema kõige madalamatel võimalikel energiatasemetel.

Kui kehtiks ainult see printsip, oleksid kõik elektronid kõigis aatomites tasemel K e. 1s.

2. Pauli printsip. Ühes olekus võib olla ainult üks elektron.

### Mendelejevi perioodilisuse süsteem

Vaatleme olekute realiseerumist ehk perioodilisuse süsteemi. Vesiniku aatomis ( $Z=1$ ) paikneb ainuke elektron olekus  $1s$ , kusjuures spinni orientatsioon on meelevaardne.

He ( $Z = 2$ ). Mõlemad elektronid paiknevad olekus  $1s$ . Nende spinnid on vastassuunalised, ühtlasi on K-kate täidetud. Täidetud katte (või allkatte) puhul on aatom eriti stabilne. He on inertgaas. Nn. elektronide konfiguratsioon:  $1s^2$  (indeks ülal näitab elektronide arvu antud olekus).

Alates Li-st ( $Z = 3$ ) algab L-katte täitumine (K-kate jääb täidetuks), kusjuures olekud realiseeruvad just tabelis toodud järjekorras, kuna energia kasvab selles järjekorras. Li-1 on väliskattes üks elektron, s.o. tal on üks valents-elektron. See elektron on tuumaga nõrgalt seotud. See määrab tema keemiliste omaduste sarnasuse H-ga. L-kattesse "mahub"  $2n^2 = 8$  elektroni. Katte täitumine lõpeb Ne-ga ( $Z = 10$ ), lõpeb ka 2. periood. Elektronide konfiguratsioon:  $1s^2 2s^2 2p^6$ . Ne on jälegi inertgaas.

Na ( $Z = 11$ ) 11. elektron läheb M-kattesse. Na on ühevalentne. Elektronide konfiguratsioon:  $1s^2 2s^2 2p^6 3s^1$ .

Mg-1 ( $Z = 12$ ) on 2 elektroni M-kattes. Ta on 2-valentne. Niiviisi regulaarselt läheb olekute realiseerumine kuni Ar-ni ( $Z = 18$ ). Ar-1 on allkate  $3p$  täidetud. Ta on inertgaas. Elektronide konfiguratsioon:  $1s^2 2s^2 2p^6 3s^2 3p^6$ .

M-kattesse peaks "mahtuma"  $2n^2 = 18$  elektroni, kuid tegelikult on ka kolmandas perioodis 8 elementi. Siin hakkabki mõju avaldama see, et energia sõltub mitte ainult peakvantarvust  $n$ , vaid ka orbitaalkvantarvust  $l$ , seejuures energia kasvab  $l$  kasvades. Seetõttu osutub, et allkatte  $4s$  energia on väiksem kui allkatte  $3d$  energia. Vastavalt energia miinimumi printsibile läheb K( $Z = 19$ ) 19. elektron allkattesse  $4s$ , algab N-katte täitumine, kusjuures M-kate jääb osaliselt täitma. Alates Sc-st ( $Z = 21$ ) hakkab "takkajärgi" täituma allkatte  $3d$  (ikka vastavalt energia miinimumi printsibile). Cu-1 ( $Z = 29$ ) on M-kate täielikult täidetud ja üks elektron N-kattes.

Täiesti analoogne olukord tekib "hiljem" M-katte täitumisel.

Elementide omaduste perioodilisus on tingitud sellest, et elektronide arv katetel on piiratud. Omadustelt on sarnased elemendid, millel on väliskattes ühesugune arv elektroone (valentselektrone) või katte (või allkatte) täitumisest ühesugune arv elektrone puudu. Iga perioodi viimasel elemendil on p-allkate täielikult täidetud.

#### Vesiniku aatomi kiirgus- ja neeldumisspekter

Eespool on käsitletud vesiniku aatomi kiirgus- ja neeldumisspekter. Spekter on joonspekter. Spektraaljoonte ringsagedused:

$$\omega = R \left( \frac{1}{n_1^2} - \frac{1}{n_2^2} \right), \quad (561)$$

kus  $R$  on Rydbergi konstant. Ühel seerial  $n_1 = \text{const}$  ja  $n_2 = n_1 + 1, n_1 + 2, \dots$

#### Vesinikusarnaste ionicide kiirgus- ja neeldumisspektrid

Vesinikusarnastel ionicidel erinevad energiatasemed vesiniku aatomite energiatasemetest  $Z^2$  korda. Nende spektraaljoonte ringsagedused:

$$\omega = Z^2 R \left( \frac{1}{n_1^2} - \frac{1}{n_2^2} \right). \quad (561a)$$

Seega spektraalsed seeriad on vesiniku seeriate suhtes nihutatud. Juba  $Z > 10$  korral langevad esimeste seeriate sagedused röntgenikiirguse piirkonda. Kuid suure  $n_1$  korral on igasuguse  $Z$  korral olemas jooned, mis paiknevad spektri nähtavas ja infrapunases piirkonnas.

#### Leelismetallide kiirgus- ja neeldumisspektrid

Küllalt lähedased vesiniku spektrile on nn. leelismetallide spektrid. Nende aatomite väliskattes on üks elektron, kusjuures sisekatted (või allkatted) on täielikult täidetud. Kiirgus ja neeldumine on seotud just selle väliskatte elektroni üleminekutega. Selle elektroni põhi- ja ergastatud ole-

kute tasemed on üsnagi sarnased vesiniku aatomi tasemetega, kuid erinevad viimastest kahes suhtes: 1) tasemed on kõrgeval kui vesiniku tasemed; madalamatele, täidetud tasemetele ei saa elektron minna Pauli printsibi tõttu; 2) nad on nihutatud vesiniku tasemete suhtes, kuna elektroni energia sõltub peale peakvantarvu  $n$  veel orbitaalkvantarvust  $l$ .

Näiteks Na: olekud 1s, 2s, 2p on täidetud sisekatete elektronidega. Valentselektroni põhioleküks on olek 3s. Er gastamisel võib see elektron üle minna olekutesse 3p, 3d, 4s, 4p, 4d, 4f jue. Spektraalsed sagedused on kõllalt täpselt määratud valemiga:

$$\omega = R \left[ \frac{1}{(n_1 - a_{l_1})^2} - \frac{1}{(n_2 - a_{l_2})^2} \right], \quad (562)$$

kus  $n_1 = 3, 4, \dots$  (ühe seeria korral jäav).  $a_l$  on parandustegur, mis sõltub  $l$ -st:

$l$	$a_l$
0	1,35
1	0,85
2	0,01
3	0,00

### Spinn-orbitaalne vastasmõju

Leelismetallide spektrite uurimine suure lahutusvõimega spektraalriistadega näitas, et iga joon on tegelikult dublett (kahekordne). Näiteks Na kollase joone ( $3p \rightarrow 3s$ ) lainepikkused:  $\lambda_1 = 5890 \text{ \AA}$ ,  $\lambda_2 = 5896 \text{ \AA}$ . Spektraaljoonte dubletsus osutab energiatasemele lõhenemisele väga lähedasteks tasemeteks. Selie põhjuseks on elektroni spinn ja sellega seotud omamagnetmoment  $\mu_s$ . Tänu omamagnetmomendile kaitub elektron nagu "magnetdipool" (ringvool), mis asub sama elektroni orbitaalsest liikumisest tingitud magnetväljas. Teisiti: omamagnetmoment ja orbitaalne magnetmoment moodutavad teineteist. Tänu sellele vastasmõjule saab elektron lisaelnergia. Kuna omamagnetmoment võib orbitaalne magnetmomenti suhtes olla orienteeritud kahel viisil (ligikaudu pă-

ri - või vastassuunaliselt), siis jägunebki energiatase kaheks. Niisugust spinni ja orbitaalse momendi vastasmõju nimetatakse lühidalt spinn-orbitaalseks vastasmõjuks. Ei jagune ainult tasemed, millel  $l = 0$ . Spinn-orbitaalse vastasmõju tõttu lõhestuvad ka teiste, keerukamate aatomite energiatasemed.

### Keerukamate aatomite kiirgus- ja neeldumisspektrid

Mitme valentselektroniga aatomite kiirgus- ja neeldumisspektrid on küllalt keerukad ja neid me lähemalt ei käsitle. Viitame vaid mõnele asjaolule. Valentselektronide potentsiaalne energia on samas suurusjärgus elektroni potentsiaalse energiaga vesiniku aatomis, kuid potentsiaalne energia sõltub elektroni ja tuuma vahelisest kaugusest teisiti. Erinevate aatomite valentselektronide energiatasemed paiknevad üldjuhul erinevalt, kuid tasemetevahelised kaugused on suuruselt võrreldavad ja varieeruvad ligikaudu 10 eV-st kuni mõne kümnendiku eV-ni. Sellele vastavad kiirgus- ja neeldumisjoonte sagedused spektri nähtavas ja infrapunases piirkonnas. Kõik atomaarsed spektrid on joonspektrid.

### Röntgenispektrid

Aatomid kiirgavad mitte ainult valentselektronide üleminekute tõttu. Aatomit võib ergastada ka sel teel, et eraldada elektron ühelt sisemiselt, täidetud kattelt. Seda võib teha näiteks "pommidades" aatomit piisava energiaga elektronidega. Pärast niisugust ergastamist kiirgab aatom energiat elektronide üleminekutel kõrgematelt tasemetelt vabadesse olekutesse.

Sügavates katetes (K, L jne.) on elektronid tugevasti seotud tuumaga. Seetõttu nende energia praktiliselt ei muutu, kui aatomid ühinevad molekulideks või kristalliks. Sügavate katete elektronidele mõjub peamiselt tuuma kulooniline tömbejoud, mida ainult nõrgalt ekraneerivad teised elektronid. Üleminekutele vastavad ringsagedused:

$$\omega = (Z - s)^2 R \left( \frac{1}{n_1^2} - \frac{1}{n_2^2} \right), \quad (563)$$

kus  $s$  on ekraneerimiskonstant.

Raskemate aatomite korral paiknevad spektrijooned röntgenikiirguse piirkonnas. Sellisel viisil tekkivat röntgenikiirgust nimetatakse karakteristlikuks kiirguseks, kuna tema spekter on iseloomulik antud aatomile. Ka röntgenikiirguse seeria tekib üleminekutel kõik võimalikelt kõrgematele tasemetele antud tasemele. Seeriaid nimetatakse selle taseme järgi, millele üleminek toimub (K-, L-seeria jne.).

#### Valikureeglid

Tasemete vahelised üleminekud alluvad nn. valikureeglitele. Lubatud pole mitte kõik üleminekud, vaid ainult sellised, mille korral orbitaalkvantarv l muutub ühe vörra:

$$\Delta l = \pm 1. \quad (564)$$

Sisuliselt kajastab valikureegel (564) impulsimomendi jäavust. Asi on selles, et footon omab omaimpulsimomenti ehk spinni, mille värtus on  $\hbar$  (täpsemini – projektsioon eelistatud suunale on  $\pm \hbar$ ).

#### Lubatud ja keelatud üleminekud

Üleminekuid, mis toimuvad vastavalt valikureeglitele, nimetatakse lubatuteks. Kui aatom on ergastatud ja lubatud üleminek on võimalik, siis aatomi eluiga ergastatud olekus on  $\sim 10^{-8}$  s.

Väiksema töenäosusega võivad toimuda ka üleminekud, mille korral

$$\Delta l = 0, \pm 2. \quad (565)$$

Sel juhul tagatakse impulsimomendi jäavus spinni orientatsiooni muutusega. Selliseid üleminekuid nimetatakse keelatuteks.

#### Metastabiilne olek

Kui ergastatud olek realisseeritakse keelatud ülemineku teel, siis on aatomi ergastatud oleku aeg märksa pikem –  $10^{-3}$  s. Selliseid ergastatud olekuid nimetatakse metastabiilseteks olekuteks.

Kui aatom on ergastatud olekus, kuid tema üleminek normaolekusse on keelatud valikureeglitega, siis on ta me-

taastabiilses olekus.

### Lihtne Zeemani efekt

Kui paigutada aatomid magnetvälja, siis nende energiatasemed ja spektraaljooned lõhestuvad. Selle põhjuseks on asjaolu, et magnetväljas omandab aatom tõiendava energiaga, mis sõltub impulsimomendi (ja koos sellega magnetmomendi) orientatsioonist. Ühest energiatasemest tekib mitu ja tekivad uued spektraalsed sagedused. Niisugust nähtust nimetatakse avastaja järgi Zeemani efektiks.

Meenutame, et elektroni orbitaalne magnetmoment on seotud orbitaalse impulsimomendiga:

$$\vec{p}_m = - \frac{e}{2m_e c} \vec{L}. \quad (566)$$

Magnetmomendil on magnetväljas energia:

$$\Delta E = - \vec{p}_m \vec{B} = -p_{mz} B, \quad (567)$$

kus  $p_{mz}$  on magnetmomendi projektsioon magnetvälja suunale.

$$p_{mz} = - \mu_B m, \quad (568)$$

kus  $m$  on magnetkvantarv. Seega

$$\Delta E = \mu_B B m (m=0, \pm 1, \dots \pm l). \quad (569)$$

Sellise tõiendava energiaga saab elektron magnetväljas. Energiatease  $E_{nl}$  lõhestub magnetväljas  $(2l+1)$ -ks üksteisest võrdsel kauguse sel olevaks tasemeeks. Kaugus naabertasemete vahel

$\Delta E_0 = \mu_B B$ . Magnetvälji kaotab kõdunemise kvantarvu  $m$  järgi (hüairitus kaotab kõdunemise). Lõhestuvad ka spektraaljooned. Kuna üleminnekute jaoks kehtib valikureegel  $m=0, \pm 1$ , siis

$$\Delta \omega = \frac{\Delta E_0}{\hbar} = \frac{\mu_B B}{\hbar}. \quad (570)$$

See on nn. lihtne Zeemani efekt. Nii lõhustuvad vaid vähesed spektraaljooned. Üldjuhul on lõhestumine keerukam.

### Paramagnetiline resonants

Tüüpilistes laboratooriesetes tingimustes  $B \approx 10^4$  Gs,  $\Delta E_0 \approx 0,5 \cdot 10^{-4}$  eV ja nn. Lorentzi nihe

$$\Delta \gamma = \frac{\Delta \omega}{2\pi} = \frac{\Delta E_0}{2\pi \hbar} \approx 10^{10} \text{ Hz.}$$

Selline sagedus vastab raadiolainete sagedusele. Sestõttu toimuvad magnetväljas paiknevatel aatomitel üleminekud nn. Zeemani alltasemete vahel raadiosagedusliku välja toimel. Paramagnetilistes keskkondades ( $l \neq 0$ ) kutsuvad need üleminekud esile nn. paramagnetilise resonantsi nähtuse, mis seisneb selles, et jäävasse magnetvälja paigutatud paramagneetiku aatomid neelavad raadiosagedusliku välja energiat ainult kindlatel sagedustel:

$$\omega_{\text{res}} = \Delta \omega = \frac{\mu_B B}{\hbar}. \quad (571)$$

Rõhutame, et resonantsi korral antakse energiat mitte ainult väljalt paramagneetikule, vaid ka vastupidi (üleminekutel kõrgematelt Zeemani alltasemetelt madalamatele). Kuid kuna soojusliku tasakaalu korral madalama energiaga aatomeid on märksa rohkem kui kõrgema energiaga aatomeid, siis on ülekaalus neelamine. Selle tulemusena paramagneetik soojeneb.

Paramagnetilise resonantsi abil võib katseliselt määraata aatomite magnetmomente.

Tihedates keskkondades (vedelikud, tahked kehad) pole aatomid üksteiseat isoleeritud, vaid nad on vastasmõjus. See vastasmõju muudab Zeemani alltaseme vahelist kaugust – tekib tasemete täiendav lõhestumine, mille tõttu paramagnetilise resonantsi jooned laienevad (üksikuid peenstrukturi jooni enam eristada pole võimalik). Sestõttu osutub paramagnetiline resonants efektiivseks meetodiks osakeste vastasmõju ja üldse aine ehituse uurimisel tahkes ja vedelas olekus.

### Aatomitevahelised sidemed molekulides

Aatomeid molekulides koos hoidvad jõud on põhjustatud

väliskatete elektronidest - valentselektronidest. Sisekate- te elektronid jäävad ainult oma tuuma mõju alla, seda nii molekulis kui kristallivõres olevate aatomite korral. Seda näitab asjaolu, et elementide röntgenspektrid ei sõltu sel- lest, millisesse keemilisse ühendisse kuulub antud element.

Aatomid võivad molekulides olla seotud põhiliselt ka- he sidemetüubi abil.

### 1. Kovalentne e. homöopolaarne side

Valentselektronid kuuluvad samaaegselt mõlemale (piir- dume kaheaatomiliste molekulidega) aatomile. Teisiti: va- lentselektronide elektronpilved kattuvad osaliselt. Kvant- mehaanikas näidatakse, et sel juhul tekib nn. **vahetusener- gia**, mille märk oleneb elektronide spinnide orientatsioonist: Kui spinnid on paralleelsed, on energia positiivne ( $touke-$   $joud$ ) ja molekuli ei saa moodustuda; kui spinnid on anti- paralleelsed, on energia negatiivne ( $tõmbejoud$ ) ja moodus- tub molekul. Sel juhul omab molekuli **energia**(mis arvestab nii elektronide omavahelist, tuumade omavahelist kui elektroni- de ja tuumade vahelist mõju) sõltuvus tuumadevahelisest kau- gusest miinimumi kohal, mis vastab tuumadevahelisele tasa- kaalulisele kaugusele molekulis.

### 2. Ioonne e. heteropolaarne side

See side teostub aatomite vahel, millest ühel on vä- liskattes üks elektron, teisel katte täitumisest üks elekt- ron puudu (näit. NaF). Esimene aatom annab oma ainsa va- lentselektri kergesti ära, teine võtab selle "meelsasti" juurde. Sidet võib seetõttu vaadata kui tõmbejoudu kahe vastasmärgilise iooni vahel. Arvutus näitab, et niisugune ühinemine on ergeetiliselt kasulik, s.t. molekuli moodus- tumisel vabaneb energia. Energia sõltuvus tuumadevahelisest kaugusest on analoogne eeltooduga.

### Molekuli energia

Eespool kirjeldatud energia sõltub elektronide paigu- tusest e. konfiguratsioonist. Nimetame seda lühidalt elek- tronenergiaks ( $E_e$ ). Elektronide konfiguratsiooni muutumisel (molekuli ergastamisel) muutub ka elektronenergia kõvera

kuju. Molekuli energia, nagu aatomi energiagi muutub peamiselt väliskatte elektronide konfiguratsiooni muutumise tõttu. Loomulikult on see energia kvanditud.

Peale elektronenergia võib molekul omada energiat veel seetõttu, et tuumad võivad molekulis võnkuda ( $E_v$ ) ja põorelda ühise massikeskme ümber ( $E_r$ ).

Seega molekuli statsionaarse oleku energia

$$E = E_e + E_v + E_r. \quad (572)$$

Kõik need energiad on kvanditud. Nagu näitavad arvutused, on suuruselt

$$E_e \gg E_v \gg E_r.$$

Võnkeenergia on harmoonilise ostsillaatori energia:

$$E_v = (n+1/2)\hbar\omega_0, \quad (573)$$

kus võnkekvantarv  $n = 0, 1, 2, \dots$ ;  $\omega_0$  on omavõnkeringssagedus. Üleminekute jaoks kehtib valikureegel

$$\Delta n = \pm 1. \quad (574)$$

Seega võnkeenergia võib muutuda annuste  $\hbar\omega_0$  kaupa.

Põõrlemisenergia

$$E_r = \frac{I\omega_r^2}{2} = \frac{(I\omega_r)^2}{2I} = \frac{L^2}{2I}, \quad (575)$$

kus  $I$  on molekuli inertsimoment massikeskme suhtes;

$\omega_r$  - põõrlemise nurkkiirus;

$L$  - impulsimoment.

Impulsimoment on kvanditud samuti kui elektroni impulsimoment aatomis, s.t.:

$$L = \hbar\sqrt{l(l+1)},$$

kus põõrlemiskvantarv  $l=0, 1, 2, \dots$

Põõrlemisenergia

$$E_r = \frac{\hbar^2 l(l+1)}{2I}. \quad (577)$$

Tasemete vaheliste üleminiekute kohta kehtib valikureegel

$$\Delta l = \pm 1.$$

Arvutused näitavad, et tasemetevahelised kaugused

$$\Delta E_e \gg \Delta E_v \gg \Delta E_r.$$

Arvestades kõiki neid energiaid, kujuneb molekuli energiadiagramm järgmiseks: iga elektronenergia tase jaguneb vônkeenergia alltasemeteks, kusjuures kõik need alltasemed paiknevad vastavast elektronenergia tasemest kõrgemal (vônkeenergia on positiivne); iga vônkeenergia tase jaguneb omakorda pôrlemisenergia alltasemeteks, mis samuti paiknevad vastavast vônkeenergia tasemest kõrgemal.

#### Molekulide kiirgus- ja neeldumisspektrid

Molekulide kiirgus- ja neeldumisspektrid tekivad molekulide ülalkirjeldatud energiatasemete vahelistel üleminekutel, arvestades valikureegleid. Peaks olema selge, et molekulide spektrid erinevad tunduvalt aatomite spektritest. Kui aatomite spektrid koosnevad üksikutest joontest, siis molekulide spektrid koosnevad ribadest, mille üks äär on terav, teine aga hajuv. Riba teravat äärt nimetatakse riba kandiks. Riba ise koosneb samuti üksikutest joontest, kusjuures kandi suunas joonte tihedus kasvab, nii et üksikud jooned seal on eristatavad vaid väga suure lahutusvõimega spektroskoobis. Ribad esinevad nii spektri infrapunases, nähtavas kui ultravioletses osas. Kant võib asuda nii riba pikalainelisel kui lühilainelisel poolel.

Ribad paiknevad spektris teatud korrapârasuse järgi, moodustades ribade seeriaid. Spektris on üldjuhul palju seeriaid. Sageli üksikud ribad ja isegi ribade seeriad kattuvad.

Seega on molekulide spektrid tunduvalt keerukamad kui aatomite spektrid, mis on tingitud molekulide keerukamast ehitusest.

Meie vaatlesime kaheaatomilist molekuli. Enama-aatomiliste molekulide spektrid on veelgi keerukamad.

### Valguse kombinatsioonhajumine

Nahtus seisneb selles, et monokromaatse valguse läbiminekul gaasidest, vedelikest ja läbipaistvatest kristallidest on läbiläinud valguse spektris (hajumisspektris) lisaks langeva valguse ringsagedusele  $\omega_0$  veel jooned, mis kujutavad endast kombinatsiooni  $\omega_0$ -st ja hajutavate molekulide vönketasemete ja pöörlemistatasemete vahelistele üleminekutele vastavatest ringsagedustest  $\omega_i$ :

$$\omega = \omega_0 \pm \omega_i. \quad (578)$$

Siit ka nimetus - kombinatsioonhajumine. Lisajooned paiknevad sümmeetriselt nihkumata joone  $\omega_0$  suhtes. Igale "punasele" kaaslasele  $\omega_0 - \omega_i$  vastab "violetne" kaaslane  $\omega_0 + \omega_i$ . Tavalistel temperatuuridel on "violetsete" kaaslaste intensiivsus palju väiksem "punaste" kaaslaste intensiivsusest. Temperatuuri tõusul kasvab "violetsete" kaaslaste intensiivsus kiiresti.

Valguse hajutamist molekulide poolt võib vaadata kui footonite mitteelastset põrget molekulidega. Põrkel võib footon molekulile ära anda või temalt juurde saada energiahulga, mis vastab molekuli energiatasemete vahelle. Kui põrkel footoniga siirdub molekul olekust energiaga  $E_1$  olekusse energiaga  $E_2$  ( $E_2 > E_1$ ), siis footoni energia peale hajutamist  $\hbar\omega = \hbar\omega_0 - \Delta E$  ( $\Delta E = E_2 - E_1$ ). Footoni ringsagedus väheneb  $\omega_i = \frac{\Delta E}{\hbar}$  võrra. Tekib "punane" kaaslane. Kui algsest oli molekul olekus energiaga  $E_2$ , siis võib ta põrkel footoniga minna olekusse  $E_1$ . Sel juhul saab footon juurde energia  $\Delta E = E_2 - E_1$ . Footoni energia pärast hajutamist  $\hbar\omega = \hbar\omega_0 + \Delta E$  ja tema ringsagedus kasvab  $\omega_i$  võrra. Footonite hajutamisel võivad esineda üleminekud mitmesugustele vönke- või pöörlemistatasanditele, mille tulemusena tekib mitu  $\omega_0$ -ga sümmeetriselt paiknevat kaaslast.

Kuna tavalistel temperatuuridel on ergastatud olekus

olevate molekulide arv palju väiksem põhiolekus olevate molekulide arvust, siis toimuvad põrked, mille korral molekuli energia suureneb, tunduvalt sagedamini põrgetest, mille korral molekuli energia väheneb. Sellega on seletatav "punaste" kaaslaste märgatavalts suurem intensiivsus, võrreltes "violetsete" kaaslastega. Temperatuuri tõusuga kasvab ergastatud molekulide arv ja koos sellega "violetsete" kaaslaste intensiivsus. Joonte paigutus kombinatsioonhajumise spektris erineb nende paigutusest molekulide kiirgusspektris, kuna valikureeglid on teistsugused.

Kombinatsioonhajumise spektrite abil saab määrama molekulide omavõnkesagedusi, saab otsustada molekulide summeetria üle. Kombinatsioonhajumise spekter on igale molekulile niivõrd iseloomulik, et selle abil saab läbi viia väga keerukate molekulide, eriti orgaaniliste molekulide analüüs, mis keemiliste meetoditega on sageli võimatu.

#### Neeldumine, spontaanne ja indutseeritud kiirgus

Kui aatom on ergastatud olekus ja ta iseenesest, ilma väliste mõjutusteta läheb üle normaalolekusse, kiirates kvandi, siis on tegemist spontaanse kiirgusega. Spontaansed üleminekud võivad toimuda ainult ühes suunas – kõrgemalt energiatasemelt madalamale, mille tulemusena kiiratakse kvant energiaga

$$\hbar\omega = E_2 - E_1 \quad (E_1 < E_2), \quad (579)$$

kus  $E_1$  on aatomi energia põhiolekus (või lihtsalt väiksem energia),  $E_2$  – ergastatud olekus.

Peale spontaanete üleminekute võivad toimuda indutseeritud üleminekud, mida kutsub esile aatomile langenud kiirgus. Seejuures indutseeritud üleminekud võivad toimuda ühesuguse töenäosusega nii ühes kui teises suunas. Kui aatomile olekus energiaga  $E_1$  langeb kvant energiaga  $\hbar\omega$ , siis võib ta üle minna olekusse energiaga  $E_2$ . See on neeldumine. Kui aatom on olekus energiaga  $E_2$ , siis kvandi  $\hbar\omega$  mõjul võib ta üle minna olekusse  $E_1$ . See on indutseeritud e. sunnitud kiirgus. Seejuures tuleb rõhutada, et mõlemad protses-

sid toimuvad ühesuguse töenäosusega. Indutseeritud kiirguse korral tekib lisaks kvandile, mis selle kiirguse esile kutsus, veel üks kvant, millel on täpselt sama suund, sagedus, faas ja polarisatsioon, lühidalt – indutseeritud kiirgus on koherentne teda esilekutsunud kiirgusega. Indutseeritud kiirgus on neeldumise pöördprotsess.

#### Einsteini kiirgus- ja neeldumisteooria. Plancki valem

Tasemete vaheliste üleminekute seletamiseks ei piisa ainult kvantmehaanika seadustest. Neid seletab kvantelektrodünaamika. Kuid juba enne kvantmehaanika teket lõi Einsteini kiirgus- ja neeldumisteooria, tuginedes energi ja impulsi järvuse seadustele kvantsüsteemide ja elektromagnetvälja vastasmõjul.

Tutvume selle teooriaga ja tuletame selle põhjal Plancki valemi absoluutsest musta keha kiirgusvõime kohta.

Töenäosus, et aatom siirduks ajaühiku jooksul energiatasemelt  $E_1$  energiatasemele  $E_2$  (olekust 1 olekusse 2;  $E_2 > E_1$ ) on võrdeline välise elektromagnetvälja energia ruumtihedusega  $\rho(\omega)$ :

$$P_{12} = B_{12} \rho(\omega). \quad (580)$$

$\rho(\omega)$  on energia ruumalaühikus, mis tuleb ringsageduste ühikulise vahemiku kohta antud  $\omega$  läheduses.  $B_{12}$  on võrdetegur, nn. Einsteini konstant.

Kui olekus 1 on  $N_1$  aatomit, siis ajaühikus üleminekut  $1 \rightarrow 2$  sooritavate aatomite arv (kvante neelavate aatomite arv)

$$\Delta N_{12} = P_{12} N_1 = B_{12} \rho(\omega) N_1. \quad (581)$$

Täpselt analoogselt avaldub üleminekut  $2 \rightarrow 1$  ajaühikus sooritavate aatomite arv (indutseeritud kiirgust väljastavate aatomite arv):

$$\Delta N_{21} = P_{21} N_2 = B_{21} \rho(\omega) N_2, \quad (582)$$

kus  $N_2$  on olekus 2 olevate aatomite arv. Nagu eespool rõhutatud, on molema protsessi töenäosus ühesugune, s.t.  $B_{12}=B_{21}$ .

Kiirguse ja aine tasakaal saabub tingimisel, et aatomite arv igas olekus  $N_i$  jäab muutumatuks. See aga on võimalik vaid siis, kui üleminekut  $1 \rightarrow 2$  sooritavate aatomite arv vordub üleminekut  $2 \rightarrow 1$  sooritavate aatomite arvuga. Kui  $E_2 > E_1$ , siis üleminekud  $1 \rightarrow 2$  võivad toimuda vaid kiirguse mõjul. Üleminek  $2 \rightarrow 1$  aga võib toimuda nii indutseeritult kui spontaanselt. Spontaanset üleminekut  $2 \rightarrow 1$  ajahikus sooritavate aatomite arv  $\Delta N_{21}^*$  on võrdeline olekus 2 olevate aatomite arvuga  $N_2$ :

$$\Delta N_{21}^* = A_{21} N_2. \quad (583)$$

Nn. detailse tasakaalu printsibi kohaselt vastavad statistilises tasakaalus olevas süsteemis üleminekutele  $1 \rightarrow 2$  sama tõenäosusega üleminekud  $2 \rightarrow 1$ .

Tasakaalu korral peab:

$$\Delta N_{12} = \Delta N_{21} + \Delta N_{21}^*. \quad (584)$$

Asendades  $\Delta N$ -de avaldised (584)-sse, saame:

$$B_{12} \rho(\omega) N_1 = B_{12} \rho(\omega) N_2 + A_{21} N_2. \quad (585)$$

Kuna tasakaalse energia ruumtihedus sõltub peale sageduse veel temperatuurist, siis asendame  $\rho(\omega)$   $\rho(\omega, T)$ -ga.  
Avaldame selle (585)-st:

$$\rho(\omega, T) = \frac{A_{21} N_2}{B_{12}(N_1 - N_2)} = \frac{A_{21}}{B_{12}} \frac{1}{\frac{N_1}{N_2} - 1}. \quad (586)$$

Edasi arvestame, et aatomite jaotus energiate järgi allub Boltzmanni jaotusseadusele:

$$N_1 = N_0 e^{-\frac{E_1}{kT}},$$

$$N_2 = N_0 e^{-\frac{E_2}{kT}},$$

ning

$$\frac{N_1}{N_2} = e^{-\frac{E_2 - E_1}{kT}} = e^{-\frac{\hbar\omega}{kT}} \quad (587)$$

Paigutades viimase (586)-sse, saame:

$$\rho(\omega, T) = \frac{A_{21}}{B_{12}} \frac{1}{e^{\frac{\hbar\omega}{kT}} - 1}, \quad (588)$$

Kordaja  $\frac{A_{21}}{B_{12}}$  määramiseks kasutame Bohri vastavuse printsipi: iga teooria, mis on klassikalise teooria edasiarenduseks, peab piirjuhul üle minema klassikaliseks teooriga. Selliseks piirjuhuks antud juhul on  $\hbar\omega \ll kT$ . Kvandi energia on nii väike, et kiirgust võib vaadata pidevana (pikalaineline kiirgus). Sel juhul

$$e^{\frac{\hbar\omega}{kT}} \approx 1 + \frac{\hbar\omega}{kT}$$

ja

$$\rho(\omega, T) = \frac{A_{21}}{B_{12}} \frac{kT}{\hbar\omega}. \quad (589)$$

Vastava klassikalise avaldise, mille tuletamisel eeldatakse, et aatom kiirgab pidevalt, annab Rayleigh-Jeans'i valem:

$$\rho(\omega, T) = \frac{\omega^2}{\pi^2 c^3} kT. \quad (590)$$

Viimaste võrdlemisest saame:

$$\frac{A_{21}}{B_{12}} = \frac{\hbar\omega^3}{\pi^2 c^3}. \quad (591)$$

Paigutades selle (588)-sse, saame:

$$\rho(\omega, T) = \frac{\frac{h\omega^3}{\pi^2 c^3}}{e^{\frac{h\omega}{kT}} - 1}. \quad (592)$$

Edasi läheme energiа ruumtihedusest üle monokromaatsele kiirgusvõimele. Kui keha (pind) ainult kiirgaks ja kiirgaks ühes suunas, oleks

$$\bar{r}_{\omega, T} = c \rho(\omega, T).$$

Tegelikult kiirgusvõime annab energiа, mida pinnauhik kiirgab kõigis suundades, peale selle tasakaalu korral langeb pinnale (pind neelab) sama palju energiat, kui ta kiirgab. Seetõttu tegelik seos tuleb:

$$\bar{r}_{\omega, T} = \frac{c}{4} \rho(\omega, T). \quad (593)$$

Seega

$$\bar{r}_{\omega, T} = \frac{\frac{h\omega^3}{4\pi^2 c^2}}{e^{\frac{h\omega}{kT}} - 1}, \quad (594)$$

Viimane avaldis ongi Plancki valem absoluutsest musta keha kiirgusvõime kohta [vt. (460)].

### Laser

Valguse kvantgeneraator e. laser on seade, mis võib kiirata võimsaid kitsaid, paralleelseid, monokromaatseid, koherentseid valguskiirte kimpe.

Laseri töö tugineb indutseeritud kiirguse ja metaastabilsete olekute kasutamisel.

Eelneva põhjal: kui ainele langeb valgus ringsagedusega

$$\omega = \frac{E_2 - E_1}{\hbar}, \quad (595)$$

kus  $E_1, E_2$  on aatom energiatasemed ( $E_2 > E_1$ ), siis on võimalikud kaks protsessi:

1) footonite  $\hbar\omega$  neeldumine, mille tulemusena aatom läheb olekust 1 üle olekusse 2;

2) indutseeritud kiirgus ( $2 \rightarrow 1$ ).

Esimene protsess põhjustab langeva valguse intensiivsuse vähenedemise, teine – suurenemise.

Termodünaamilise tasakaalu tingimustes allub aatomite jaotus energiate järgi Boltzmanni jaotusseadusele:

$$\frac{N_2}{N_1} = e^{-\frac{E_2 - E_1}{kT}} \quad (596)$$

Kui  $E_2 > E_1$ , siis  $\frac{N_2}{N_1} < 1$ , s.t. suurema energiaga tasemel on

tasakaalu korral aatomeid vähem kui madalamana energiaga tasemel ehk: energia kasvamisel taseme hõive väheneb. Kahe taseme vaheliste üleminekute arv on aga võrdeline lähtetasemete hõivega (aatomite arvuga lähtetasemel). Seega termodünaamilise tasakaalu korral on neeldunud footonite arv suurem indutseeritult kiiratud footonite arvust ja valguse intensiivsus ainest läbiminekul väheneb. Selleks et saada valguse võimenemist, tuleb mingil viisil tekitada olukord, et kõrgemal tasemel  $E_2$  oleks rohkem aatomeid kui madalamal tasemel  $E_1$ . Sellist olukorda nimetatakse pöördhõiveks. Pöördhõive

korral  $\frac{N_2}{N_1} > 1 (E_2 > E_1)$ . Selline olukord pole enam tasakaaluline.

Aines, milles on energiatasemete pöördhõive, võib indutseeritud kiirgus ületada neeldumise, mistõttu valgus sellisest ainest läbiminekul võimendub. Laseri praktiline teostamine saigi võimalikuks pärast seda, kui leiti pöördhõive tekitamise meetodid.

Vaatame laseri tööd rubiinikristalli näite põhjal (rubiin oli ka esimese laseri töökehaks). Rubiin on alumiiniumoksiid ( $Al_2O_3$ ), milles osa alumiiniumi aatomeid on asendatud kroomiaatomitega. Ergastusenergia saadakse gaaslahenduslambilt, mis töötab impulsrežiimis ( $10^{-3}$  s).

Lihtsustatud skeemi järgi osaleb laseri töös kroomiaatomi neli energiataset:  $E_1, E_2, E_3, E_4 (E_1 < E_2 < E_3 < E_4)$ .  $E_1$  on

põhitase – sellel asub valentselektron aatomi põhiolekus. Kaugus tasemete  $E_1$  –  $E_2$  vahel on märksa suurem kui kaugus tasemete  $E_2$  –  $E_3$  ning  $E_3$  –  $E_4$  vahel. Gaaslahenduslambi kiirguse abil viiakse kroomiaatomid ergastatud olekutesse 3 või 4. Aatomi eluiga nendes olekutes on  $10^{-7} \dots 10^{-8}$  s. Selle aja jooksul siirduvad mõned aatomid spontaanselt normaalolekusse 1, kuid selliste üleminekute tõenäosus on väike, võrreldes üleminekutega  $4 \rightarrow 2$ ,  $3 \rightarrow 2$ . Viimased üleminekud pole kiirguslikud, energia antakse vahetult kristallivõrele, mistõttu kristall soojeneb. Ergastatud olek 2 on aga metastabiilne, üleminek  $2 \rightarrow 1$  on keelatud valikureeglitega (eluiga  $\sim 10^{-3}$  s). Seetõttu on impulsi lõpuks kroomiaatomite arv tasemel  $E_2$  (olekus 2) suurem kui tasemel  $E_1$ . Teisiti – tasemete  $E_2$  ja  $E_1$  vahel on pöördhõive. Laser on tööks valmis.

Laseri töötav keha on vardakujuiline, varda otspinnad on lihvitud hästi tasasteks ja omavahel paralleelseteks. Üks otspind on peegel, teine poolläbilaskev peegel.

Laseri kiirgusimpulssi alustab footon, mis tekib spontaansel üleminekul  $2 \rightarrow 1$ . Sellised üleminekud on vähe tõenäosed, kuid mõningad siiski toimuvad. Nendel üleminekutel tekkinud footonid tekitavad omakorda indutseeritud kiirguse, indutseeritud kiirgusel tekkinud footonid kutsuvad esile järgest uusi indutseeritud footoneid. Protsess kulgeb järgest kasvava laviinina. Meenutame, et indutseeritud kiirgusel tekkinud footonid levivad samas suunas neid esilekutsunud footonitega ja on viimastega koherentsed. Spontaansel kiirgusel tekkinud footonid, mille suund ei ühti varda teljega, suurt laviini ei tekita, nad väljuvad kiiresti varda külgpinnalt. Laviini tekitavad footonid, mille suund ühtib varda teljega (on sellega paralleelne). Pärast paljukordset peegeldumist realiseeruvad lõpuks praktiliselt kõik metastabiilsed olekud ja poolläbilaskvast peeglist väljuvad praktiliselt kõik footonid, sest neeldumine laseri aines on väike.

Kirjeldasime impulsslaserit. Laser võib töötada ka pidervas režiimis. Rubiinlaseris kasutatakse optilist ergastust – metastabiilseid olekuid tekitatakse valguse abil.

Gaaslaserites (kasutatakse He ja Ne segu) toimub er-gastamine gaaslahendusel - heeliumiaatomite mitteelastsetel põrgetel elektronidega, pooljuhtlaserites - elektrivoolu abil.

Laserkiirguse omadused: 1) suur ajaline ja ruumiline koherentsus, 2) range monokromaatsus, 3) suur võimsus, 4) kitsas paralleeline kiirtekimp.

## K V A N T S T A T I S T I K A   J A   T A H K E K E H A   F Ü Ü S I K A

### KVANTSTATISTIKA

#### Mandunud ja mittemandunud kollektiivid

Käitumise järgi kollektiivil võib kõik mikroosakesed jaotada kahte rühma: fermionid ja bosonid.

Kollektiivil ilmutavad fermionid püudu "eraldumisele" - kui antud kvantolek on ühe fermioni poolt täidetud, siis teine samasugune fermion sinna enam minna ei saa (Pauli printsip). Bosonid seevastu püüavad "ühineda" - nad võivad piiramatuks asustada üht ja sama olekut ja teevad seda seda "meelsamini", mida rohkem neid seal juba on.

Vaatame lähemalt osakeste omaduste mõju kollektiivi kui terviku omadustele. Et see mõju ilmneks, on vaja, et osakesed "kohtuksid" üksteisega küllalt sageli. "Kohtumise" all mõistame siin mitme osakese sattumist samasse olekusse või lähedastesse olekutesse. Koosnegu süsteem N ühesugusest osakesest, mis võivad olla G erinevas olekus. "Kohtumise" sage-duse mõoduks on sel juhul suhe N/G. Kui

$$\frac{N}{G} \approx 1, \quad (597)$$

siis on küsimus sellest, kuidas osakesed täidavad olekuid - kas ühekaupa või kollektiivselt - väga oluline. Sel juhul ilmneb osakeste spetsiifika täiel määral. See spetsiifika avaldab märgatavat mõju kollektiivi kui terviku käitumisele. Niisuguseid kollektiive nimetatakse mandunuteks. (597) on

mandumise tingimus.

Kui

$$\frac{N}{G} \ll 1 \text{ ehk } G \gg N, \quad (598)$$

siis on vakantsete, täitmata olekute arv suur. Sel juhul fermionide ja bosonite spetsiifika ei ilmne, iga osakese "kästuses" on suur hulk vabu olekuid ja küsimust ühe oleku täitmisenist mitme osakese poolt praktiliselt ei teki. See-tõttu kollektiivi kui terviku omadused osakeste spetsiifikast ei olene. Niisuguseid kollektiive nimetatakse mittemandunuteks. (598) on mittemandumise tingimus.

### Klassikaline ja kvantstatistika

Mandunud kollektiiv võib moodustuda ainult kvantmehaanilistest objektidest, kuna ainult nende parameetrid võivad muutuda diskreettselt, tänu millele olekute arv  $G$  on lõplik. Klassikaliste objektide parameetrid võivad muutuda pidevalt ja olekute arv  $G$  on seetõttu lõpmata suur. Seega klassikalised osakesed võivad moodustada ainult mittemandunud kollektiive.

Kvantmehaanilised osakesed võivad aga moodustada nii mandunud kui mittemandunud kollektiive.

Statistikat, mis uurib mittemandunud kollektiive, nimetatakse klassikalseks e. Maxwell-Boltzmanni statistikaks.

Statistikat, mis uurib mandunud kollektiive, nimetatakse kvantstatistikaks. See omakorda jaguneb:

Fermi-Diraci statistika - uurib fermione;

Bose-Einsteini statistika - uurib bosoneid.

### Jaotusfunktsioonid

Osakeste jaotuse energiate järgi määrab nn. täielik statistiline jaotusfunktsioon  $N(E)$ . Tema sisu:  $N(E)dE$  määrab osakeste arvu, mille energiad asuvad vahemikus  $E \dots$

$\dots E + dE$ . Järelikult  $N(E)$  annab osakeste arvu ühikulises energiavahemikus antud  $E$  läheduses.

$N(E)$  antakse kahe funktsiooni korrujisena:

$$N(E) = f(E)g(E). \quad (599)$$

Jaotusfunktsioon  $f(E)$  määrab osakeste arvu antud olekus (olekus energiaga  $E$ ).

$g(E)dE$  annab olekute arvu energiavahemikus  $E \dots E+dE$ .

Olekute tihedus  $g(E)$  määrab olekute arvu ühikulises energiavahemikus antud  $E$  läheduses. Järelikult ta kirjeldab olekute jaotust energiate järgi.

### Faasiruum

Klassikalises mehaanikas on osakese olek määratud kolme koordinaadiga  $x$ ,  $y$ ,  $z$  ja impulsi kolme komponendiga  $p_x$ ,  $p_y$ ,  $p_z$ . Kujutame ette 6-mõõtmelist ruumi koordinaattelgedega  $x$ ,  $y$ ,  $z$ ,  $p_x$ ,  $p_y$ ,  $p_z$ . Osakese olek niisuguses ruumis on igal ajahetkel määratud punktiga, mille koordinaadid on  $x$ ,  $y$ ,  $z$ ,  $p_x$ ,  $p_y$ ,  $p_z$ . Sellist ruumi nimetamegi faasiruumiks.

Suurust

$$\Delta\Gamma = \Delta\Gamma_V \Delta\Gamma_p = \Delta x \Delta y \Delta z \Delta p_x \Delta p_y \Delta p_z \quad (600)$$

nimetatakse faasiruumi elemendiks.

$$\Delta\Gamma_V = \Delta x \Delta y \Delta z \quad (601)$$

on tavalise ruumi element.

$$\Delta\Gamma_p = \Delta p_x \Delta p_y \Delta p_z \quad (602)$$

on impulsside ruumi element.

Kuna klassikalise osakese koordinaadid ja impulsi komponendid võivad muutuda pidevalt, siis elemendid  $\Delta\Gamma_V$  ja  $\Delta\Gamma_p$  võivad olla kuitahes väikesed.

Teisiti on asi, kui osakeseks on elektron või mõni teine mikroosake. Kooskõlas määramatuse relatsiooniga ( $\Delta x \Delta p_x \gg h$ ) on võimaltu eristada kahte olekut  $x$ ,  $y$ ,  $z$ ,  $p_x$ ,  $p_y$ ,  $p_z$  ja  $x + \Delta x$ ,  $y + \Delta y$ ,  $z + \Delta z$ ,  $p_x + \Delta p_x$ ,  $p_y + \Delta p_y$ ,  $p_z + \Delta p_z$ , kui korrutis  $\Delta x \Delta y \Delta z \Delta p_x \Delta p_y \Delta p_z < h^3$ . Kuna see korrutis on faasiruumi element, siis järeltub siit, et erinevatele faasiruumi elementidele vastavad erinevad mikroosakese kvantolekud

ainult siis, kui nende elementide suurus on vähemalt  $h^3$ .

Seetõttu kvantstatistikas loetakse 6-mõõtmelise faasiruumi elementaarrakuks faasiruumi elementi

$$\Delta\Gamma = \Delta\Gamma_V \quad \Delta\Gamma_p = h^3. \quad (603)$$

### Vabad osakesed

Vabad osakesed on osakesed, mille vahel puudub vastasmõju ja mis ei asu välises väljas. Nende potentsiaalne energia on 0.

Niisuguste osakeste jaoks on mugavam kasutada mitte 6-mõõtmelist faasiruumi, vaid 3-mõõtmelist impulsiruumi. Sel juhul on ruumielement  $\Delta\Gamma_V$  lihtsalt kogu ruum V, milles osakesed liiguavad, kuna mingeid kitsendusi nende asukoha jaoks pole.

$$\Delta\Gamma_V = V. \quad (604)$$

Seega vabade mikroosakeste jaoks 3-mõõtmelise impulsiruumi elementaarrakk

$$\Delta\Gamma_p = \frac{h^3}{V}. \quad (605)$$

Igale niisugusele elementaarrakule vastab kvantolek, mis erineb teistest olekutest.

Faasiruumi jaotamist lõpliku suurusega rakkudeks ( $h^3$  või  $h^3/V$ ) nimetatakse faasiruumi kvantimiseks.

### Vabade osakeste olekute tihedus

Leiame olekute tiheduse  $g(E)$  vabade mikroosakeste jaoks. Selleks kujutame impulsiruumis kahte kera raadiustega p ja  $p + dp$ . Nende kahe kera vahel asub kerakiht ruumala  $4\pi p^2 dp$ . Elementaarrakkude arv selles kihis:  $\frac{4\pi p^2 dp}{\Delta\Gamma_p} = \frac{4\pi V}{h^3} p^2 dp$ .

Kuna igale elementaarrakule vastab üks olek, siis on see ühtlasi olekute arv vahemiku dp kohta.

$$g(p)dp = \frac{4\pi V}{h^3} p^2 dp. \quad (606)$$

Saime jaotuse impulsside järgi. Minnes üle jaotusele energiate järgi ( $E = \frac{p^2}{2m}$ ; tuleb silmas pidada, et võrdsed pole mitte  $g(p)$  ja  $g(E)$ , vaid  $g(p)dp = g(E)dE$ ), saame:

$$g(E)dE = \frac{2\pi V}{h^3} (2m)^{3/2} \sqrt{E} dE. \quad (607)$$

$$g(E) = \frac{2\pi V}{h^3} (2m)^{3/2} \sqrt{E}. \quad (608)$$

Avaldised (607), (608) kehtivad mitterelativistlike osakeste jaoks.

Näeme, et olekute tihedus on võrdeline järgmiste suurustega:  $\sqrt{E}$  ( $E$  – vaba osakeste kineetiline energia);  $m^{3/2}$  ( $m$  – osakeste mass);  $V$ .

Spinniga osakeste korral vastab igale elementaararakule niimitu olekut, kui mitu spinni erinevat orientatsiooni on võimalik (spinn-olekud). Elektronide ja footonite korral olekute arv kahekordistub.

$$g(p) = \frac{8\pi V}{h^3} p^2. \quad (609)$$

$$g(E) = \frac{4\pi V}{h^3} (2m)^{3/2} \sqrt{E}. \quad (610)$$

Viimane avaldis kehtib jälle mitterealistlike osakeste jaoks (footonite jaoks mitte).

Olekute tihedus ei olene sellest, kas tegemist on fermionide või bosonitega, mandunud või mittemandunud olekutega. Sellest oleneb olekute realiseerumine.

## BOSE-EINSTEINI STATISTIKA. TAHKE KEHA SOOJUSMAHTUVUS

### Bose-Einsteini jaotusfunktsioon

Bose-Einsteini jaotusfunktsioon on bosonite jaotusfunktsioon energiate järgi. Meenutame, et jaotusfunktsioon annab osakeste arvu olekus energiaga E. Bosonite jaoks Pauli printsip ei kehti, nad võivad täita nii vabuolekuid kui ka olekuid, mis on juba täidetud teiste bosonite poolt, seejuures seda "meelsamini", mida rohkem neid selles olekus juba on. Bose-Einsteini jaotusfunktsioon mandunud bosongaasi jaoks:

$$f_B(E) = \frac{1}{e^{\frac{E}{kT}} - 1} \quad (611)$$

### Footongaas

Mandunud bosongaasi näiteks võib olla footongaas. Kujustame ette avaust absoluutsest mustas kehas, mille temperatuur T on konstantne. Niisugune avaus on täidetud tasakaalse soojskiirgusega. Kvantseisukohalt võib seda kiirgust vaadata kui tohutu arvu footonite kogumit – see ongi footongaas. Footoni spinn on 1 ( $s=1$ ). Seega footon on boson. Võrreldes teiste bosonitega (näit.  $\text{He}_2^4$  tuumadega) on footonitel rida iseärasusi.

1. Nende seisumass on 0.
2. Kõik footonid liiguvad ühesuguse kiirusega c, kuid nende energia ja impulss võivad olla erinevad ( $E = \hbar\omega$ ;  $p = \frac{\hbar\omega}{c}$ ;  $E = pc$ ).
3. Footonid ei pörku omavahel, nende vahel puudub vastasmõju. Seetõttu kehtib nende jaoks vabade osakeste olekute tihedus. Tasakaalne jaotus võib aga footongaasis kujuneda keha olemasolu korral, mis on võimeline kiirgama ja neelama footoneid (niisuguseks kehaks on meie näites avause seinad). Pidava kiiruse ja neeldumise käigus muunduvad ühe sagedusega footonid teistauguse sagedusega footoniteks, kuid tasakaalu

korral jäab jaotus energiate järgi ühesuguseks.

Kuna footoni energia  $E = \hbar\omega$ , siis

$$f_B(\omega) = \frac{1}{e^{\frac{\hbar\omega}{kT}} - 1} \quad (612)$$

Meenutame, et kogu statistiline jaotusfunktsioon (osakeste arv ühikulises energiavahemikus)  $N(E) = f(E)g(E)$ . Analoogaelt  $N(\omega) = f(\omega)g(\omega)$  annab footonite arvu ühikulises sageduste vahemikus. Kiirgusenergia ruumtihedus ühikulise sageduste vahemiku kohta antud  $\omega$  läheduses

$$\rho(\omega, T) = \frac{\omega \hbar N(\omega)}{V} \quad (613)$$

Minnes valemis (609) üle jaotusele  $\omega$  järgi ( $p = \frac{\hbar\omega}{c}$ ; ikka tuleb silmas pidada, et võrdsed on  $g(p)dp$  ja  $g(\omega)d\omega$ ), võib üsna lihtsalt saada  $\rho(\omega, T)$  avaldise, mis ühtib avaldisega (592).

### Kristallivõre normaalvõnkumised

Soojusliikumine tahketes kehadest (kristallides) on aatomite võnkumine tasakaaluasendi - kristallivõre sõlmpunkti ümber. Selle töttu, et aatomid on kristallis omavahel tugevasti seotud, osutub nende võnkumiste täpne kirjeldamine külalalt keerukaks. Seepärast kasutatakse mitmesuguseid lähismetodeid ja lihtsustusi.

Selle asemel, et kirjeldada iga aatomi võnkumist, vadatakse nende kollektiivset liikumist ruumiliselt korrapärases süsteemis. Kuna aatomid on omavahel tugevasti seotud, kandub ühe aatomi võnkumine kohe naaberaatomitele - tekib elastne laine, mis haarab terve kristalli. Niisugust aatomite kollektiivset võnkumist nimetatakse võre normaalvõnkumiaks. Normaalvõnkumiste arv, mis võres võib tekkida, võrdub kõigi aatomite vabadusastmete arvuga  $3N$  ( $N$  on aatomite arv).

Vaatleme esmalt tahke keha ühemõõtmelist mudelit - lineaarsest aatomite ahelat, milles aatomid asuvad ühesugusel kaugusel  $a$  ( $a$  on vorekonstant). Niisuguses ahelas võivad levida kolme liiki e. kolme erineva polarisaatsiooniga lained: üks pikilaine ja kaks ristlaint vastastikku ristuvates sih-

tides toimuvate vònkumistega. Järgnevas arutluses vaatame ainult ühte ristlained. Kui niisuguse ahela otsad on kinnitatud, siis võib ahelat vaadata keelena, milles tekivad seisvad lained. Niisugune mudel vastab küllalt hästi reaalsusele, sest kui kristallis hakkavad aatomid vònkuma, siis kannuvad need vònkumised edasi elastse lainena. Kristalli serval laine peegeldub. Otselaine ja peegeldunud laine liitumisel tekibki seisev laine. Kõige madalam nn. põhisagedus  $\omega_{\min}$  vastab seisvale lainele, mille sõlmed on ahela otstes. Järmise kõrgema sageduse (teise harmoonilise) annab seisev laine sõlmedega ahela otstes ja keskel. Kolmenda harmoonilise annab seisev laine, mille sõlmed jaotavad ahela kolmeksi võrdseks osaks jne. Ilmselt kõige väiksem laine pikkus, mis nii suguses ahelas võib tekkida, vastab kahekordsele aatomitevahelisele kaugusele. Väiksema laine pikkusega laine ei oma füüsikalist mõtet.

$$\lambda_{\min} = 2a. \quad (614)$$

Sellele vastab maksimaalne ringsagedus

$$\omega_{\max} = 2\pi\nu_{\max} = \frac{2\pi v}{\lambda_{\min}} = \frac{\pi v}{a}, \quad (615)$$

kus  $v$  on lainete faasikiirus.

Vaadeldud normaalvònkumised tekivad ühte liiki aatomitest koosnevas aines lihtsamate vòrede korral. Neid nimetatakse akustilisteks vònkumisteks, sest vònkesagedused vastavad häälelainete vònkesagedustele.

Eri liiki aatomitest koosnevas aines või ka ühte liiki aatomite korral keerukas vòres võivad lisaks akustilistele vònkumistele tekkida keerukamad, nn. optilised vònkumised. Need etendavad olulist osa valguse ja aine vastasmõjul. Meie piirdume akustiliste vònkumistega.

#### Kristallivõre normaalvònkumiste spekter

Vaatleme normaalvònkumiste jaotust sageduste järgi, teisiti öeldes - püüame leida nende vònkumiste olekute tiheust  $g(\omega)$ .

Lähtume jällegi lineaarsest aatomite abelast. Abelasse

pikkusega  $L$  mahub seisvate lainete korral ainult täisarv poollaineid:

$$L = z \frac{\lambda}{2}, \quad (616)$$

kust

$$\lambda_z = \frac{2L}{z} \quad (z=1, 2, \dots N_1), \quad (617)$$

kus  $N_1$  on aatomite arv ahelas;

$z$  - normaalvõnkumiste arv, mille laine pikkus on võrdne või suurem  $\lambda_z$ -st.

$$z = \frac{2L}{\lambda_z}. \quad (618)$$

$z_{\max}$  vastab minimaalsele laine pikkusele ( $\lambda_{\min} = 2a$ ):

$$z_{\max} = \frac{L}{a} = N_1. \quad (619)$$

Läheme üle 3-mõõtmelisele kristallile. Lihtsuse mõttes vaatame kuubikuju list kristalli serva pikkusega  $L$  ( $V=L^3$ ). Niisuguses kuubis tekkivate normaalvõnkumiste arv on  $z^3$ . Arvestades aga, et ühesuguse laine pikkusega võib tekkida 3 erinevat normaalvõnkumist (3 erinevat polarisatsiooni), siis  $3z^3$ .

Seega kristallis tekkivate normaalvõnkumiste arv

$$Z = 3z^3 = 3\left(\frac{2L}{\lambda_z}\right)^3 = \frac{24V}{\lambda_z^3}. \quad (620)$$

Veendume eelneva seose õigsuses. Normaalvõnkumiste maksimaalne arv peab võrduma kristalli aatomite vabadusastmete arvuga  $3N = 3N_1^3$ .

$$Z_{\max} = 3N = 3\left(\frac{L}{a}\right)^3 = 3N_1^3 = 3z_{\max}^3. \quad (621)$$

Läheme valemis (620) üle ringsagedustele ( $\lambda_z = \frac{2\pi v}{\omega}$ ):

$$Z = \frac{24V}{8\pi^3 v^3} \omega^3 = \frac{3V}{\pi^3 v^3} \omega^3. \quad (622)$$

Täpsem tulelus (analoogne  $g(\omega)$  tuletamisega vabade osakeste jaoks; vaadeldakse lainevektorite faasiruumi) annab kordaja  $\frac{3}{\pi^3}$  asemel  $\frac{1}{2\pi^2}$ .

$$Z = \frac{V}{2\pi^2 v^3} \omega^3. \quad (623)$$

Selle funktsiooni diferentsiaal  $dZ$  annab nende vōnkumiste arvu, mille sagedused asuvad vahemikus  $\omega \dots \omega + d\omega$ , see aga on teisest küljest  $g(\omega)d\omega$ . Seega

$$dZ = g(\omega)d\omega = \frac{3V}{2\pi^2 v^3} \omega^2 d\omega. \quad (624)$$

$g(\omega)$  on vōnkumiste arv ühikulises sageduste vahemikus

$$g(\omega) = \frac{dZ}{d\omega} = \frac{3V}{2\pi^2 v^3} \omega^2. \quad (625)$$

Kuna vōnkumiste koguarv, mis kristallis võib tekkida, on  $3N$ , siis

$$\int_0^{\omega_{\max}} g(\omega)d\omega = 3N, \quad (626)$$

kust  $\frac{V\omega_{\max}^3}{2\pi^2 v^3} = 3N$  ning viimasesest

$$\omega_{\max} = \sqrt[3]{6\pi^2 \frac{N}{V}}. \quad (627)$$

Temperatuuri  $\Theta$ , mis on määratud tingimusest  $\Theta k = \hbar\omega_{\max}$  ( $k$  – Boltzmanni konstant), nimetatakse Debye temperatuuriks:

$$\Theta = \frac{\hbar\omega_{\max}}{k}. \quad (628)$$

Debye temperatuuril ergastatakse tahkes kehas kogu normaal-vōnkumiste spekter. Seetõttu edasine temperatuuri tõstmine ei kutsu esile uusi vōnkumisi, tõuseb vaid vōnkumiste ergastatuse aste, mis viib ühe vōnkumise keskmise energiaga kasvule. Temperatuure  $T > \Theta$  loetakse kõrgeteks.

Avaldame valemist (627) v ja paigutame valemisesse (625).

Saame:

$$g(\omega) = 9N \frac{\omega^2}{\omega_{\max}^3}. \quad (629)$$

### Foononid

Iga normaalvõnkumine omab energiat ja impulssi.

Võnkumiste teoorias tõestatakse, et vore ühe normaalvõnkumise energia võrdub niisuguse ostsillaatori energiaga, mille mass võrdub aatomi massiga ja mis võngub sagedusega, mis võrdub normaalvõnkumise sagedusega. Niisugust ostsillaatorit nimetatakse normaalseks ostsillaatoriks.

Tuleb rõhutada, et normaalsed ostsillaatorid ei oma midagi ühist reaalsete aatomitega peale ühise massi. Tegelikult iga ostsillaator kujutab endast ühte kogu kristallivore normaalvõnkumistest, millesest võtavad osa kõik aatomid, võnkudes ühesuguse sagedusega  $\omega$ .

Olgu  $i$ -nda normaalvõnkumise energia  $E_i$ . Kogu kristallivore energia, milles on ergastatud kõik  $3N$  normaalvõnkumist:

$$E = \sum_{i=1}^{3N} E_i. \quad (630)$$

$E_i$  on samal ajal ühe normaalse ostsillaatori energia. Seega  $N$  seotud aatomist koosneva süsteemi keskmise energia leidmine taandub normaalsete ostsillaatorite energia leidmissele.

Meenutame, et kvantmehaanilise ostsillaatori energia

$$E_{in} = (n + \frac{1}{2})\hbar\omega_i \quad (n=0,1,2, \dots). \quad (631)$$

Seega minimaalne energia, mida kristallivore soojuusvõnkumistel võib neelata või õra anda, on  $\hbar\omega_i$ .

$$\epsilon_F = \hbar\omega_i. \quad (632)$$

Seda kristallivore soojuusvõnkumiste energia kvanti nimetataksegi foononiks. Kristallivore soojuusvõnkumistel tekkivaid elastseid laineid võime vaadata kui gaasi, mille moodustavad

võre normaalvõnkumiste kvandid - foononid. Foononi impuls avaldub analoogselt footoni impulsiga:

$$p_f = \frac{\hbar \omega_i}{v} = \frac{\hbar}{\lambda_i} = \hbar q_i, \quad (633)$$

kus

$$q_i = \frac{2\pi}{\lambda_i} \quad (q_i \text{ on lainearv}).$$

Ülaltoodud kujutlustest lähtudes võib kristalli vaadelda kui foonongaasiga täidetud kasti. Foonon kujutab endast nn. kvaasiosakest. Kvaasiosakeste peamine erinevus tavalisest osakestest seisneb selles, et nad ei saa eksisteerida vaakumis, nende tekkeks ja eksisteerimiseks on vajalik keskkond. Foononid on bosonid (nende spinn on null). Järelikult alluvad nad Bose-Einsteini jaotusfunktsioonile:

$$f(\varepsilon) = \frac{1}{e^{\frac{\hbar\omega}{kT}} - 1} = \frac{1}{e^{\frac{\hbar\omega}{kT}} - 1}, \quad (634)$$

kus  $f(\varepsilon)$  on foononite arv, mille energia on  $\varepsilon_f$ .

Sõltuvalt antud normalse ostsillaatori ergastatuse astmest võib ta väljastada teatava arvu foononeid. Kui ostsillaator on ergastatud näiteks kolmanda tasemeeni, siis tema energia  $E_3 = (3 + \frac{1}{2})\hbar$ . See tähendab, et seda võnkumist võib vaadata kui foonongaasi, mis koosneb kolmest foononist energiaga  $\hbar\omega$  igaüks (energiat  $\frac{1}{2}\hbar\omega$  ta väljastada ei saa).

Valemist (634) järeltub, et antud temperatuuril  $T$  on võres ergastatud kõik normaalvõnkumised kuni energiani  $\hbar\omega \approx kT$ . Suurema sagedusega võnkumisi, mille  $\hbar\omega > kT$ , praktiliselt ei teki.

Kuna  $f(\varepsilon)$  on nende foononite keskmne arv, mille sagedus on  $\omega$ , siis niisuguse ergastatud normaalvõnkumise keskmne energia, mille sagedus on  $\omega$ , on järgmine:

$$\bar{E} = \hbar\omega f(\varepsilon) = \frac{\hbar\omega}{e^{\frac{\hbar\omega}{kT}} - 1}. \quad (635)$$

### Tahke keha siseenergia

Tahke keha siseenergiat võib vaadelda kui võre normaalvõnkumiste energiate summat. Normaalvõnkumiste arv sageduste vahemikus  $d\omega$  on  $\bar{g}(\omega)d\omega$ . Korrutades selle ühe normaalvõnkumise keskmise energiaga  $\bar{E}$ , saame normaalvõnkumiste summaarse energia sageduste vahemikus  $d\omega$ :

$$dU = \bar{E}g(\omega)d\omega. \quad (636)$$

Integreerides viimast üle kogu võimaliku sageduste vahemiku  $0 \dots \omega_{\max}$ , saame tahke keha siseenergia:

$$U = \int_0^{\omega_{\max}} \bar{E}g(\omega)d\omega. \quad (637)$$

Paigutame viimasesse  $g(\omega)$  valemist (629) ja  $\bar{E}$  valemist (635). Saame:

$$U = \frac{9N}{\omega_{\max}^3} \int_0^{\omega_{\max}} \frac{\hbar\omega^3}{e^{\frac{\hbar\omega}{kT}} - 1} d\omega. \quad (638)$$

Teostades muutujate vahetuse  $x = \frac{\hbar\omega}{kT}$  ning arvestades, et  $\omega_{\max} = \frac{k\theta}{\hbar}$  (628), saame:

$$U = 9Nk\theta \left(\frac{T}{\theta}\right)^4 \int_0^{\theta/T} \frac{x^3}{e^x - 1} dx. \quad (639)$$

Viimastes avaldistes on arvestamata see energia  $\frac{\hbar\omega}{2}$ , mida ostsillaator ära anda ei saa.

### Tahke keha moolsoojus

Tahke keha moolsoojus

$$C = C_v = \frac{dU_m}{dT}, \quad (640)$$

kus  $U_m$  on ühe mooli siseenergia. Soojusmahtuvuse teoorias on peamiseks probleemiks  $C_v$  sõltuvus temperatuurist.

Vaatame eraldi madalaid ja kõrgeid temperatuure.

1. Madalad temperatuurid.  $T \ll \theta$ .

Sel juhul  $\theta/T \rightarrow \infty$  ning integraal avaldises (639)

$$\int_0^\infty \frac{x^3}{e^x - 1} = \frac{\pi^4}{15}.$$

Ühe mooli siseenergia

$$U_m = \frac{3\pi}{5} N_A k \theta \left(\frac{T}{\theta}\right)^4 = \frac{3\pi^4}{5} R \theta \left(\frac{T}{\theta}\right)^4 \sim T^4, \quad (641)$$

kus  $N_A$  on Avogadro arv;

$R$  – gaaside universaalkonstant.

Moolsoojus

$$C_v = \frac{dU_m}{dT} = \frac{12\pi^4}{5} R \left(\frac{T}{\theta}\right)^3 \sim T^3. \quad (642)$$

Viimane avaldis kujutab endast Debye seadust: madalatel temperatuuridel on tahkete kehade moolsoojus  $C_v \sim T^3$ .

Seega madalatel temperatuuridel kasvab tahkete kehade siseenergia võrdeliselt temperatuuri neljanda astmega. See kasv on põhjustatud järgmistes asjaoludest:

1) kasvab iga normaalvõnkumise ergastatuse aste ja koos sellega antud võnkumise keskmise energiaga; see kasv on võrdeline temperatuuriga (esimese astmega);

2) temperatuuri tõusuga ergastatakse järjest uuri normaalvõnkumisi, kasvab normaalvõnkumiste arv; see kasv on võrdeline temperatuuri kuubiga.

2. Kõrged temperatuurid.  $T \gg \theta$ .

Integraali arvutamisel avaldises (639) võime arvestada, et  $x = \frac{\hbar\omega}{kT}$  on väike ja  $e^x$  võime arendada ritta  $e^x = 1 + x + \dots$  ning piirduda reaksarenduse esimeste liikmetega. (639) saab kuju:

$$U_m = 9R \theta \left(\frac{T}{\theta}\right)^4 \int_0^{\theta/T} x^2 dx = 9R \theta \left(\frac{T}{\theta}\right)^4 \frac{1}{3} \left(\frac{\theta}{T}\right)^3,$$

kust

$$U_m = 3RT \sim T \quad (643)$$

ning

$$C_v = \frac{dU}{dT} = 3R = \text{const.} \quad (644)$$

Viimane on meile tuntud Dulong-Petit' seadus.

Selles piirkonnas on kõik normaalvõnkumised ergastatud. Siseenergia kasvab ainult ergastatuse astme kasvu tõttu.

Nende kahe piirkonna vahel on küllalt lai piirkond, kus toimub üleminek Debye seaduselt Dulong-Petit' seadusele. Vaadeldav teooria kaib mittemetalliliste tahkete kehade kohta.

Saadud tulemused on küllalt heas kooskõlas katsetega lihtsa võrega kristallide jaoks. Kuid sellise juhuga me piirdusimegi - vaatasime ainult akustilisi võnkumisi.

### Ülivoolavus

Ülivoolavuse nähtus seisneb selles, et väga madalatel temperatuuridel (alla 2,18 K) vedelal heliumil ( $\text{He}_2^4$ ) praktiselt puudub täielikult sisehöördumine, ta läbib peeni kapillaare ja pilusid ilma igasuguse takistuseta. Nähtus esineb ainult heliumil, kuna ainult helium jääb nii madalatel temperatuuridel vedelasse olekusse.

Oluline ülivoolavuse seletamisel on see, et  $\text{He}_2^4$  aatom on boson. Aatom kooaneb kahest elektronist, kahest protonist ja kahest neutronist, nende summaarne spinn on 0.  $\text{He}_2^3$ -l ülivoolavus puudub, kuna tema aatom on fermion.

Ülivoolavus on puhk-kvantmehaaniline efekt. Nii madalatel temperatuuridel on liikumise korrapärasus sedavõrd väike, et kvantmehaanilised efektid võivad ilmneda makroskoopilistes ruumalades.

Sisehöördumine vedelikes on üldse seletatav sellega, et aatomitel on kiirused mitte ainult voolu suunas (soojusliikumine). Madalatel temperatuuridel võib probleemi käsitleda ni, et aatomite põhiolekuks on voolusuunaline liikumine. Liikumist

teistes suundades võib vaadata kui mikrohääritust, sest soojusliikumise intensiivsus on väga väike. Seega madalatel temperatuuridel on anamik aatomeid põhiolekus - minimaalse energiaga olekus, üksikud aatomid aga mitte. Väga madalal temperatuuril püüavad kõik aatomid minna ühte olekusse - põhiolekusse. Hääritus kaob. See on võimalik ainult bosonite korral. Seega on ülivoolavuse nähtus tingitud vastastikuses mõjutese olevate bosonite kollektiivsetest omadustest. Kogu vedelik käitub kui ühtne kvantmehaaniline süsteem.

Kõrgetel temperatuuridel on see võimatu, sest soojusliikumise energia on piisav, et viia aatomeid kõikvõimalikesse kõrgema energiaga olekutesse.

#### FERMI-DIRACI STATISTIKA. METALLID JA POOLJUHID

##### Aatomitevaheliste sidemete tüübide tahkete kehadest

Tahked kehad on kristallid. Joud, mis hoiavad aatomeid kristallis koos, sõltuvad sellest, millised aatomid kristaliks ühinevad. Konkreetne kristallivõre tüüp antud aine jaoks on määratud energia miinimumi printsibiga - aatomid paiknevad kristallivõres nii, et süsteemi energia oleks minimaalne. Piirdume atomaarsete kristallidega. Eristatakse kolme põhilist sidemete tüüpi, seejuures kaks neist on samad, mis hoiavad aatomeid molekulis koos.

1. Ioonne side. Side teostub eri liiki aatomite vahel, kusjuures üht liiki aatomitel on väliskattel mõni elektron, teist liiki aatomitel on väliskatte (või allkatte) täitumisest sama palju elektrone puudu. Sel juhul annavad esimesed oma valents elektronid kergesti õra, teised aga võtavad need "meelsasti" juurde. Pärast niisugust elektronide ümberjaotamist muutuvad aatomid erimärgilisteks ioonideks, mida kristallis hoiavad koos elektrilised tõmbejoud. Tüüpiliselt moodustuvad ioonsed kristallid leelismetallide ja halogeenide aatomitest. Side on tugev. Näiteks NaCl korral on seoseenergia (energia, mis vabaneb kristalli moodustumisel) 7,9 eV molekuli kohta.

2. Kovalentne e. homöopolaarne side. Kristallivõre sõlm-

punktides on neutraalsed aatomid. Seejuures väliskatte elektronid (valentselektronid) kuuluvad samaaegselt mitmele aatomile (elektronpilved kattuvad osaliselt). Side teostub aatomite vahel paariviisi, sideme tekkimisel kahe aatomi vahel võtab sellest osa üks elektron kummastki aatomist. Seejuures nende sidemeelektronide spinnid on vastassuunalised (sel juhul tekivad tõmbejõud). Seega aatomite paaridel on ühised elektronpaarid. Kuna iga valentselektron võib kindlustada sideme ühe aatomiga, siis sidemete arv, millest võib osa võtta üks aatom, võrdub tema valentsiga (valentselektronide arvuga). Side on tüüpiline neljavalentsetele elementidele. Side on tugev - seoseenergia on ligikaudu 10 eV aatomi kohta.

3. Metalliline side. Võre sõlmpunktides on positiivsed ioonid. Valentselektronid (vabad elektronid) kuuluvad samaaegselt kõigile aatomitele. Elektrongaas jactub ühtlaselt kogu kristallis. See negatiivne gaas "tsementeerib" positiivsed ioonid. Side pole tugev. Näiteks Na korral on seoseenergia 1,1 eV aatomi kohta.

Paljudes kristallides esineb koos metallilise sidemega kovalentne side. Neis on side tugev: näiteks W korral on seoseenergia 9 eV aatomi kohta.

#### Energia tsoonid kristallides

Klassikalises metallide teoorias loeti iseeneseatmõistetavaks, et vabadel elektronidel võib olla mis tahes energia ja see võib muutuda pidevalt. Kvantteooria järgi on elektroni energia ka kristallides kvanditud. Seejuures lubatud energia tasemed grupeeruvad nn. tsoonideks.

Et mõista tsoonide teket, vaatame vabade (isoleeritud) aatomite ühinemist kristalliks. Isoleeritud aatomitel võivad elektronid olla vaid kindlates energetilistes seisundites. Kui meil on  $N$  ühesugust aatomit, siis nende energiatasemed on täpselt ühesugused. Järelikult võib sellise süsteemi olekut vaadata kõdunenuna – onolemas  $N$  ühesuguse energiaga olekut. Aatomite lähenemisel üksteisele tekib nende vahel vastasmõju, tekib lisaenergia, häiritus, mis viib energiatasemete nihkumisele ja jagunemisele. Jällegi toimib kvantmehaanika üks põhiprintsiipe – häiritus kaotab kõdunemise. Iga üksiku

aatomi energiataseme asemel tekib N väga lähedast, kuid mitte ühtelangevat taset. Need tasemed moodustavadki energia tsooni. Seega tsoon on energiatasemete kogum, mis tekib kristalli moodustumisel ühest isoleeritud aatomi energiatasemest.

Täpsemini saab energiliste tsoonide teket põhjendada, vaadates elektronide liikumist kristallivõre perioodilises väljas (perioodiliselt muutuva potentsiaaliga väljas).

Kõik tasemed ei jagune ühtlaselt. Sisekatetele vastavaid tasemeid häiritakse aatomite lähenemisel märksa vähem kui väliskatete tasemeid. Seepärast sisekatete tasemed jagunevad märksa vähem (või ei jagune üldse). Märgatavalt jagunevad vaid valentselektronidega täidetud tasemed, samuti kõrgemad tasemed, mis aatomi põhiolekus pole elektronidega täidetud.

Tsooni, mis tekib tasemest, millel paiknevad valents-elektronid aatomi põhioleku korral, nimetatakse valentstsooniks.

Tsooni, mis tekib järgmisenist, kõrgemast tasemest (mis aatomi põhiolekus on tühi), nimetatakse vabaks tsooniks.

Madalamad tasemed, mis ei jagune, täidetakse elektro-nidega, mis on tugevasti seotud antud aatomi tuumaga. Need meid edaspidi ei huvita. Järgnevas huvitab meid ainult valentstoon ja vaba tsoon.

Kõik kristalli aatomid moodustavad ühtse kvantmehaani-lise süsteemi. Pauli printsip kehtib kristalli kohta tervikuna. Pauli printsip tsoonide tasemete kohta: ühel tsooni tasemel võib olla vaid kaks elektroni vastassuunaliste spinidega.

Lubatud ergeetilised tsoonid on teineteisest eraldatud vahemikega, kus lubatud energia väärtsi pole. Neid vahemikke nimetatakse keelatud tsoonideks. Lubatud ja keelatud tsoonide laius sõltub ainult aatomitevahelisest kaugusest kristallis (mis konkreetse kristalli korral on kindel suurus), mitte aga kristalli mõõtmetest (aatomite arvust kristallis). Väikeste aatomivaheliste kauguste korral võib tekkida tsooni-de osaline kattumine. Sellises kattunud tsoonis võrdub tase-mete arv kummagi tsooni tasemete arvu summaga.

Tavaliselt on lubatud tsooni laiuseks mõni eV. Kuna tasemete arv tsoonis võrdub kristalli moodustavate aatomite arvuga  $N$ , siis paiknevad tasemed tsoonis väga tihedalt. Näiteks kui  $N = 10^{23}$ , siis kaugus tasemete vahel on  $\sim 10^{-23}$  eV.

### Juhid, pooljuhid ja dielektrikud

Temperatuuril  $T = 0$  peab kristalli energia olema minimaalne. Seetõttu sellel temperatuuril täidavad valentselektronid paariviisi kõik alumised tasemed valentstsoonis. Vaba tsoon on tühi.

Selleks et aine juhiks elektrit, peab valentselektronidel olema võimalus väikeste annustena energiat juurde saada (väljas kiireneda), sest elektriväljalt võib elektron saada vaid väga vähe energiat. Teisiti: elektronidel peab olema võimalus tsoonis madalamatelt tasemetelt kõrgamatele üle minna. See võimalus (või võimatus) määrabki ainete elektroduktivuse.

Sõltuvalt valentstsooni täituvusest ja keelutsooni laiusest on võimalik kolm erijuhtu.

1. Metallid. Eraldi tuleb veel vaadata ühevalentseid ja kahevalentseid metalle.

A. Ühevalentsed metallid. Valentstsoonis on  $N$  taset ( $N$  on ikka aatomite arv kristallis). Tsooni "mahub"  $2N$  elektroni. Valentselektrone on  $N$ ,  $T = 0$  juures täidavad nad paariviisi  $N/2$  alumist taset, kõrgamate temperatuuridel on elektrone ka kõrgamate tasemetel. Pool tsoonist ( $T = 0$  juures ülemine pool) on tühi ja elektronidel on võimalus elektrivälja mõjul kõrgamatele tasemetele üle minna. Aine on hea elektrijuht. Valentstsoon muutub sel juhul juhtivustsooniks.

B. Kahevalentsed metallid (leelismuldmetallid). Valentssoon on täielikult täidetud, kuid valentstsoon ja vaba tsoon kattuvad osaliselt. Seetõttu tekib elektronidel täiendav võimalus üleminekuks kõrgamatele tasemetele. Aine juhib elekrit. Juhtivustsooniks on vaba tsoon.

2. Pooljuhid.  $T = 0$  juures on valentstsoon täielikult täidetud, keelutsooni ületamiseks ja järgmisse – vabasse tsooni minekuks kõrgamatele tasemetele. Aine ei ju-

hi elektrit. Keelutsooni laius on väike ( $E_g \leq 1$  eV). Soojusliikumise keskmise energia ( $\frac{3}{2} kT$ ) 1 K kohta on  $\sim 10^{-4}$  eV, toatemperatuurile vastab energia  $\sim 0,03$  eV. Sellest piisab, et mõningaid elektrone valentstsoonist vabasse tsooni üle via. Need mõningad üleläinud elektronid võivad seal välja möjul üle minna kõrgematele tasemetele. Tekib väike juhtivus. Juhtivustsooniks on vaba tsoon. Samuti võivad elektronid valentstsoonis vabanenud kohtadele madalamatelt tasemetelt üle minna.

3. Dielektrikud. Energiadiagramm erineb pooljuhtide energiadiagrammist ainult keelutsooni laiuse poolest (mõni eV). Ka soojusliikumise energiast (tavalistel temperatuuridel) ei piisa elektronide üleviimiseks vabasse tsooni, valentstsoonis aga üleminekuid ei saa toimuda, kuna ta on täidetud. Aine ei juhi elektrit. Ülaltoodust järeltub ühtlasi, et vahel pooljuhtide ja dielektrikute vahel on tinglik.

Nagu näeme, seletab kvantmehaanika ühtsest seisukohast kõigi ainete elektrilisi omadusi.

#### Vabade elektronide jaotus metallis

Valentselektrone metallis võib suure täpsusega vaadelda vabade osakestena – seda loomulikult metalli sees (täpsemini – nad liiguvalt vore perioodilises väljas). Järelkult kehtib nende jaoks vabade osakeste olekute tihedus (610) (olekute arv ühikulise energiavahemiku kohta):

$$g(E) = \frac{4\pi V}{h^3} (2m)^{3/2} \sqrt{E}, \quad (645)$$

kus  $m$  on elektroni mass;

$V$  – kristalli ruumala.

Metallis kaitub elektrongaas kuni väga kõrgete temperatuurideni mandunud gaasina. Järelkult alluvad vabad elektronid metallis Fermi-Diraci statistikale. Fermi-Diraci jaotusfunktsioon (osakeste arv antud olekus):

$$f_F(E) = \frac{1}{e^{\frac{E-E_F}{kT}} + 1}, \quad (646)$$

kus  $E_F$  on süsteemi iseloomustav parameeter, nn. Fermi energia e. Fermi tase.

Meenutame, et energiatasemele E vastab kaks olekut (spinni 2 orientatsiooni). Seega keskmise elektronide arv tasemel energiaga E võrdub  $2f_E$ .

Täielik statistiline jaotusfunktsioon (elektronide arv ühikulises energiavahemikus):

$$N(E) = f_F(E)g(E). \quad (647)$$

Vaatame esmalt elektronide jaotust  $T = 0$  juures. Nagu eespool selgitasime, on üheivalentse metalli korral täidetud alumine pool valentatsoonist ( $N/2$  alumist taset). (646) põhjal: kui  $E < E_F$ , siis  $f_F(E) = 1$ ; kui  $E > E_F$ , siis  $f_F(E) = 0$ . Seega on  $T = 0$  juures täidetud kõik tasemed energiaga  $E < E_F$ , tasemed energiaga  $E > E_F$  on vabad. Funktsiooni  $f_F(E)$  graafik  $T = 0$  juures kujutab endast energiateljega paralleelset sirget ( $f_F=1$ ), mis  $E = E_F$  korral langeb hõppeliselt nullini.

Leiame  $E_F$  vaartuse. Kuna kõigi täidetud olekute jaotus  $f_F = 1$ , siis  $N(E)=g(E)$ .

Integraal

$$\int_0^{E_F} N(E)dE = \int_0^{E_F} g(E)dE = N, \quad (648)$$

s.t. annab vabade elektronide koguarvu.

$$\int_0^{E_F} g(E)dE = \frac{4\pi V}{h^3} (2m)^{3/2} \int_0^{E_F} \sqrt{E} dE = \frac{2}{3} \frac{4\pi V}{h^3} (2m)^{3/2} E_F^{3/2}.$$

Seega

$$N = \frac{8\pi V}{3h^3} (2m)^{3/2} E_F^{3/2}. \quad (649)$$

$\frac{N}{V} = n$  on vabade elektronide arv ruumalaühikus e. kontsent-

ratsioon. (649)-st:

$$E_F = \frac{\hbar^2}{2m} \left( \frac{3n}{8\pi} \right)^{2/3}. \quad (650)$$

Seega on Fermi energia määratud vabade elektronide kontsentratsiooniga. Metallides  $n \approx 5 \cdot 10^{28}$   $\frac{1}{m^3}$  ja  $E_F \approx 5$  eV.

Teades elektronide jaotust energiate järgi (olekute tihedust), võib määrata vaba elektroni keskmise energia. Saame:  $E = \frac{3}{5} E_F \approx 3$  eV.  $E \neq \frac{1}{2} E_F$ , kuna tasemete tihedus kasvab  $E$  kasvades.

Energia nullnivoooks võtsime integreerimisel valentssooni põhja (kõige alumise taseme) energia. See on ühtlasi valentstsooni elektronide potentsiaalne energia. Seega vaheldav energia on elektronide kuligliikumise kineetiline energia. See on puhtkvantmehaanilise iseloomuga energia, mis tekib elektronide kui fermionide spetsiifiliste omaduste tõttu. See on väga suur energia. Et anda klassikalisele elektroongaasile (kui üheaatomilisele gaasile) sellist energiat ( $\frac{3}{2} kT$ ), peaks temperatuur olema  $\sim 10^4$  K.

Vaatame, kuidas muutub elektronide jaotus energiate järgi, kui  $T \neq 0$ . Kõigepealt:  $E_F$  sõltub temperatuurist nõrgalt, nii et esimeses lähenuses võime lugeda  $E_F = \text{const}$  (tegelikult veidi väheneb temperatuuri tõusul). Temperatuuri tõustes hakkavad elektronid üle minema kõrgematele vabadele tasemetele. Kuid temperatuuridel, mille juures  $kT \ll E_F$  ( $T \ll \sim 10^4$  K) võivad kõrgematele tasemetele üle minna ainult väga vähesed elektronid – need, mis paiknevad  $E_F$  lähedastel tasemetel. Seetõttu muutub kõvera  $f_F(E)$  kõik temperatuuri tõustes vähe, röhuv osa elektrone jäab samadele tasemetele, kus nad olid  $T = 0$  juures ( $f_F = 1$ ), ainult hüppeline langus kõvera "saba" juures asendub sujuvamaga. Seejuures, mida kõrgem on temperatuur, seda lamedam on kõvera "saba". Röhuv osa elektrone, mis asuvad sügavamatel tasemetel, ei saa üle minna vabadele tasemetele, kuna soojsliikumise energiast selleks lihtsalt ei piisa. Elektrongaas jäab mandunud olekusse.

Kui  $T \neq 0$ , siis  $E = E_F$  korral  $f_F(E) = \frac{1}{2}$ . Seega: kui  
 $T \neq 0$ , siis  $E_F$  on niisuguse taseme energia, mille tātumise  
tõenäosus on  $\frac{1}{2}$ , ajaliselt keskmiselt asub seal üks elekt-  
ron.

Nüüd saab selgeks ka see, miks elektrongaas ei suurenda metalli soojsmahtuvust. Soojusliikumise keskmise energiatavalistel temperatuuridel  $\frac{2}{3}kT \approx 0,03$  eV. Sellist energiat võivad juurde saada ainult Fermi taseme lähedastel tasemetel asuvad elektronid. Rõhuv osa elektrone jääb samasse olekusse kui  $T = 0$  juures, energiat juurde võtta nad ei saa, kuna kõrgemal pole vabu tasemeid. Seega elektrongaas praktiliselt ei suurenda metalli soojsmahtuvust, elektrongaasi soojsmahtuvus on ligikaudu 0. Ainult väga madalatel temperatuuridel (kui vore soojsmahtuvus on samuti väike) annab elektrongaas arvestatava panuse metalli soojsmahtuvusesse.

Kõigil temperatuuridel, mille korral  $kT \ll E_F$ , jääb elektrongaas mandunud olekusse. Mandumine kaoks, kui  $kT > E_F$ , kuid sellistel temperatuuridel pole ükski metall enam kristall.

Temperatuuri, mida arvutatakse tingimustest  $kT_F = E_F$ , nimetatakse Fermi temperatuuriks:

$$T_F = \frac{E_F}{k}. \quad (651)$$

### Metallide elektrijuhtivus

Klassikalises elektroniteoorias saime metallide erijuhtivuse jaoks avaldise

$$\sigma = \frac{1}{2} \frac{n e^2 \bar{\lambda}}{m v}, \quad (652)$$

kus  $n$  on vabade elektronide kontsentratsioon;

- $\bar{\lambda}$  - keskmise vaba tee, elektroni tee põrkest põrkeni iconiga;
- $v$  - soojusliikumise keskmise kiirus.

Peaaegu analoogne tuletuskaik annab kvantmehaanikas

peaaegu sama avaldise (puudub ainult kordaja 1/2). Kuid suuruste tõlgendus on hoopis erinev.

Esmalt - nagu eespool nägime, ei saa juhtivusest osa votta kaugeltki kõik valentstsooni elektronid, vaid ainult Fermi taseme lähedastel tasemetel olevad elektronid. Sestõttu tuleb n asemel votta nende vabade elektronide kontsentratsioon  $n_F$ , mis asuvad Fermi taseme lähedastel tasemetel. Just need elektronid on metallis voolukandjateks. Samal põhjusel tuleb soojsliikumise keskmise kiiruse  $\bar{v}$  asemel votta  $v_F$ , mis on leitud tingimusest  $\frac{mv_F^2}{2} = E_F$ .

$$v_F = \sqrt{\frac{2E_F}{m}}. \quad (653)$$

Kuna  $E_F$  praktiliselt temperatuurist ei sõltu, siis ei sõltu ka  $v_F (\bar{v} \sim \sqrt{T})$ .

Edasi - elektronide põrgete asemel ioonidega tuleb vadata elektronlainete hajutamist soojsvõnkumisi sooritavatelt aatomiteelt (ionidelt) e. foononiteelt. Iga aatom võngub tasakaalusendi ümber, jaades seejuures niisuguse kera piiridesse, mille raadius võrdub võnkeamplituudiga. Sellise kera ristlõige  $S = \pi a^2$ . Kui elektron satub sellisele kettale, siis muutub tema liikumise suund. Elektroni kettale sattumise tõenäosus on võrdeline ketta pindalaga, vaba tee pikkus aga sellega põordvõrdeline:  $\lambda \sim \frac{1}{a^2}$ . Võnkumise energia  $E \sim a^2$ . Teisest küljest - soojsvõnkumise energia kõrgetel temperatuuridel (esialgu vaatleme neid)  $E \sim T$ . Seega kõrgetel temperatuuridel  $\lambda \sim \frac{1}{T}$ . Ühtlasi on aatomite võnkumise intensiivsus kõrgetel temperatuuridel nii suur, et juba ühel hajutamisel katab elektron oma suunatud liikumise. Seega on  $\lambda$  elektroni teepikkus ühest hajutavast aatomist teiseni.

Lõpuks tuleb elektroni massi asemel votta nn. efektiivne mass  $m_{ef}$  (sellest mõistest tuleb juttu hiljem). Tegelikult kõll Fermi taseme lähedaste tasemetele elektronide efektiivne mass metallis ei erine oluliselt elektroni tegelikust massist.

Seega

$$\sigma = \frac{n_F e^2 \lambda}{m_{ef} v_F}. \quad (654)$$

Kõrgetel temperatuuridel sõltub temperatuurist ainult  $\lambda$ , seetõttu  $\sigma \sim \frac{1}{T}$  ning  $\rho = \frac{1}{\sigma} \sim T$ , mis on heas kooskõlas katsetega.

Peale võre soojsvõnkumiste hajutavad elektrone intensiivselt mitmesugused võre defektid ja lisandid (teist liiki aatomid võres). Seetõttu sõltub metalli takistus tugevasti tema puhtusest. Madalamatel temperatuuridel võre soojsvõnkumiste osatähtsus järjest väheneb ja otsustavat osa hakkab etendama just hajutamine lisanditel. See aga enam temperatuurist ei sõltu ja seega ka takistus madalamatel temperatuuridel oluliselt temperatuurist ei sõltu.

Vaatleme metallide juhtivust veel veidi teisest aspektist. Erijuhtivuse avaldis laengute (voolukandjate) liikuvuse kaudu:

$$\sigma = en_F b, \quad (655)$$

kus  $b$  on voolukandjate liikuvus.

$$b = \frac{e\lambda}{mv_F}. \quad (656)$$

Seega on elekrijuhtivus määratud kahe faktoriga: voolukandjate kontsentratsiooni ja liikuvusega. Metallis kaitub elektroongaas kui mandunud gaas ja seetõttu voolukandjate kontsentratsioon oluliselt temperatuurist ei olene, temperatuurist oleneb just voolukandjate liikuvus.

### Ülijuhtivus

Meenutame, et ülijuhtivuse nähtus seisneb selles, et mõningate metallide ning sulamite takistus temperatuuri absoluutse nulli läheduses langeb hüppeliselt ja muutub kaduvvääks. Temperatuuri, mille juures aine muutub ülijuhtivaks, nimetatakse kriitiliseks temperatuuriks. Erinevatel ainetel  $T_k \approx 0,01 \dots 20$  K.

Ohmi seadusest (diferentsiaalkujul):  $j = \sigma \mathcal{E}$   $j = \frac{1}{\rho} \mathcal{E}$ ;  $\rho = \frac{\mathcal{E}}{j}$ . Kui  $\rho = 0$ , siis väljatugevus  $\mathcal{E} = 0$ , s.t. vool on juhtmes olemas ka elektrivälja puudumisel. Kord tekitatud vool püsib kontuuris praktiliselt lõpmata kaua.

Ülijuhtivuse olekus kaob ka magnetvälvi ülijuhi sees. Väline väli ei suuda tungida ülijuhi sisse. Formaalselt võib öelda, et ülijuhi magnetiline läbitavus  $\mu = 0$ . Meenutame, et  $\mu < 1$  diamagneetikutel. Seega ülijuht on ideaalne diamagneetik.

Küllalt tugeva välise magnetvälja abil võib ülijuhtivuse kaotada. Seda magnetilise induktsiooni minimaalset värtust, mis kaotab ülijuhtivuse, nimetame kriitiliseks.  $B_k = f(T)$ ; see funktsioon on monotoonselt kahanev funktsioon, ta muutub nulliks argumendi värtusel  $T = T_k$ .

Samuti kaob ülijuhtivus teatava voolutugevuse (mida jälle nimetatakse kriitiliseks)  $I_k$  juures. Funktsiooni  $I_k = f(T)$  kaik on analoogne funktsiooni  $B_k = f(T)$  käiguga.

Ülijuhtivus on teine nähtus (kõrvuti ülivoolavusega), mille korral kvantmehaanilised efektid ilmnevad makromastabis.

Ülijuhtivuse põhjendamisel on oluline osa seotud elektronide paaride, nn. Cooperi paaride moodustumisel. Selgitame nende tekkemehanismi. Vaba elektron, liikudes positiivsete ioonide ruumvõres, tömbab neid enda poole, deformeerib ruumvõret, tekitudes sellega oma teel positiivse laengu lokaalse ülejaägi, mis liigub koos elektroniga. Selle positiivse laengu poole tömbub teine elektron. Seega lisaks kuloonilisele tõukejõule tekib elektronide vahel tömbejõud. See võib tekkida ainult kristallivõre vahendusel. Arvutused näitavad, et see tömbejõud on kõige tugevam, kui elektronide impulsid (kiirused) ja spinnid on vastassuunalised.

Sama nähtust kvantmehaanika "keeles" võib vaadelda kui võre ergastuse kvantide - foononite - vahetust elektronide vahel. Elektron liikudes kristallivõres, rikub võre võnkumiste režiimi - tekib foononeid. See ergastusenergia antakse

teisele elektronile, mis neelab selle. Niisuguse foononite vahetuse tulemusena tekibki elektronide vahel tõmbejõud. Kui see tõmbejõud osutub suuremaks elektronide vahelisest kulloonilisest tõukejõust, moodustubki Cooperi paar. Energeetiliselt on see "kasulik".

Niisugust paari ei saa vaadelda kui kahte ühtekleepunud elektroni. Elektronide vahemaa paaris  $L \approx 10^{-4}$  cm, s.t. on 4 suurusjärku suurem aatomitevahelisest kaugusest võres. Seejuures need paarid vahetavad kogu aeg elektrone, elektron lahkub paarist ja moodustab paari teise elektroniga. Ruumalas  $L^3$  paikneb  $\sim 10^6$  niisugust paari. Seetõttu ei saa neid paare vaadata isoleeritult e. kvantmehaanika keeles - tekib kõigi paaride laine funktsioonide kolossaalne kattumine, mistõttu kõigi paaride elektronid osutuvad omavahel seotuteks.

Seega paaride moodustumine on kollektiivne efekt. Niisugune paar ei moodustu kahest isoleeritud elektronist. Paaride moodustumisest võtavad osa nii elektronid kui kristallivõre.

Paaride moodustumisest ei võta osa mitte kõik vabad elektronid. Kuna see protsess on seotud elektronide energia muutumisega, siis võivad sellest osa võtta ainult Fermi tase- me lähedastel tasemetel asuvad elektronid (ainult nende energia võib muutuda). Arvutus näitab, et selliste elektronide arv on  $\sim \frac{1}{10^4} = 10^{-4}$  vabade elektronide koguarvust.

Kuna Cooperi paaris on elektronide spinnid vastassuu-nalised, siis paari kui terviku spinn on 0. Seega niisugune paar on boson. Bosonid on madalal temperatuuril ergeetiliselt peamiselt põhiolekus, millest neid on suhteliselt raske viia ergastatua olekusse. Seetõttu Cooperi paarid, mis on saanud suunatud liikumise, püsivad selles olekus kuitahes kaua. Niisugune suunatud liikumine ongi ülijuhtivus.

Püüame asja lähemalt selgitada ergeetilisest seisuko-hast. Paaride moodustumine muundab elektronide energiaspektrit. Paari moodustumisel elektronide energia väheneb seose-energia  $E_s$  võrra. Paari lõhkumiseks on vaja energiat. See energia  $E_s$  on ühtlasi minimaalne energia, mida paar saab

väljaspoolt juurde võtta. Kuna foononite kontsentratsioon ja energia madalal temperatuuril on väike, siis foononite energiast ei piisa paaride lõhkumiseks. Paarid ei saa foononitelt e. kristallivõre võnkumistelt energiat juurde võtta. See aga tähendabki, et võre ei osuta paaride liikumisele mingit takistust.

Temperatuuri tõusuga ilmuvad foononid, mis võivad elektronidele anda paari lõhkumiseks piisavat energiat. Kuna foononite energia ja kontsentratsioon temperatuuri tõusuaga kasvavad, siis lõhutakse järgest rohkem paare. Kriitilisel temperatuuril  $T_k$  paarid kaovad ja ülijuhtivus kaob.

Lõpuks - katseliselt on kindlaks tehtud, et ülijuhtivuse korral on voolukandjate laeng  $2e$ .

### Josephsoni efekt

Efekt seisneb selles, et kui kahe ülijuhi vahel pole väljatada üliõhuke ( $\sim 1$  nm) dielektriku kiht ja ülijuhtidele rakendada pingे, siis dielektrikut läbib vool. Niisugust dielektriku kihti nimetatakse Josephsoni üleminekuks (siirdeks).

Kui ülijuhtidele rakendatud alalispinge on kõllalt väike, on vool samuti väike. Sel juhul läbib kontakti alalisoool ja pingelang dielektrikul  $U = 0$ . Seega dielektriku kiht muutub samuti ülijuhiks. Nähtus on seletatav kui tunneliefekt.

Elektronid - Cooperi paarid - läbivad "keelatud" piirkonna. Kirjeldatud nähtus on statsionaarne Josephsoni efekt.

Kui vool läbi siirde ületab teatava, kriitilise väärustuse, siis tekib dielektriku aärtel pinge ja vool muutub vahelduvaks, ühtlasi hakkab kontakt kiirgama elektromagnetlaineid. Niisugust nähtust nimetatakse mittestatsionaarseks Josephsoni efektiks. Kiirguse sagedus

$$\omega = \frac{2e}{\hbar} U, \quad (657)$$

kus  $U$  on pinge dielektriku aärtel (see on alalispinge);

$2e$  – Cooperi paari laeng.

Ühtlasi laseb kontakt läbi ka niisuguse sagedusega va-

helduvvooda, mida võib vaadata omalaadse resonantsi nähtuseks.

Josephsoni efekti kasutatakse kõrgsagedusliku elektromagnetkiirguse tekitamiseks ja mõningates ülitäpsetes mõõtmistest.

### Metallide kontakt

Esimeses lähenuses võime vabu elektrone metallis vaadelda ristikülikukujulises potentsiaali augus asuvatena. Vaba elektroni potentsiaalne energia metallis on määratud selle potentsiaali augu põhjaga (valentstsooni põhjaga). Seejuures on potentsiaalse energiavallnivoooks metallist väljaspool asuva elektroni potentsiaalne energia. Metalli sees (potentsiaali augus) asuva elektroni potentsiaalne energia on alati negatiivne.

Kui seni rääkisime valentstsooni elektroni energiast ja Fermi energiast, siis oli see kineetiline energia. Selle energiavõõtmisel on nullnivoooks valentstsooni põni.

Meenutame, et valentstsooni tasemed on keskmisel täidetud Fermi taseme (Fermi tasemel asub keskmiselt üks elektron, tema täituvuse tõenäosus on  $1/2$ ).

Seoses sellega tuleks täpsustada elektroni väljumistöö mõistet. Väljumistöö all mõistame minimaalset energiat, mida tuleb juurde anda Fermi tasemel olevale elektronile, et teda metallist välja viia. Väljumistöö

$$A = |E| = |E_p + E_F| = |E_p| - E_F, \quad (658)$$

kus  $E$  on Fermi tasemel oleva elektroni koguenergia ( $E < 0$ );

$E_p$  – elektroni potentsiaalne energia valentstsoonis ( $E_p < 0$ );

$E_F$  – Fermi energia ( $E_F > 0$ ).

Vaatleme kahte metalli. Eeldame, et Fermi tasemel asuva elektroni koguenergia esimeses metallis on suurem kui teises  $E_1 > E_2$  ( $A_1 < A_2$ ). Kui viia niisugused metallid kontakti, hakkavad elektronid vastavalt energia miinimumi printsibille esimesest metallist teise üle minema. Vabu tasemeid on

seal piisavalt. Selle ülemineku tõttu laadub esimene metall positiivselt, teine - negatiivselt (esimene mandab positiivse potentsiaali, teine negatiivse). Positiivse potentsiaali juures elektroni kui negatiivse laengu potentsiaalne energia tõenägi, s.t. kõik energiatasemed energiadiagrammil laskuvad allapoolle. Teises metallis vastupidi - elektronide energianivood tõusevad ülespoole. Teisest küljest: kontakti konas tekib elektrotriväli, mis hakkab takistama elektronide edasist üleminekut. See väli on seda tugevam, mida rohkem elektrone on üle läinud. Tasakaal saabub siis, kui Fermi tasemel olevate elektronide koguenergia kummaski metallis saab võrdseks ehk teisiti - kui Fermi tasemed mõlemas metallis üntlustuvad (nullnivoo subtes, milleks on metallist eemalgunud vaba elektroni potentsiaalne energia).

Elektronide üleminekute tõttu tekib metallide vahel nn. kontaktpotentsiaalide vaheline  $\varphi_1 - \varphi_2$ . Tasakaalu korral peab kontaktpotentsiaalide vahest tingitud elektronide energiate erinevus võrduma elektronide potentsiaalsete energiate erinevusega:

$$e(\varphi_1 - \varphi_2) = E_{p_2} - E_{p_1} = E_{F_1} - E_{F_2},$$

kust

$$\varphi_1 - \varphi_2 = \frac{E_{F_1} - E_{F_2}}{e}. \quad (659)$$

See on nn. sisemine potentsiaalide vaheline.

Kui moodustada ahel mitmest erinevast metallist, siis kontaktpotentsiaalide vaheline ahela otstel on samasugune kui särmitiste metallide vahetul kokkupuutel. Kui moodustada mitmest metallist suletud ahel, siis kontaktpotentsiaalide vahede algebraline summa kogu ahelas on null e. kogu ahela elekromotoorjõud on null.

#### Pooljuhid. Omajuhtivus

Pooljuhid moodustavad elektrijuhtivuse poolest vahapealse klassi metallide ja dielektrikute vahel. Kuid nende

jaoks pole iseloomulik mitte juhtivuse väärtus, vaid see, et nende juhtivus kasvab temperatuuri tõusuga (vastupidi metallidele). Nagu eespool nägime, on pooljuhtidel 0 K juures valentstsoon täielikult täidetud, vaba tsoon aga tühi. Keelutsooni laius pole suur (alla 1 eV).

Pooljuhtide korral eristatakse nn. omajuhtivust ja lisandjuhtivust. Ainult omajuhtivus esineb keemiliselt puhasel defektivaba võrega kristallidel. Nimetame neid edaspidi puhasteks pooljuhtideks.

Temperatuuril 0 K on puhas pooljuht absoluutne isolator. Temperatuuri tõusul ületavad aga mõningad elektronid soojsliikumise energi arvel keelutsooni ja lähevad valentstsoonist vabasse tsoonni, kus nad võivad elektrivälja mõjul minna vabadele kõrgematele tasemetele. Vaba tsoon muutub juhtivustsooniks. Seega juhtivustsoonis on mõningane arv voolukandjaid - elektrone, mis täidavad juhtivustsooni põhja lähedasi tasemeid. Samal ajal valentstsooni ülemistel tasemetel vabaneb sama arv kohti. Sellist elektroniga mitte-täidetud kohta valentstsoonis (mis absoluutse 0 juures on täielikult täidetud) nimetatakse auguks. Auk (nagu foonongi) on kvaasisosake.

Selline elektronide jaotus pooljuhis on määratud Fermi funktsiooni  $f_F(E)$  käiguga. Arvutused näitavad, et Fermi tase  $E_F$  asub puhastes pooljuhtides peaaegu täpselt (0 K juures täpselt) keelutsooni keskel. Meenutame, et  $f_F(E)$  määrab osakeste arvu tasemel ( $n = 2f_F(E)$ ). Seejuures Fermi funktsioon "ei tea", kas antud kohal tase on olemas või mitte. Keelutsoonis  $E = E_F$  juures muidugi lubatud energiataset pole.

Tavalistel temperatuuridel on rõhuva enamuse valentssoonide tasemetega jaoks  $f_F(E) = 1$ , mõningane langus algab valentstsoonide lae lähedal (sealt on mõningad elektronid lahku-nud),  $f_F(E)$  "saba" ulatub vabasse tsoonile (sinna on mõningad elektronid üle läinud), keelutsooni keskel (kus  $E = E_F$ )  $f_F(E) = 1/2$ . Seega juhtivustsoonide alumiste tasemetega jaoks  $E - E_F \approx \frac{E_g}{2}$  ( $E_g$  on keelutsooni laius). Nende tasemetega jaoks on  $f_F(E)$  väärtus väike.

Seetõttu võime

$$f_F(E) = \frac{1}{e^{\frac{E-E_F}{kT}} + 1} \approx e^{-\frac{E-E_F}{kT}} = e^{-\frac{E_g}{2kT}}. \quad (660)$$

Teisisiti: juhtivustsooni elektronide jaoks kehtib Boltzmanni jaotus. Nad käituvad mittemandunud gaasina, kuna vabade taseme arv on suur. Juhtivustsooni üle läinud elektronide arv on võrdeline  $f_F(E)$ -ga. Need elektronid (samuti, nagu kohe näeme, täpselt sama arv auke) on voolukandjateks. Juhtivuse sõltuvus temperatuurist on peaaegu täielikult määratud voolukandjate kontsentratsiooniga (liikuvus sõltub temperatuurist vähe). Kuna juhtivus on võrdeline voolukandjate kontsentratsiooniga, siis

$$\sigma = \sigma_0 e^{-\frac{E_g}{2kT}}. \quad (661)$$

Kui  $T \rightarrow \infty$ , siis  $\sigma \rightarrow \sigma_0$ . Juhtivus kasvab temperatuuri tõusu-  
ga. Seost (661) kasutatakse keelutsooni laiuse  $E_g$  eksperi-  
mentaalseks määramiseks.

Tüüpilisteks pooljuhtideks on perioodilisuse süsteemi neljanda rühma elemendid Ge, Si, Se, Te (samuti keemilised ühendid GaAs, InAs, InSb). Nad moodustavad nn. teemandi tüüpi vore, milles iga aatom on seotud kovalentsete sideme-  
tega nelja võrdsel kaugusel asuva naabriga. Sideme-elektronid ongi valentstsooni elektronid. Soojusliikumise energi  
mõjul võib elektron lähkuda sidemest ja muutuda vabaks elektroniks (üle minna vabasse tsooni). Elektroni poolt mahajaetud kohas kaob elektriline neutraalsus, selles kohas tekib laeng  $+e$ , moodustub auk. Sellele kohale võib minna elektron naabersidemelt jne. Tagajärjeks on, et auk võib hakata rändama kristallis samuti kui vaba elektron. Kui vaba elektron kohtub auguga, täidab ta tühja koha sidemes - elektron ja auk rekombineeruvad. Sel juhul lähevad

juhtivuse jaoks kaduma nii auk kui vaba elektron. Energia-diagrammil vastab rekombinatsioonile elektroni üleminek vabast tsoonist valentstsooni tühjale kohale.

Seega toimub pooljuhis samsaegselt pidevalt kaks vastupidist protsessi: elektronide ja aukude paariviisiline teke ja nende rekombinatsioon. Esimese protsessi töenäosus kasvab temperatuuri tõusuga, rekombinatsiooni töenäosus aga on võrdeline vabade elektronide ja aukude arvuga. Seetõttu vastab igale kindlale temperatuurile kindel tasakaaluline vabade elektronide ja aukude kontsentratsioon, mis muutub temperatuuriga seaduspärasuse (660) järgi.

Kui väljine elektriväli puudub, siis liiguavad elektronid ja augud kacotiliselt. Kui tekib väli, saavad nad suunatud liikumise. Elektronid kui negatiivsed laengud liiguavad vastupidi välja suunale, augud - välja suunas. Tekib vool. Märgatav omajuhtivus ilmneb ainult küllalt kõrgetel temperatuuridel.

Puhaste pooljuhtide takistuse sõltuvust temperatuurist kasutatakse temperatuuritundlike takistite - termotakistite e. termistoride valmistamisel. Viimaseid omakorda kasutatakse temperatuuri mõõtmiseks, optilise kiirguse registreerimiseks (bolomeetrid), mitmesugustes releedes ja pingestabilisaatorites.

### Elektroni efektiivne mass

#### Elektroni de Broglie lainepikkus

$$\lambda = \frac{2\pi\hbar}{p}, \quad (662)$$

kus  $p$  on impuls.

#### Lainearv

$$k = \frac{2\pi}{\lambda} = \frac{p}{\hbar},$$

kust

$$p = \hbar k. \quad (663)$$

Elektroni kiirus

$$v = \frac{p}{m} = \frac{\hbar}{m} k. \quad (664)$$

Vaba elektroni energia (kineetiline energia)

$$E = \frac{p^2}{2m} = \frac{\hbar^2}{2m} k^2. \quad (665)$$

Võtame viimasest tuletise  $k$  järgi:

$$\frac{dE}{dk} = \frac{\hbar^2}{m}$$

kust

$$k = \frac{m}{\hbar^2} \frac{dE}{dk}. \quad (666)$$

Paigutame saadud  $k$  väärtuse avaldistesse (663) ja (664):

$$p = \frac{m}{\hbar} \frac{dE}{dk}. \quad (667)$$

$$v = \frac{1}{\hbar} \frac{dE}{dk}. \quad (668)$$

Viimased avaldised jaavad õigeks mitte ainult vaba elektroni jaoks, vaid ka elektroni jaoks, mis liigub kristallivõre perioodilises väljas. Muidugi on seos  $E$  ja  $k$  vahel siis teistsugune kui avaldises (665). Impulsi nimetatakse sel juhul kvaasiimpulsiks.

Mõjugu elektronile välne jõud (näiteks väljajõud  $F = -eE$ ). Selle mõjul saab elektron kiirenduse:

$$a = \frac{dv}{dt} = \frac{1}{\hbar} \frac{d}{dt} \left( \frac{dE}{dk} \right) = \frac{1}{\hbar} \frac{d^2 E}{dk^2} \frac{dk}{dt}. \quad (669)$$

Aja  $dt$  välitel teeb jõud töö

$$dA = Fvdt = \frac{F}{\hbar} \frac{dk}{dk} dt.$$

See tõõ läheb elektroni energia suurendamiseks:  $dA = dE$ .

$$dE = \frac{F}{\hbar} \frac{dk}{dk} dt,$$

kust

$$\frac{dk}{dt} = \frac{F}{\hbar}$$

Paigutame viimase kiirenduse avaldisse (669). Saame:

$$a = \frac{1}{\hbar^2} \frac{d^2 E}{dk^2} F. \quad (670)$$

Võrdleme viimast Newtoni II seadusega:

$$a = \frac{F}{m}$$

Näeme, et välise jõu mõjul liigub elektron kristallivõre perioodilises väljas keskmiselt nii nagu liiguks vaba elektron, kui tema mass oleks

$$m_{ef} = \frac{\hbar^2}{d^2 E/dk^2}. \quad (671)$$

See ongi elektroni efektiivne mass kristallivõres.

Seega: elektroni efektiivne mass on elektroni selline mass, mida ta omaks, kui vaadelda tema liikumist võres kui vaba elektroni liikumist (tegelikult ta seda pole; talle mõjub peale välise jõu veel  $F_{krist}$ ).

Vaba elektroni jaoks

$$E = \frac{\hbar^2}{2m} k^2; \frac{dE}{dk} = \frac{\hbar^2}{m} k; \frac{d^2 E}{dk^2} = \frac{\hbar^2}{m} \quad \text{ja}$$

$m_{ef} = m$ , s.t. efektiivne mass ja tegelik mass langevad kokku.

Metallides võib valentselektrone küllalt suure täpsusega vaadelda vabadena. Seega seal  $m_{ef} \approx m$ .

Teisiti on asi pooljuhtides. Tsooni põhja lähedal  $m_{ef} \approx m$ . Edasi energia kasvades  $m_{ef}$  kasvab ja tsooni keskel  $m_{ef} \rightarrow \infty$ , s.t. niisugusele elektronile ei avalda välise väljaminekti mõju. Tsooni lae lähedal  $m_{ef} < 0$ , s.t. niisugune elektron omandab jõuga vastassuunalise kiirenduse.

Püüame elektroni niisugust kummalist käitumist seletada. Kristallivõres on elektronil nii kineetiline kui potentsiaalne energia. Välisjõudude töö võib minna nii ühe kui teise tõendamiseks:  $A = \Delta E_k + \Delta U$ . Sel juhul elektroni kiirus kasvab aeglasemalt kui vaba elektroni kiirus (kiirendus on väiksem) ning  $m_{ef} > m$ .

Kui kogu välisjõudude töö läheb ainult potentsiaalseks energiaks:  $A = \Delta U$ , siis elektroni kineetiline energia ja kiirus üldse ei kasva. Elektron käitub kui lõpmatu massiga osake,  $m_{ef} = \infty$ .

Lõpuks, kui potentsiaalseks energiaks läheb mitte ainult kogu välise jõu töö, vaid ka osa kineetilist energiat:  $A = \Delta E_k + \Delta U$  ( $\Delta E_k < 0$ ), siis elektroni kiirus väheneb, elektron aeglustub jõu toimel, s.t. ta käitub kui negatiivse massiga osake.

Kasutades efektiivse massi mõistet, võime augu kui kvaasiosakese tekke seletada järgmiselt. Pooljuhis tekitavad vakantsed, tühjad tasemed valentatsooni lae lähedal. Seal on elektroni  $m_{ef} < 0$ . Negatiivse laengu ja negatiivse massiga osakese kadumine on samaväärne positiivse laenguga  $+e$  ja positiivse massiga  $|m_{ef}|$  osakese tekkega.

### Lisandjuhtivus

Lisandite all mõistame nii teist liiki aatomeid kui ka mitmesuguseid kristallivõrede defekte - köike seda, mis muudab energiatasemeid. Tegelikult sisaldab kuitahes puhas

pooljuht alati teataval märal lisandeid. Sageli viakse neid sisse teadlikult.

Mäitena vaatame 4-valentse germaaniumi kristalli, milles mõningad aatomid on asendatud 5-valentse fosfori aatomitega. Kovalentseteks sidemeteks germaaniumi aatomitega piisab neljast elektronist, viies valentselektron osutub üleliigseks ja soojusliikumise tagajärjel ta eraldub kergeasti aatomist, moodustades vaba elektroni. Seejuures selle vaba elektroni tekkel ei purustata kovalentseid sidemeid, s.o. ei teki auku. Kuigi lisandi aatri juures tekib positiivne laeng, on see seotud lisandi aatomiga ja võres liikuda ei saa. Tänu sellele laengule võib lisandi aatom haarrata lähi- ma vaba elektroni, kuid seos sellega on ikkagi nõrk ja võib jälle katkeda võre soojusvõnkumiste tõttu. Seega 5-valentne lisand tekitab vaid ühte liiki voolukandjaid - elektrone. Sel juhul on tegemist elektronjuhtivusega. Elektronjuhtivusega pooljuhti nimetatakse n-tüüpi (n - negatiivne) pooljuhiks. Lisandeid, mis tekitavad elektronjuhtivust, nimetatakse doonoriteks.

Nagu mainitud, muudavad lisandid energiatasemeid. 5-valentne lisand on doonor, kui ta tekitab keelutsoonis lubatud taseme - doonortaseme - vaba tsooni põhja lähedal. Kui taa tase tekib valenttaooni lae lähedal, ei muuda ta märgatavalt kristalli elektrilisi omadusi. Sel juhul on viies valentselektron tugevasti seotud oma aatomiga. Tavaliselt paiknevad doonortasened mõne sajandiku e7 kaugusel vaba tsooni põhjast. Nihkub ta Fermi tase, tavalistel temperatuuridel paiknev see -tüüpi pooljuhia vaba tsooni põhja ja doonortaseme vahel. Temperatuuri tõusuga nihkub ta allapoole.

Kipa doonortase paiknevad vaba tsooni põhja lähedal, mida piisab välzesost-soojusliikumise energias, et elektron (5. valentselektron) vältiks doonortasestelt  $E_{\text{F}}$  mõõdu tõttu tsooni. See üleminek vastabki selle elektronri iraksumisole emaktori ja mautumisele vabade elektronideks. Vabasse tsooni üle läinud elektron muutub juhtivuselektroniks.

Järgmisse näitena vaatame 4-valentse rändi kristalli,

milles mõningad aatomid on asendatud 3-valentse boori aatomitega. Boori kolmest valentselektronist ei piisa kovalentsete sidemete teostamiseks nelja naaberaatomiga. Üks sideme-elektron jääb puudu. Tekib koht, mis võib haaraada elektron. Kui sellele kohale läheb sidemelektron naaber-aatomite juurest, tekib auk. Lisandi aatomi lähedal tekib negatiivne laeng, kuid see on seotud lisandi aatomiga ega või olla voolukandjaks. Seega tekitab selline lisand ainult ühte liiki voolukandjaid – auke. Sel juhul on tegemist aukjuhtivusega. Aukjuhtivusega pooljuhti nimetatakse p-tüüpi pooljuhiks. Lisandeid, mis tekitavad aukjuhtivust, nimeta takse aktseptoriteka.

Lisand on aktseptor, kui ta tekitab keelutsoonia lubatud taseme – aktseptortaseme – valentatsooni lae lähedal. Tavalistel temperatuuridel paikneb Fermi tase aktseptortaseme ja valentatsooni lae vahel. Temperatuuri tõusuga nihkub ta ülespoole.

Augu tekkimisele vastab energiadiagrammil elektroni üleminek valentatsoonist aktseptortasemele. Vastupidine üleminek vastab ühe seoseelektroni ärarebimisele lisandi aatomi juurest ja tema rekombineerumisele auguga.

Lisanditasemete põhimõtteline erinevus tsoonide tasemetest seisneb selles, et need on lokaalsed tasemed. Kui Pauli printsip tsoonide tasemete jooks kehtib kogu kristalli kohta tervikuna (igale tasemele võib minna elektron, mis asub mis tahes kohas), siis lisanditasemetele võivad minna vaid lisandi aatomi lähedal asuvad elektronid. Seetõttu võib ühesuguseid lisanditasemeid olla palju (nii palju, kui on lisandi aatomeid).

Temperatuuri tõusuga saavutab lisandvoolukandjate kontsentratsioon kiiresti küllastuse. See tähendab, et kõik doonortasemed on vabad, aktseptortasemed aga täidetud. Edasisel temperatuuri tõstmisel kasvab kiiresti omajuhtivus, mis on tingitud elektronide üleminekutest valentatsoonist vabasse tsooni. Seetõttu kõrgetel temperatuuridel seisneb juhtivus nii lisandjuhtivuses kui omajuhtivuses. Madalatel temperatuuridel on üleksalus lisandjuhtivus, kõrgetel – omajuhtivus.

Juhtivuse sõltuvus temperatuurist on kvalitatiivselt järgmine. Madalatel temperatuuridel kasvab juhtivus peamiselt lisandjuhtivuse kasvu tõttu. Seejärel saavutab lisandjuhtivus küllastuse, omajuhtivus on aga veel väike. Kuna voolukandjate liikuvus aga temperatuuri tõusuga langeb, siis juhtivus väheneb. Edasisel temperatuuri tõstmisel hakkab juhtivus järult kasvama tänu omajuhtivuse kasvule.

### p-n siire, Pooljuht-dioodid

Pooljuhtseadmete peamiseks elemendiks on nn. p-n siire. See kujutab endast õhukest kihti kahe erinevat tüüpi lisandjuhtivusega pooljuhi piirpinna lähedal.

Labi.piirkindi hakkavad p-alast n-alasse difundeeruma augud ja n-alast p-alasse elektronid, n-alas augud rekombineeruvad elektronidega, p-alas elektronid aukudega. Selletõttu siirde piirkond vaevestub voolukandjatest ja omandab suure elektrilise takistuse. Ühtlasi omandab p-ala negatiivse potentsiaali (aktseptorite läheduses jääb negatiivne laeng osaliselt kompenseerimata), n-ala aga positiivse potentsiaali (kompenseerimata jääb positiivne laeng doonorite läheduses). Tekib elektriline kaksikkiht - tõkkekiht. Tekkiv elektriväli takistab voolukandjate edasist difundeerumist ja siirdel tekib tasakaal.

Tekkiv elektriväli viib energiatasemete nihkumisele. p-alas nihkuvad kõik elektronide energiatasemed negatiivse potentsiaali tõttu ülespoole (negatiivse laengu energia negatiivse potentsiaaliga väljas kasvab), n-alas aga laskuvad positiivse potentsiaali tõttu allapoole. Tasakaal saabub jällegi (nagu kahe metalli kontakti korralgi) siis, kui Fermi tasemed mõlemas alas ühtlustuvad.

Elektroni potentsiaalse energi muutuse üleminekul ühest alast teise annab näiteks valentatsooni lae kāik (meenutame, et elektronide potentsiaalne energia tsoonis on ühesugune). Seega elektroni potentsiaalne energia üleminekul n-alast p-alasse tõuseb, elektroni üleminek on tökestatud potentsiaali barjaariga.

Aukude potentsiaalse energi kõver kaitub vastupidi.

Augu kui positiivse laengu energia kasvab n-alas ja väheneb p-alas. Järelikult on augu üleminek p-alast n-alasse samuti tõkestatud potentsiaali barjaariiga. Tõkkekihit ei juhi elektrit.

Potentsiaali barjaari kõrgust mõlemat liiki voolukandjate jaoks võib muuta välise pingestamisega. Kui anda p-alale positiivne potentsiaal ja n-alale negatiivne potentsiaal, siis barjäär väheneb, ühtlasi väheneb tõkkekihiri ruumiline ulatus. Siire hakkab juhtima. Sellist pinget nimetatakse pärisuunaliseks.

Vastassuunaline pinge tõstab barjaari mõlemat liiki voolukandjate jaoks, samuti suureneb tõkkekihiri ruumiline ulatus. Siire ei juhi. On olemas ainult nõrk vool, mis on tingitud nn. mittepõhilistest voolukandjatest (vähesed augud n-alas ja vähesed elektronid p-alas). Väga suure vastassuunalise pinge korral tekib elektriline läbilöök.

Pärisuunalise voolu jaoks kehtib seos:

$$I = I_s \left( e^{\frac{eU}{KT}} - 1 \right), \quad (672)$$

kus  $I_s$  on vastassuunaline kõllastusvool;

$U$  - välispinge ( $U > 0$  - pärisuunaline,  $U < 0$  - vastassuunaline).

Seega võib p-n siiret kasutada alaldina - dioodina. Pooljuhtdioodide puuduseks, vörreldes elektronlamp-dioodidega, on väikese vastassuunalise voolu olemasolu, eeliseks aga märgatavalt suurem võimsus.

### Sisemine fotoefekt

Elektronide üleminekud energiatasemete vahel pooljuhis võivad toimuda valguskandi toimel. Nähtava valguse kvandi energia ( $1,5 - 3$  eV) on piisav selleks, et elektroni üle viia valentstsoonist juhtivustsooni või valentstsoonist akt-septortasemele (p-tüüpi pooljuht) või doonortasemelt vabasse tsooni (n-tüüpi pooljuht). Kõik need üleminekud tekitavad täiendavaid voolukandjaid. Niisugust nähtust nimetatakse sisemiseks fotoefektiks. Selle tagajärjel suureneb pooljuhi elektrijuhtivus, mida sel juhul nimetatakse fotojuhtivuseks.

Sisemisel fotoefektil tugineb fototakistite tõõ. Valguse toimel tekivate voolukandjate arv on võrdeline valgusvooga. See võimaldab fototakisteid kasutada fotomeetrias.

### Ventiil-fotoefekt

p-n siirde piirkonnas tekib valguse toimel nn. ventiil-fotoefekt, mille tagajärjel siire muutub vooluallikaks.

Valguskvantide mõjul toimuvalt üleminekute tõttu valentstsoonist vabaase tsooni, mis toimuvad nii p-alas kui p-alas, tekivad mittepõhilised voolukandjad: elektronid p-alas ja augud n-alas (muidugi tekivad ka põhilised voolukandjad). Mittepõhilised voolukandjad läbivad takistamatult s罪ret. Seetõttu p-ala laadub positiivselt, n-ala negatiivselt. Tekib tõiendav potentsiaalide vahe pārisuunas. See ongi foto-elektrumotoorjõud. Üleminek muutub vooluallikaks. Mitmest jārjestikku ühendatud p-n siirdest võib moodustada pāikesepātarei.

### Luminestsentsi tehketes kehadest

Valgust kiirgavad tavaliselt kuumutatud kehad (soojuskiirgus).

Mõningad kehad võivad helenduda, kui neid kiiritada nähtava valgusega, ultraviolettkiirgusega, röntgenikiirgusega,  $\gamma$ -kiirgusega või kui neid pommitada elektronide jt. laetud osakestega, samuti keemiliste reaktsioonide mõjul. Seejuures võivad kehad väljaastada nähtavat valgust, kuigi nende temperatuur on madal. Niisugust külma helendust nimetataksegi luminestaentsiks, kehi, mis helenduvad - luminofoorideks.

Kui luminestsents tekib valguse toimel, on tegemist fotoluminestsentsiga. Allpool vaatlemegi ainult seda.

Erinevalt soojuskiirgusest on luminestsents mittetasa-kaaluline kiirgus. Luminestsentsi tähtsaks iseärasuseks on tema märgatav kestus pārast ergutuse lakkamist, mis on märksa suurem valgusalainete vōnkeperioodist ( $10^{-13} \dots 10^{-15}$  s). Lumineatsentskiirgus kestab vähemalt  $10^{-10}$  s pārast ergutuse lakkamist, sageli aga palju kauem (sekundid, minutid, tunnid või isegi kuud). Seega: lumineatsentsiks nimetatakse antud

temperatuuril soojuskiirgust ületavat kiirgust, mille kestus on märgatavalalt suurem kui ratavate lainete perioodist.

Sõltuvalt kestusest jaotatakse fotolumineatsentsai: 1) fluoresentsiks ( $< 10^{-6}$  s), 2) fosforestsentsiks ( $> 10^{-6}$  s)

Stokesi reegel: luminesentsentskiirguse lainepikkus on suurem teda ergutava kiirguse lainepikkusest.

Selle reegli kehtivus pole absoluutne. On võimalik ka nn. antistouksiline kiirgus, mille lainepikkus on lühem ergutava kiirguse lainepikkusest.

Luminesentsi ergeetiline saagis on luminesestseeruv keha poolt täielikul väljakiirgamisel väljastatava energia ja keha poolt luminesentsi ergutamisel neelatava energia suhe.

$$\eta = \frac{E}{E_0} \quad (673)$$

### Vavilovi seadus

Luminesentsi ergeetiline saagis kasvab võrdeliselt ergutava valguse lainepikkusega, seejärel, teatava lainepikkuse juures, langeb järsult nullini.

### Luminesentsi tekkemehanism tahketes kehades

Väga puhtad ja defektivabad kristallid ei luminesestsevu. Selleks et tekitada luminesentsi, on vaja vörres tekitada defekte või viia sinna lisandi aatomideid. Lisandeid nimutatakse aktivaatoriteks. Tavaliselt ei ületa aktivaatori kontsentratsioon kristallis mõnda sajandiku protsendi. Põhilistes kristallfosforides on põhiaineks ZnS, CdS, CaS jt., aktivaatoriteks aga metallid Ag, Cu, Bi, Mn jt.

Lisandi catomid tekitavad keelutsooni alumises osas lubatud energiased - lisanditasemed (valentstsoon on täidetud). Ergutava kvandi energia mõjul läheb elektron lisanditasemelt vobasse tsooni (aktivaatori aatom ioniseeritakse) ja ta muutub juhtivuselektroniks. See elektron rändab kristallis seni, kuni ta kohtub lisandi ioniciga ja rekombineerub sellega. Energiadiagrammil vastab sellele elektron

Üleminek vabast tsoonist lisanditasele, millega kaasneb fluoresentsentskiirgus. Kiurguse "hilinemine" on  $\sim 10^{-9}$  s. Seega helendus on lühiaegne ja kaob peaaegu kohe peale ergutava kiurguse katkemist.

Selleks et saada kestvat helendust - fosforestsentsi - peab luminofoor peale aktivaatori sisaldama veel nn. püüniseid e, lõkse, s.o. tasemeid, mis paiknevad keelutsoonis vaba tsooni põhja lähedal. Neid võivad tekitada samuti lisandid või mitmesugused võre defektid. Endiselt lähevad elektronid ergutava kiurguse mõjul esialgu aktivaatori tasemetelt vabasse tsooni, sealt aga peamiselt püünistesesse, kus nad kaotavad liikuvuse ja koos sellega võime rekombineeruda aktivaatori iooniga. Püünisest vabanemiseks peab elektron saama energia  $E_L$  ( $E_L$  võrdub vaba tsooni põhja ja püünisetasevahega). Selle energiaga võib elektron saada võre soojusvõnkumiselt - foononitelt. Püünises viibimise aeg

$$\tau \sim e^{\frac{E_L}{KT}}$$

Kui  $E_L$  on küllalt suur, võib ka  $\tau$  olla küllalt suur. Püünisest vabanenud elektron satub vabasse tsooni ja rändab kristallis seni, kuni jälle satub püünisesesse või rekombineerub aktivaatori iooniga. Viimasel juhul tekibki luminestsentskiirguse kvant.

Mitte kõigi elektronide üleminekutega madalamatele niivoodele ei kaasne valguskandi kiirgamine. Sagedamini tekkivad selle tagajärvel foononid. Kvantteooria seletab nii Stokesi reegli kui Vavilovi seaduse.

Stokesi reegel. Kristalli kiiritamisel läheb kvandi energia osaliselt aktivaatori atomite ergastamiseks, osaliselt - võre võnkumiste energiaks (siseenergiaka). Seetõttu on kiiritava kvandi energia suurem luminestsentskiirguse kvandi energiast ( $\varepsilon_o > \varepsilon$ ;  $h\nu_o > h\nu$ ;  $\lambda_o < \lambda$ ).

Kiiritava kvandi energia  $\varepsilon_o$  võib aga ka liituda rekombinatsioonil tekkiva kvandi energiaga. Sel juhul tekib kvant, mille energia on suurem kiiritava kvandi energiast.

See ongi antistouksiline luminestsents.

Vavilovi seadus. Vaatame lihtsamat juhust: iga kiirittav kvant  $h\nu_0$  kutsub esile ühe lumineestaentskiirguse kvandi  $h\nu$  tekke (nn. kvantsaagis võrdub ühega). Siis energeetiline saagia

$$\eta = \frac{h\nu}{h\nu_0} = \frac{\lambda_0}{\lambda}. \quad (674)$$

Seega  $\eta \sim \lambda_0$ . Kui  $\lambda_0 > \lambda$  ( $h\nu_0 < h\nu$ ), siis lumineestaentsi ei saa tekkida,  $\eta$  väheneb hõppeliselt ning muutub nulliks.

## T U U M A - J A E L E M E N T A A R O S A K E S T E F Ü Ű S I K A

### AATOMITUUMAD

#### Aatomituumade koostis

Aatomituumad koosnevad elementaarosakestest prootonitest (p) ja neutronitest (n). Nende ühianimetuseks on nuklon.

Esiarvu arvati, et tuumad koosnevad prootonitest ja elektronidest. Niisugune hüpotees seletas küll tuumade massi ja laengut, kuid oli vastuolus rea teiste faktidega, näiteks tuumade impulsimomendi ja magnetmomendi vaartustega. Samuti on elektroni viibimine tuumas vastuolus määramatuse relatsiooni ja relatiivsusteooriaga.

1932. a. töestasid Ivanenko ja Heisenberg, et tuumad koosnevad prootonitest ja neutronitest.

#### Prooton

Prooton on vesinikuatomi tuum. Tema mass  $m_p = 1,67265 \cdot 10^{-27}$  kg =  $1,007276 u^*$  =  $1836 m_e$  ( $m_e$  – elektroni mass).

---

\* u on sūsteemiväline ühik, aatommassi ühik;  $1u = 1,66057 \cdot 10^{-27}$  kg.

Prootoni laeng on  $+e$ . Prooton on fermion, tema spinnkvantarv  $s = 1/2$ . Omamagnetmoment (tema projektsioon)

$$\mu_p = 2,79 \mu_t, \quad (675)$$

kus  $\mu_t$  on nn. tuuma magneton.

$$\mu_t = \frac{e\hbar}{2m_p c} = 5,05 \frac{\text{erg}}{\text{Gs}}. \quad (676)$$

Meeutame, et elektroni omamagnetmoment (täpsemini - tema projektsioon) võrdub Bohri-magnetoniga. Avaldiste (675) ja (553) võrdlemisest selgub, et  $\mu_t = \frac{\mu_B}{1836}$ . Prootoni omamagnetmoment on  $\sim 660$  korda väiksem elektroni omamagnetmomendist.

Prooton on stabilne osake.

### Neutron

Elementaarosakese neutroni avastas Chadwick 1932. a. Neutroni mass  $m_n = 1,67495 \cdot 10^{-27} \text{ kg} = 1,008665 \text{ u} = 1839 m_e$ . Neutroni mass on veidi suurem prootoni massist,  $m_n - m_p \approx \approx 2,5 m_e$ . See erinevus pole suur, kuid tal on põhimõtteline tähtsus.

Neutron on elektriliselt neutraalne. Neutron on fermion, tema spinnkvantarv  $s = 1/2$ . Omamagnetmoment (projektsioon)

$$\mu_n = -1,91 \mu_t. \quad (677)$$

Minusmärk tähendab seda, et neutroni spinn ja omamagnetmoment on vastassuunalised.

Vaba neutron on mittestabiilne. Neutroni keskmise eluiga on  $\sim 10^3$  s. Ta laguneb prootoniks, elektroniks ja anti-neutriinoks.

### Tuuma mõõtmed ja mass

Jagu igasugusel kvantaüsteemil pole ka tuumal täpselt määratletud piiri. Katsed (elektronide ja nuklonite hajuta-

mine tuumadel) aga näitavad, et tuuma sisepiirkonnas on tuumaaine tihedus praktiliselt konstantne, piirkohas aga langeb tihedus sujuvalt nullini. Seetõttu loetakse tuuma raadiuseks kaugust tuuma keskpunkti ja selle punkti vahel, kus tuumaaine tihedus on vähnenenud kaks korda (võrreldes tihedusega keskpunktis).

Erievate tuumade raadiused muutuvad ligikaudu piirides  $2 \dots 10 \cdot 10^{-13}$  cm. Võrdluseks meenutame, et aatomite mõõmed on suurusjärgus  $10^{-8}$  cm.

Tuumade raadiused on kõllalt täpselt määratavad avaldisest:

$$r = r_0 \sqrt[3]{A}, \quad (678)$$

kus  $r_0 = 1,3 \dots 1,7 \cdot 10^{-13}$  cm;

$A$  - nn. massiarv - nuklonite arv tuumas.

Kuna aatommassiühikutes mõõdetud nukloni mass võrdub ligikaudu ühega, siis võrdub massiarv tuuma massiga, mõõdetuna aatommassiühikutes ja ümardatuna täisarvuks.

$$A = Z + N,$$

kus  $Z$  on prootonite arv,

$N$  - neutronite arv.

Avaldisest (678) järeltub, et tuuma ruumala on võrdeline massiarvuga.

Tuumaaaine tihedus on väga suur ( $\sim 2 \cdot 10^{14}$  g/cm<sup>3</sup>).

Tuumade tahistused. Prootonite ja neutronite arv tuumas

Tuumade tahistamiseks kasutatakse sümboleit

$$x_{Z}^A,$$

kus  $X$  on antud elemendi keemiline sümbool;

$Z$  - prootonite arv tuumas ehk tuuma laeng mõõdetuna elementaarlaengutes e ( $q = Ze$ ).

Looduses esinevad elemendid  $Z$  vaartusega 1 ... 92.

Puuduvad elemendid Tc ( $Z=43$ ) ja Pm ( $Z=61$ ). Pu ( $Z=94$ ) esineb

looduses tühises koguses.

Prootonite arvu kasvuga tuumas kasvab üldiselt ka neutronite arv. Seejuures kergete tuumade seas on ülekaalus sellised, millel  $A = 2Z$  (s.t.  $N=Z$ ) või  $A = 2Z+1$  või  $A = 2Z+2$ . Suurust  $A-2Z$  nimetatakse neutronite ülejaägika. A kasvades neutronite ülejaak kasvab. Näiteks tuumal  $U_{92}^{238}$   $A - 2Z = 54$ .

### Isotoobid

Isotoopideks nimetatakse tuumi, milles on ühesugune arv prootoneid ( $Z = \text{const}$ ), kuid erinev arv neutroneid.

Enamikul keemilistel elementidel on mitu isotoopi (näit.  $O_8^{16}$ ,  $O_8^{17}$ ,  $O_8^{18}$ ).

Kuna ühe ja sama keemilise elemendi isotoopidel on ühesugune tūuma laeng, siis on neil ka ühesugune elektronkate ja ühesugused keemilised omadused (tūum mõjutab elektroone peamiselt oma elektriväljaga). Isotoopide füüsikalised omadused võivad aga olla erinevad, näiteks isotoopidest  $K_{19}^{39}$ ,  $K_{19}^{40}$ ,  $K_{19}^{41}$  on ainult  $K_{19}^{40}$  radioaktiivne.

Looduses esinevad ühe ja sama elemendi erinevad isotoobid alati kindlas vahekorras ehk kindla kaaluga. Mendelejevi tabelis toodud elementide satomassaid kujutavad endast isotoopide satomasside keskmist, arvestades nende eainemissagedust looduses.

### Isobaarid

Isobaarideks nimetatakse ühesuguse massiarvuga ( $A = \text{const}$ ), kuid erineva prootonite ja neutronite arvuga tuumi, näiteks  $Ar_{18}^{40}$ ,  $Ca_{20}^{40}$ ,  $K_{19}^{40}$ .

### Isootoonid

Isootoonideks nimetatakse ühesuguse neutronite arvuga ( $N = \text{const}$ ), kuid erineva nuklonite ja prootonite arvuga tuumi, näiteks  $C_6^{13}$ ,  $H_7^{14}$ .

### Tuumade impulsimomendid ja magnetmomendid

Tuuma impulsimoment e. tuuma spinn moodustub nuklonite

spinnidest ning orbitaalsetest momentidest. Nukloni spinnkvantarv on  $1/2$ , orbitaalkvantarv aga täisarv. Seetõttu tuuma spinn võib olla nii täisarvuline kui poolearvuline. Tuuma spinn (tema projektsiooni maksimaalvaartus)

$$L_I = I\hbar, \quad (679)$$

kus  $I$  on tuuma spinnkvantarv. Stabiilsetel tuumadel põhiolukus  $I \leq 9/2$ .

$$I = 0, 1/2, 1, 3/2 \dots 9/2. \quad (680)$$

Kõigil tuumadel, mis sisaldavad paarisarvu nukloneid, on  $I$  täisarvuline (kui nii  $Z$  kui  $N$  on paarisarvuline, on  $I = 0$ ), tuumadel paaritu nuklonite arvuga on  $I$  poolearvuline.

Tuuma magnetmoment (projektsiooni maksimaalvaartus)

$$\mu = g \mu_t L_I, \quad (681)$$

kus  $g$  on nn. Lande faktor, mis erinevatel tuumadel on erinev. Suurusjärgult ei erine  $g$  palju ühest.

Elektronkatte ja tuuma magnetmomendi vastasmõju põhjustab aatomite spektraaljoonte ülipoent struktuuri.

### Tuumade seoseenergia

Tuuma mass on alati väiksem tema koostisosade – neutronite ja prootonite – masside summast (jutt on seisumassidest). Vahet

$$\Delta m = Zm_p + Nm_n - m \quad (682)$$

nimetatakse massidefektiks ( $m$  on tuuma mass). Massidefekt on tingitud sellest, et tuuma moodustamisel neutronitest ja protonitest vabaneb energiat. Seda energiat nimetatakse seoseenergiaks. Samasugust energiat on vaja tuuma lõhkumiseks koostisosadeks. Massi ja energia seose põhjal

$$E_s = \Delta mc^2. \quad (683)$$

Seoseenergia kasvab massiarvu  $A$  kasvades. Nuklonite seose tugevust tuumas ei iseloomusta aga kogu tuuma seoseenergia, vaid nn. erisseoseenergia, s.o. seoseenergia ühe nukloni kohta.

$$\varepsilon = \frac{E_s}{A}.$$
(684)

Erioseoseenergia sõltuvus massiarvust A on üldjoontes järgmine: väikeste A vaartuste korral  $\varepsilon$  kasvab järult, seejärel kasv aeglustub; sõltuvus omab maksimumi  $A \approx 56$  juures, järgneb aeglane langus. Tuumad massiarvuga 50 ... 60 on kõige stabiilaed ( $\varepsilon \approx 8,7$  MeV).

Erioseoseenergia niisugusel sõltuvusel tugineb tuuma-energia vabanemine. Tuumaenergiat vabaneb raskete tuumade jagunemisel kergemateks (jagunemise ahreaktsioon) ja kergeate tuumade ühinemisel raskemateks (termotuumareaktsioon).

Erioseoseenergia sõltuvus massiarvust pole sujuv. Esi-nevad "kohalikud" maksimumid. Nende asukond vastavad nn. maagilistele tuumadele. Need on tuumad, millel kas Z või N omavad värtust 2, 8, 20, 28, 50, 82, 126. Maagilised tuumad on kõige stabiilaed ja seetõttu universumis kõige enam levinud. Eriti stabiilsed on nn. kahekordset maagilised tuumad, millel nii Z kui N omavad ülaltoodud värtusi. Selliseid tuumi on ainult 5:  $\text{He}_2^4$ ,  $\text{O}_8^{16}$ ,  $\text{Ca}_{20}^{40}$ ,  $\text{Ca}_{20}^{48}$ ,  $\text{Pb}_{82}^{208}$ . Maagiliste tuumade stabiilsust seletab nn. tuuma kihiline mudel - tuum (nagu aatomgi) on eriti stabiilne, kui kiht (kate) on täidetud.

### Tuumajõud

Eriaooseenergia värtustest järeldub, et nuklonid on tuumas omavahel seotud väga tugevate tömbejõududega. Jõude, mis mõjuvad nuklonite vahel, nimetatakse tuumajõududeks. Need jõud hoiavad nukloneid tuumas koos väga väikestel kau-gustel, vaatamata prootonite elektrostaatilisele töökumise-le. Tuumajõud kuuluvad tugeva vastasmõju liiki. Tugev vas-tasmõju on kõige tugevam loodus. Ta ületab märgatavalt gra-vitatsioonilise ja elektromagnetilise vastasmõju.

Võrreldes teiste jõududega, on tuumajõududel rida ise-ärasusi.

1. Tuumajõud on äärmiselt lähimõjulised ja sõltuvad väga tugevasti kaugusest. Tuumajõud hakkavad mõjuma kaugus-

tel alla  $2 \cdot 10^{-13}$  cm, kaugustel alla  $1 \cdot 10^{-13}$  cm lähevad tõmbejoud üle tõukejoududeks.

2. Tuumajoud ei sõltu nuklonite elektrilaengust. Tuumajoud on ühesugused kõigi paaride p-p, p-n, n-n jaoks. Tuumajoudude niisugust omadust nimetatakse laenguliseks sõltumatuseks.

3. Tuumajoud sõltuvad vastasmõjus olevate nuklonite spinnide orientatsioonist. Mõju on tugevam, kui spinnid on pâriparalleelaed.

4. Tuumajoud on küllastuvad: antud nuklon võib olla vastasmõjus vaid piiratud arvu lähimate naabritega. See järeltub sellest, et alates  $\text{He}_2^4$ -st on eriseoseenergia ligikaudu konstantne. Kui kõik nuklonid tuumas oleksid omavahel seotud ühesuguste joududega, siis peaks eriseoseenergia nuklonite arvu suurenemisel kasvama.

#### Nuklonite vastasmõju, nuklonite ja tuuma vastasmõju

Kuigi nuklonite vahel mõjuvad tuumajoud on ühesugused, sõltub nuklonite vaheline mõju nende laengust. Prootonite kui laetud osakeste vahel mõjuvad lisaks tuumajoududele (tõmbejoududele) veel kuloonilised tõukejoudud. Seetõttu on kahe prootoni ühinemisel esmalt vaja ületada kuloonilistest tõukejoududest tingitud potentsiaali barjaär, sest kuloonilised joud mõjuvad märksa suurematel kaugustel kui tuumajoud. Selleks peab protonitel olema barjaäri ületamiseks piisav kineetiline energia. Alles pârast seda, kui protonid lähenevad teineteisele tuumajoudude mõjuraadiuse kaugusele, satuvad nad tuumajoududest tingitud potentsiaali auku. Öeldu kehtib täpselt samuti prootoni tungimise kohta tuuma.

Kahe neutroni, samuti neutroni ja protoni lähenemine teineteisele ning neutroni tungimine tuuma pole seotud nii suguse potentsiaali barjaäri ületamisega. Seetõttu võib näiteks neutron tungida vabalt tuuma. Tuumast väljumisel tuleb aga nii neutronil kui protonil ületada tuumajoudude potentsiaali barjaär.

### Tuumajõudude olemus

Kaasaja teooria kasitleb tuumajõude nn. vahetusjõudude. Nuklonite vastasmõju vahendajaks on tuumajõudude välj. Iga nuklon tekib enda ümber tuumajõudude välja, selles väljas teistele nuklonitele mõjuvad joud. Nii nagu elektromagnetilist välja võib kvantelektronidunaamika seisukohalt vaadata selle välja kvantide - footonite kogumina, võib ka tuumajõudude välja vaadata selle välja kvantide kogumina. Tuumajõudude välja kvantideks on nn.  $\pi$ -mesonid e. piionid ( $\pi^+$  ja  $\pi^-$ ) (Yukawa hüpotees, 1935). On olemas laetud piionid -  $\pi^0$  (laeng  $\pm e$ ) ja neutraalsed piionid -  $\pi^0$ . Piionite mass on  $\sim 270 m_e$ , nad on bosonid ( $s = 0$ ). Piionid on mittestabiilsed osakesed, laetud piioniteeluga on  $\sim 10^{-8}$  s, neutraalsetel  $\sim 10^{-16}$  s.

Tuumajõudude välja vaatleme kui piionite kogumit, s.t. nuklon on ümbritsetud piionite pilvega. Piionite pilve moodustumist võib vaadata kui piionite väljastamist nuklonite poolt. Klassikalise teooria seisukohalt on piioni väljastamine paigaloleva nukloni poolt võimatu. Selleks on vaja energiat vähemalt  $m_\pi c^2$ . Selline protsess saab võimalikuks tänu määratuse relatsioonile:

$$\Delta E \Delta t \geq h.$$

Selle seose põhjal ei ole võimalik energie jäavuse rikkumist  $\Delta E$  vörra lühema aja jooksul kui  $\Delta t$  võimalik avastada. Võttes  $\Delta E = m_\pi c^2$ , saame  $\tau_\pi = \frac{h}{m_\pi c} \approx 10^{-20}$  s. Kui piion selle aja välitel neelatakse teda väljastanud nukloni või mõne teise nukloni poolt, siis on niisugune protsess võimalik. Aja  $\tau_\pi$  jooksul võib piion eemalduda teda väljastanud nuklonist maksimaalselt kaugusele

$$\lambda_\pi = c \tau_\pi = \frac{h}{m_\pi c} \quad (685)$$

$\lambda_\pi$  on piioni Comptoni laine pikkus [vt. (467)].

Csakesi, mida väljastatakse või neelatakse energia

jaavuse seaduse nāiva rikkumisega, nimetatakse virtuaalseteks. Nende eksisteerimise ajal ei ole neid võimalik avastada.

Kvantteooria seletab tuumajõude virtuaalsete pionite vahetamisega, mida kiirgavad ja neelavad nuklonid. Niisugune vahetuslik iseloom on omane kõigile vastasmõjudele. Häiteks elektromagnetiline vastasmõju on seletatav virtuaalsete footonite vahetamisega laengute vahel.

Kui nuklonite läheduses pole teisi osakeisi, siis kõik nukloni poolt väljastatud pionid neelatakse sama nukloni poolt. Kahe nukloni lähenedisel teineteisele kuni nende pionpilvede osalise kattumiseni võib üks nuklon neelata teise nukloni poolt väljastatud pioneid. Selles seisnebki tuumajõudude vahetusiseloom. Avaldis (685) annab ühtlasi tuumajõudude mõjuraadiuse. Sama valemi abil võime arvutada ka elektromagnetjõudude mõjuraadiuse, asendades pioni seisumassi footoni seisumassiga. Kuna viimane on null, võib elektromagnetjõudude mõjuraadius olla piiramatu.

Virtuaalsete osakeste väljastamist ja neelamist nimetatakse samuti virtuaalseks protsessiks.

Virtuaalseteks protsessideks nuklonite ja pionite osavõtul võivad laengu jaavuse seadust arvestades olla järgmised:

$$p \not\geq n + \pi^+, \quad (686)$$

$$n \not\geq p + \pi^-, \quad (687)$$

$$p \not\geq p + \pi^0, \quad (688)$$

$$n \not\geq n + \pi^0. \quad (689)$$

Nooled osutavad sellele, et protsessid võivad toimuda mõlemas suunas. Protsessi (686) tõttu erineb prootoni magnetmoment tuuma magnetonist. See on tingitud  $\pi^+$  mesoni orbitaalliiumisest selle ajavahemiku jooksul, millal prooton viibib virtuaalsetes olekus ( $n + \pi^+$ ). Vastavalt protsesstile (687) viibib neutron osa ajast virtuaalsetes olekus ( $p + \pi^-$ ).  $\pi^-$  mesoni orbitaalliiumine tekitab neutroni magnetmomendi, mis on vastassuunaline prootoni magnetmomendiga.

Kui nuklon saab vähemalt piioni seisuerigiaga võrdse energia, võib virtuaalne piion jäädavalt lahkuda piionipilvest ja muutuda reaalseks piioniks. See võib toimuda suure energiaga nuklonite põrkel, näiteks



## LOODUSLIK RADIOAKTIIVSUS

### Radioaktiivne kiirgus

Radioaktiivsus on tuumade spontaanne lagunemine, millega kaasneb osakeste või tuumade kiirgumine, nn. radioaktiivne kiirgus. Radioaktiivsel lagunemisel muundub ühe keemilise elemendi isotoop teise elemendi isotoobiks.

Looduslikes tingimustes eksisteerivate tuumade radioaktiivsust nimetatakse looduslikuks radioaktiivsuseks. Tuumareaktsioonide abil saadud tuumade radioaktiivsust nimetatakse kunstlikuks radioaktiivsuseks. Põhimõttelist erinevust nende radioaktiivsuse liikide vahel pole, mõlemad alluvad samadele seaduspärasustele. Loodusliku radioaktiivsuse avastas Becquerel 1896. a. Looduslike ainete radioaktiivne kiirgus jaguneb: 1)  $\alpha$ -kiirgus, 2)  $\beta$ -kiirgus, 3)  $\gamma$ -kiirgus.  $\alpha$ -osakesed on  $He_2^4$  tuumad,  $\beta$ -osakesed - elektronid,  $\gamma$ -osakesed - lühilainelise elektromagnetkiirguse kvandid.

### Radioaktiivse nihke seadus

Radioaktiivse nihke seadus määrab, millise muundumise teeb tuum läbi radioaktiivsel lagunemisel.

$\alpha$  - lagunemise korral



kus X on laguneva tauma (ematuuma) keemiline sümbool,

Y - tekkiva tuuma (tütartuuma) sümbool.

Valemiga (690) esitatud lagunemise skeem arvestab massi (ligikaudselt) ja laengu jäavuse seadust: lagunemisproduktide massiarvude summa (ülemised indeksid) võrdub ematuuma massiarvuga; lagunemisproduktide laengute summa (alumised in-

deksid) võrdub ematuuma laenguga.

$\beta$ -lagunemine:



kus  $e$  on elektron. Elektroni massiarv on 0.

$\gamma$ -kiirguse sel tuum ei muundu. Samuti ei esine  $\gamma$ -kiirgus iseseisva kiirguse liigina,  $\gamma$ -kiirgus kaasneb (teatud hilineerisega)  $\alpha$ - või  $\beta$ -lagunemisega.

#### Radioaktiivsed perekonnad

Radioaktiivsed tuumad on omavahel geneetiliselt (oma sünni poolest) seotud: ühest tuumast tekib radioaktiivsel lagunemisel teine, mis samuti võib olla radioaktiivne jne. Niisugust omavahel seotud tuumade kogumit nimetataksegi radioaktiivseks perekonnaks. Looduslikud radioaktiivsed ained moodustavad kolm perekonda, mis algavad järgmiste tuumadega:  $U_{92}^{238}$ ,  $Th_{90}^{232}$ ,  $Ac_{89}^{235}$ . Kõik perekonnad lõpevad  $Pb_{82}$  ühe stabiilse isotoobiga.

#### Radioaktiivse lagunemise seadus

Radioaktiivne lagunemine on statistiline nähtus. Sama aine konkreetsed tuumad võivad laguneda väga erineva ajajooksul. Seetõttu on mõtet rääkida suure arvu tuumade keskmisest elueast.

Radioaktiivne lagunemine allub eksponentsiiaalsele seaduspärasusele:

$$N = N_0 e^{-\lambda t}, \quad (692)$$

kus  $N$  on ajahetkel  $t$  olemasolevate tuumade arv;

$N_0$  - tuumade arv ajahetkel  $t = 0$ ;

$\lambda$  - antud ainele iseloomulik suurus - radioaktiivse lagunemise konstant.

Selgitame  $\lambda$  mõtte. Ajaühiku jooksul lagunevate tuumade arv:

$$\frac{dN}{dt} = -\lambda N_0 e^{-\lambda t} = -\lambda N, \quad (693)$$

kust

$$\lambda = - \frac{1}{N} \frac{dN}{dt}. \quad (694)$$

Seega radioaktiivse lagunemise konstant näitab, milline osa tuumadest laguneb ajauhiku jooksul. Teisisiti:  $\lambda$  võrdub töenäosusega, et tuum laguneks ajauhiku jooksul.

Ajavahemikku, mille jooksul lagunevad pooled antud aine tuumad, nimetatakse poolestussajaks. Poolestusaja võime määrama tingimusest

$$\frac{N_0}{N} = N_0 e^{-\lambda T},$$

kust

$$T = \frac{\ln 2}{\lambda} = \frac{0,693}{\lambda}. \quad (695)$$

Teadaolevate radioaktiivsete tuumade poolestusajad on vahemikus  $3 \cdot 10^{-7}$  s ...  $5 \cdot 10^{15}$  a.

Keskmine eluiga

$$\tau = \frac{1}{\lambda} = \frac{T}{\ln 2} = \frac{T}{0,693}. \quad (696)$$

#### Nuklonite arv tuumas ja tuuma stabiilsus

Radioaktiivsed tuumad on mittestabiilsed seetõttu, et neutronite ja prootonite arv tuumas ei vasta tasakaalulisele. Niisuguseל tuumal on "kasulik" muuta oma koostist, kuna sel juhul vabaneb energiat, tuuma energia väheneb. Tuleb eristada mittestabiilset tuuma ja ergastatud tuuma. Mittestabiilne tuum võib olla nii ergastatud kui ergastamata (põhi-)olekus. Kui mittestabiilne tuum on ergastamata olekus, siis tema energia antud koostise juures on minimaalne. Ergastatud ja ergastamata olekus võivad olla nii stabiilsed kui mittestabiilsed tuumad.

Ligikaudne teooria näitab, et neutronite ja prootonite arv stabiilses tuumas  $N_{st}$  ja  $Z_{st}$  allub seaduspärasusele:

$$\frac{N_{st}}{Z_{st}} = 0,98 + 0,015 A^{2/3}. \quad (697)$$

Seos on saadud tuuma koguenergia miinimumi tingimusest. Üldiselt on seos (697) küllalt hästi täidetud, Igatahes ei erine stabiilsetel tuumadel  $\frac{N_{at}}{Z_{at}}$  palju (697) põhjal arvutustust.

### $\alpha$ -lagunemine

$\alpha$ -lagunemisel väljastab tuum He aatomit tuuma  $\text{He}_2^4$ , seega tema laeng väheneb kahe võrra (tuum nihkub Mendelejevi tabelis kahe koha võrra ettepoole), massiarv – nelja võrra.

Konkreetsed tuumad väljastavad reeglina kindla energiaga  $\alpha$ -osakesi. Täpsemad mõõtmised on aga näidanud, et ühe isotoobi tuumad väljastavad veidi erineva, kuid siiski diskreetse energiaga  $\alpha$ -osakesi.  $\alpha$ -osakeste diskreetne energiaspekter näitab, et tuumal on diskreetsed energiatasemed.

$\alpha$ -osakeste väljumine tuumast on seotud kuloonilistest jõududest tingitud potentsiaali barjaari ületamisega. Kas sed mäitavad, et  $\alpha$ -osakese kineetiline energia on alati väiksem potentsiaali barjaari maksimaalsest kõrgusest:

$$E_0 = \frac{2Ze^2}{r}, \quad (698)$$

kus  $r$  on tuuma raadius, kaugus (tuuma keskpunktist), millest alates mõjuvad tuumajõud;

$2e$  –  $\alpha$ -osakese laeng.

Seega  $\alpha$ -lagunemine on võimalik ainult tunneliefekti tõttu.  $\alpha$ -lagunemise seaduspärasused on heas kooskõlas tunneliefekti teooriaga. Kooskõlas valemiga (514) on barjaari läbimise töenäosus seda suurem (poolestusaeg seda väiksem), mida suurem on  $\alpha$ -osakese kineetiline energia ja mida madalam on potentsiaali barjaar.

### $\beta^-$ -lagunemine, Neutriino

$\beta^-$ -lagunemisel kiirgab tuum elektroni. Kunstlikult on võimalik tekitada ka  $\beta^+$ -radioaktiivsust. Sel juhul kiirgab tuum elektroni nn. antiosakese – positroni.

$\beta^-$ -lagunemise korral ei muudu nuklonite koguarv

tuumas, prootonite arv aga kasvab ühe vörra ning neutronite arv väheneb ühe vörra. Seega muundub üks neutron prootoniks:



Kuid elektroni teke ei saa olla selle protsessi ainaks tulemuseks. Selleks on kolm põhjust.

1. Protsess (699) on vastulus impulsimomendi jaavuse seadusega. Nii neutoni, protoni kui elektroni spinn on  $1/2$ . Et avaldises (699) paremal pool saaksime spinnide summaaks  $1/2$ , peab tekkima veel üks poolearvulise spinniga osake.

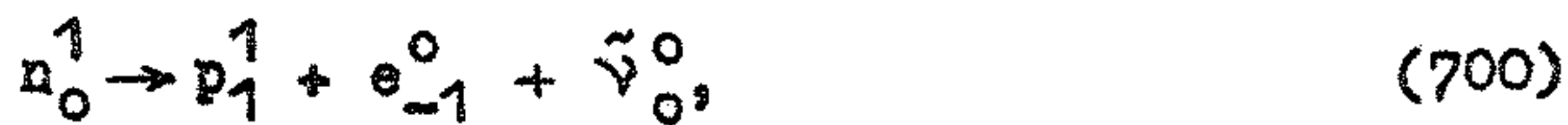
2. Protsess (699) on vastuolus energi jaavuse seadusega. Asi on selles, et  $\beta$ -elektronide spekter (erinevalt  $\alpha$ -osakeste spektrist) pole diskreetne, vaid pidev. Elektronide suhtelise arvu sõltuvus nende energiast on pidev ning sujuv kõver, mis muutub nulliks  $E$  väärustuse juures  $0$  ning  $E_{\max}$  (antud aine jooks kindel suurus) ja omab maksimumi  $E$  väärustuse juures  $E < \frac{E_{\max}}{2}$ . Kindlate tuumade  $\beta^-$ -lagunemisel aga vabaneb kindel energia  $E_0$ , mis võrdub ematuuma ja tütar-tuuma seisumasside vahega, korrutatud  $c^2$ -ga. Kui elektron saaks kogu vabaneva energi, peaks tema kineetiline energiä vördu  $E_{\max} = E_0 - m_0 c^2$  ( $m_0$  – elektroni seisumass). Seega peaks elektronide kineetiline energiä antud tuumade lagunemisel olema kindel suurus. Kuna ta seda pole (on sellest väiksem), peab energiä ülejaagi saama mingi teine osake.

3. Protsess (699) on vastuolus nn. leptonlaengu jaavuse seadusega (lähemalt tuleb sellest juttu edaspidi). Protsessais osalevatest osakeatest omab leptonlaengut (+1) ainult elektron. Leptonlaengu jaavus nouab, et tekiks osake leptonlaenguga -1.

Niisuguse osakese olemasolu ennustas Pauli 1931. a. Teda nimetati neutriinoks. Neutriino on laenguta osake, tema spinn on  $1/2$ , seisumass väga väike (või 0). Neutriino vastasmõjustub ainega äärmiselt nõrgalt, ta ei võta osa ei elektromagnetilisest ega tugevast vastasmõjust, võtab osa ainult nn. nõrgast vastasmõjust, mille intensiivsus on tunduvalt

väiksem nii tugeva kui elektromagnetilise vastasmõju intensiivsusest. Nāiteks läbib neutriino maakera praktiliselt takistamatult. Seetõttu õnnestus neutriino olemasolu katseliselt tööstada alles 1956. a.

Seega toimub  $\beta^-$ -lagunemine järgmiae skeemi kohaselt:



kus  $\tilde{\nu}$  on nn. antineutriino. Antineutriino on neutriino antiosake. Antineutriino leptonlaeng on -1 (neutriinol +1).

$\beta^-$ -lagunemisel jaguneb kogu vabanev energia  $E_{\max}$  elektroni ja antineutriino vahel statistiliselt, keskmiselt saab antineutriino energia  $0,7 E_{\max}$ .

Kuna  $\beta^-$ -lagunemine toimub nõrga vastasmõju toimel, siis on  $\beta$ -aktiivsete tuumade poolestusajad subteliselt pikad (protsess toimub seda kiiremini, mida tugevamale vaastasmõjule ta allub).

Protsess (700) võib toimuda ka vaba neutroniga. Kuna  $m_n > m_p$ , siis on see ergeetiliselt võimalik. Seetõttu ongi neutron mittestabiilne osake.

### $\gamma$ -kiired

Looduslike radioaktiivsete ainete hulgas pole ühtki sellist, mis väljastaks ainult  $\gamma$ -kiiri,  $\gamma$ -kiired aga kaasnevad sageli  $\alpha$ - või  $\beta^-$ -lagunemisega. Seejuures väljastab  $\gamma$ -kvante tūtartuum (mitte ematum).  $\gamma$ -spekter on diskreetne, s.t. iga tuum väljastab vaid kindla energiaga  $\gamma$ -kvante.

$\gamma$ -kvandi välja kiiranud tuuma energia väheneb. Järelikult oli radioaktiivsel lagunemisel tekkinud tuum enne  $\gamma$ -kvandi kiirgamist ergastatud olekus.  $\gamma$ -spektri diskreetsusest järldub, et ka tuuma energia on diskreetne.  $\gamma$ -kvanti energia on suur (mõni MeV), järelikult on vahekaugus tuuma energiatasemete vahel märksa suurem aatomi energiatasemete vahekaugusest.

Tuuma ergastatud oleku eluiga on  $10^{-13} \dots 10^{-14}$  s (aatomil  $\sim 10^{-8}$  s). Selle aja väljal läheb tuum põhiolekusse. Seejuures võib tuum minna põhiolekusse rea vahepealaete

olekute kaudu, mille tõttu antud tuuma kiirgus võib koosne da mitmesuguse (kuid diskreetse) energiaga kvantidest. Ainult mõningatel juhtudel võib tuuma ergastatud oleku eluiga olla märksa suurem (isegi kuni mõni aasta). Selliseid ergastatud tuumi nimetatakse isomeerideks.

$\gamma$ -kiirgus on väga lühilaineline elektromagnetkiirgus. Seetõttu ilmnevad tema laineomadused nõrgalt ning kiirgus kaitub peamiselt osakeste -  $\gamma$ -kvantide - voona.

Ergastatud tuum võib oma lisaenergia ära anda mitte ainult  $\gamma$ -kvandi näol. Ta võib selle anda vahetult aatomile ühe sisekatte elektronile, mille tulemusena elektron lahkub aatomist. Niisugust nähtust nimetatakse sisekonversiooniks. Tekkinud vakantse koha täidab elektron mõnest välimisesest kat test. Seetõttu kaasneb sisekonversiooniga alati karakteristik röntgenikiirgus.

## TUUMAREAKTSIOONID

### Tuumareaktsiooni mõiste

Tuumareaktsioon on tuuma muundumine tema vastasmõjul teiste tuumade või osakestega.

Kõige levinumaks tuumareaktsiooniks on reaktsioon, milles osakese a ja tuuma X vastasmõjul tekib uus tuum Y ja osake b:



Sageli tähistatakse sellist reaktsiooni lühidalt:



kus a on reaktsiooni esile kutsunud osake;

b - reaktsioonil tekkinud osake.

Mõnikord lühendatakse seda kirjutusviisi veelgi:



Kõigil tuumareaktsioonidel kehtib laengu, massi (massiarvu), energia, impulsi ja impulsimomendi jaavuse seadus.

Kui reaktsiooni esilekutsunud osake a on identne reaktsioonil tekkinud osakesega b ( $a \equiv b$ ), siis nimetatakse prot-

sessi (701) hajutamiseks. Kui sel juhul osakese b energiavõrdub osakese a energiaga ( $E_b = E_a$ ), siis nimetatakse hajutamist elastseks, vastupidisel juhul ( $E_b \neq E_a$ ) – mitteelastseks.

### Karakteristlik tuuma-aeg

Karakteristlikuks tuumaajaks nimetatakse ajavahemiku, mille jooksul osake läbib tuuma läbimõõduga võrdse tee-pikkuse.

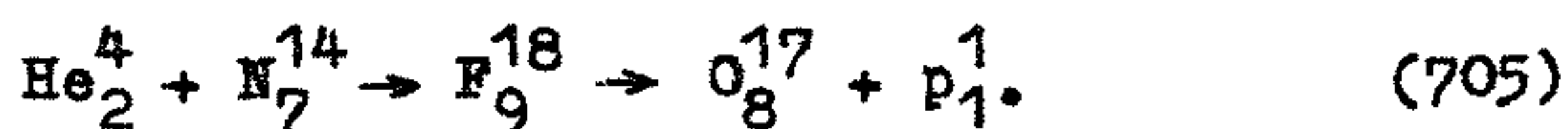
Nukloni jaoks energiaga 1 MeV on karakteristlik tuuma-aeg suurusjärgus  $10^{-22}$  s.

### Liit-tuum

Iga tuumareaktsioon, mis toimub aja jooksul, mis märgatavalts ületab tuumaaja, toimub kahes etapis. Esimeses etapis haarab tuum X osakese a ja moodustub vahepealne tuum – liit-tuum. Seejärel liit-tuum laguneb, kiirates välja osakese b:



kus C on liit-tuum. Sellise reaktsiooni näiteks on järgmine reaktsioon:



See on ühtlasi esimene laboratooriumis läbiviidud tuumareaktsioon (Rutherford, 1919). Pommitavateks osakesteks olid looduslikul radioaktiivsusel tekkivad  $\alpha$ -osakesed.

Esimene laboratooriumis kiirendatud osakete mõjul toimunud reaktsioon (Cockcroft, Walton, 1932):



Võrreldes tuumaajaga on liit-tuum eluiga suur. Sestõttu jõuab liit-tuum "unustada", kuidas ta tekkis ning liit-tuumu lagunemine ei sõltu sellest, kuidas ta tekkis.

Tuuma tunginud osakese energia jaguneb nuklonite vahel kiiresti. Liit-tuum on ergastatud olekus. Sellisesse

olekusse jaab tuum nii kauaks, kuni sisemiste fluktuatsioonide tõttu üks osake (mis võib koosneda ka mitmest nuklonist) saab tuumast väljumiseks piisava energia. Tuum võib energia ülejaagi ära anda ka  $\gamma$ -kvandi näol (kiirguslik haare).

### Otsesed tuumareaktsioonid

Kui tuuma tungiva osakese ja tuuma vastasmõju toimub tuumajõudude vahendusel ja osakese energia on suur (kümned MeV-d) siis toimub reeglina nn. otsene tuumareaktsioon. Sel juhul liit-tuuma ei teki. Tuuma tunginud osake annab oma energia vahetult mõnele osakesele (nuklonile,  $\alpha$ -osakesele jne.), mille tagajärjel see väljub tuumast.

### Tuumareaktsioonid neutronite toimel

Erinevalt laetud osakestest ei allu neutronid kuloonilisele töökumisele, mistõttu ka küllalt väikese energiaga neutronid võivad tungida tuuma. Sellised tuuma tunginud neutronid võivad tuumas esile kutsuda mitmesuguseid muundusi. Eriti suur on töenäosus neutroni haaramiseks tuuma poolt nn. soojslike neutronite korral. Soojslikeks neutroniteks nimetatakse selliseid, mille energia on samas suurusjärgus aatomite soojsliikumise energiaga (kuni mõni kümnenne eV). Neutroneid võib aeglustada, lastes neid läbi aine, mis sisaldb vesinikku (parafin, vesi). Sel juhul kaotab neutron energiat elastsetel põrgetel vesiniku tuumadega – prootoni-tega, kuni ta muutub soojslikuks.

Aeglase neutroni tuuma tungimise töenäosus on tavali-selt poordvõrdeline neutroni kiirusega, mis on seletatav sellega, et aeglasemalt liikuv neutron viibib kauem tuumajõudude mõju all. Sageli omab neutroni haaramise töenäosus teatava energia juures teravat maksimumi. Niisugust nähtust nimetatakse resonantshaardeks. Resonantshaare on seletatav sellega, et tuuma energia on diskreetne. Kui neutroni tuuma tungimisel tekkinud liit-tuuma energia võrdub ühe selle tuuma lubatud energiaga, siis neutroni haaramise töenäosus kasvab järsult.

Aeglaste neutronite toimel toimub peamiselt elastne

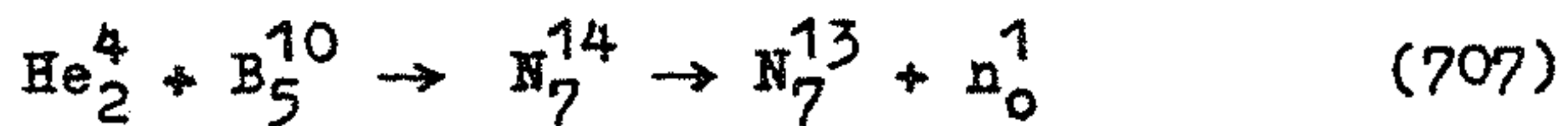
hajutamine ( $n, n$ ) ja kiirguslik haare ( $n, \gamma$ ), mõningatel kergetel tuumadel võivad toimuda ka reaktsioonid ( $n, p$ ) ja ( $n, \alpha$ )

### $\beta^+$ -radioaktiivsus

Nagu eespool nägime, omab stabiilsetes (mitteradioaktiivsetes) tuumades neutronite ja prootonite arvu suhe kindlat vaartust  $\frac{N}{Z}_{st}$  (697). Looduslikel  $\beta^-$ -radioaktiivsetel tuumadel on neutroneid rohkem,  $\frac{N}{Z} > \frac{N}{Z}_{st}$ , seetõttu muundubki niisugustes tuumades neutron prootoniks, mistõttu tuuma energia väheneb. Seejuures esineb looduslik  $\beta^-$ -radioaktiivsus rasketel tuumadel.

Tuumareaktsioonide abil võib ka stabiilseid tuumi (ka kergemaid) muuta  $\beta^-$ -radioaktiivseteks, muutes neutronite ja prootonite arvu suhet neis.

Kunstliku  $\beta^-$ -radioaktiivsuse avastasid M. Curie ja F. Joliot-Curie 1934. a. Stabiilseid tuumi pommitati  $\alpha$ -osakeatega. Reaktsioonid B, Al ja Mg tuumadega viisid nn.  $\beta^+$ -radioaktiivsuse avastamiseni. Naiteks reaktsioonil



tekkival tuumal on  $\frac{N}{Z} < \frac{N}{Z}_{st}$ . Niisuguses tuumas muundub prooton neutroniks. Vaba prootoni muundumine neutroniks on võimatu, kuna  $m_p < m_n$ . Kuid tuumas osutub niisugune muundumine energeetiliselt kasulikuks, s.t. niisugusel muundumisel tuuma energia väheneb.  $\beta^+$ -lagunemine toimub skeemi järgi:



kus  $e_{+1}^0$  on elektroni antiosake -positron, millel on täpselt samasugune mass kui elektronil, kuid laeng on  $+e$ . Samadel põhjustel, mida käsitlesime seoses  $\beta^-$ -lagunemisega, peab lisaks positronile tekima neutriino (leptonlaengu jäavuse põjal seekord mitte antineutriino, vaid neutriino; positro-

ni leptonlaeng on -1). Seega toimub  $\beta^+$ -lagunemisel tuumas muundumine:



### K-haare

Paljudes tuumades, mille  $\frac{N}{Z} < \frac{N_{st}}{Z_{st}}$ , võib prootoni muundumine neutroniks toimuda sel teel, et tuum haarab elektrooni ühelt sisekatetest (K,L jne.):



Niisugust protsessi nimetatakse K-haardeks. K-haare esineb näiteks tuumal Be<sub>4</sub><sup>7</sup>. Sel juhul toimub tuumas muundumine



K-haare on  $\beta$ -lagunemise kolmas liik. Erinevalt  $\beta^+$ -lagunemisest väljub K-haardel tuumast ainult neutriino, mis viib ära kogu vabaneva energiа.

### Tuumade jagunemine

1938. a. avastasid Hahn ja Strassmann, et uraani kiriitamisel neutronitega tekkisid kergemad elemendid Ba ja La. Sel juhul jaguneb neutroni haaranud raske tuum kaheks (vahel ka enamaks) kergemaks peaegu võrdse massiga tuumaks – killuks. Kuna kergemate tuumade eriseoseenergia on suurem kui raskemate, vabaneb niisuguse jagunemisel suur energias – ligikaudu 200 MeV, peamiselt on see kildude kineetiline energia. Peale selle tekib niisuguse jagunemisel 2–3 uut neutronit (sekundaarsed neutronid). Asi on selles, et rasketes tuumades on neutronite suhteline arv suurem kui kergetes, seetõttu on killud "üle koormatud" neutronitega, mistõttu nad kiirgavad neutroneid. Suurem osa neutroneid eraldub praktiliselt silmapilkselt (ajavahemiku  $< 10^{-14}$  s jooksul), osa neutroneid ( $\sim 0,75\%$ ) aga eraldub kildudest märgatava hinnemisega (kuni 1 min.). Neid nimetatakse hilinėvateks neutroneideks.

roniteks. Peale selle vabanevad killud neutronite ülejaagist  $\beta^-$ -lagunemise teel.

Jagunemise tõenäosus sõltub neutronite energiast. Neutronite, mille energia ületab 100 MeV, toimel jagunevad kõik tuumad. Neutronite, mille energia on mõni MeV, toimel jagunevad tuumad massiarvuga  $\geq 210$ . Neutronite, mille energia on  $\sim 1$  MeV, toimel jagunevad tuumad  $U_{92}^{238}$ ,  $Th_{90}^{232}$ ,  $Pa_{91}^{231}$ ,  $Pu_{94}^{239}$ . Soojuslike neutronite toimel jagunevad suure tõenäosusega  $U_{92}^{235}$ ,  $Pu_{94}^{239}$ ,  $U_{92}^{233}$ ,  $Th_{90}^{230}$  (kahte viimast looduses pole).

Raskete tuumade jagunemine on küllalt hõsti seletatav nn. tuuma tilgamudeli abil. Tuuma vaadeldakse elektriliselt laetud kokkusurumatu vedeliku tilgana. Tuuma sattunud neutroni energia jaotub nuklonite vahel, kutsudes esile nende soojusvõnkumise intensiivsuse kasvu, mistõttu tuum jagunebki.

### Jagunemise ahelreaktsioon

Raskete tuumade jagunemine neutronite toimel ja uute neutronite teke võimaldab seda reaktsiooni läbi viia ahelreaktsioonina. Ahelreaktsiooniks nimetatakse reaktsiooni, mille produktid võivad uuesti astuda reaktsiooni lähteaineaga.

Ahelreaktsiooni oluliseks karakteristikaks on neutronite paljunemise kordaja  $k$ , mis võrdub antud põlvkonna neutronite arvu ja eelneva põlvkonna neutronite arvu suhtega. Ahelreaktsioon võib tekkida ainult tingimusel  $k \geq 1$ . Kui  $k < 1$ , siis reaktsioon mõninga aja pärast kustub; kui  $k = 1$ , siis toimub reaktsioon jäava kiirusega; kui  $k > 1$ , toimub järjest kiirenev reaktsioon.

Tuumakütusena on kasutatavad isotoobid  $U_{92}^{235}$ ,  $Pu_{94}^{239}$  (esineb looduses tühisel hulgal),  $U_{92}^{233}$  (looduses ei esine).

Vaatame esialgu ahelreaktsiooni ideaalset skeemi. Oletame, et iga jagunemisel tekkinud neutron satub uuesti tuuma ja kutsub seal esile uue jagunemise. Sel juhul kasvaks jagunemiste ja neutronite arv laviinitaoliselt ja tegemist

oleks kiireneva ahelreaktsiooniga. Reaktsiooni alustamiseks piisab ühest neutronist. Selline neutron võib leiduda kosmilises kiirguses või tekkida  $^{235}_{92}\text{U}$  spontaansel jagunemisel (avastatud 1940; Flerov, Petržak).

Tegelikult ei kutsu kaugeltki kõik sekundaarsed neutronid esile uusi jagunemisi. 1. Nn. aktiivse tsooni (ruum, kus toimub reaktsioon) lõplike mõõtmete ja neutronite suure läbitungimisvõime tõttu lahkub osa neist aktiivsest tsoonist enne, kui neid haarab tuum. 2. Osa neutroneid haaratakse mittejagunevate tuumade poolt, mida alati leidub aktiivtsoonis. 3. Mitte kõik tuuma sattunud neutronid ei kutsu esile jagunemist. Konkureerivad protsessid on mitteelastne hajutamine ja kiirguslik haare.

Paljunemise kordaja sõltub jagunevast ainest, selle aine hulgast, aktiivtsooni mõõtmetest ja kujust. Aktiivtsooni minimaalseid mõõtmeid, mille juures on võimalik ahelreaktsioon, nimetatakse kriitilisteks mõõtmeteks. Jaguneva aine minimaalset massi, mis on vajalik ahelreaktsiooni läbiviimiseks, nimetatakse kriitiliseks massiks.

Looduslik uraan sisaldab 99,27 % isotoopi  $^{238}\text{U}$  ja 0,72 %  $^{235}\text{U}$ .  $^{235}\text{U}$  jagunemisel tekivad neutronid energiaga 0 ... 7 MeV (keskmise energia 2 MeV). Sellise energiaga neutronid praktiliselt ei kutsu esile  $^{238}\text{U}$  jagunemist. Sestõttu looduslikus uraanis ahelreaktsiooni ei teki.  $^{235}\text{U}$  eraldamine looduslikust uraanist on väga keerukas protsess.

Ahelreaktsiooni võib läbi viia juhitavana või mittejuhitavana. Juhitava ahelreaktsiooni korral on võimalik neutronite paljunemise kordajat k muuta, mittejuhitava reaktsiooni korral mitte.

Mittejuhitav reaktsioon on aatomipommi plahvatus. Aatomipommis kasutatakse kütusena puhost (või peaaegu puhost)  $^{235}\text{U}$  (või  $^{239}\text{Pu}$ ). Sellise pommi tuumalaeng kujutab endast kahte või enamat U või Pu tükki, mille massid on alla kriitilise. Et pomm plahvataks, vialikse tuumalaengud tavalise lõhkeaine plahvatuse abil kokku. Nuud ületab tuumalaengu mass kriitilise, toimub mittejuhitav ahelreaktsioon, mille korral väga lühikese aja jooksul vabaneb tohutu energia.

## Tuumareaktor

Tuumareaktor on seade, milles toimub juhitav ahelreaktsioon. Näitena vaatame soojuslike neutronitel töötavat reaktorit. Tuumakütusena kasutatakse kas looduslikku või isotoobiga  $U^{235}$  rikastatud uraani.  $U^{235}$  jagunemise tõenäosus soojuslike neutronite toimel on suur. Neutronite aeglustamiseks kasutatakse elastseid pörkeid tuumadega. Elastsel pörkel õraantav energia on suurim juhul, kui pörkuvate osakeste massid on võrdsed. Seetõttu oleks ideaalseks aeglustiks vesinikku sisalda vesi, näiteks vesi. Kuid tavalline vesi ei kõlba aeglustiks, kuna ta lisaks elastsetele põrgetele haarab intensiivselt neutroneid. Head aeglustid on rasked vesiniku (deuteerium  $D_2$ ), süsini ja berülliumi tuumad.

Reaktori aktiivtsoonis paiknevad vaheldumisi aeglusti (näit. grafiidi) ja suhteliselt õhukesed uraani plokid. See on vajalik selleks, et vältida  $U^{235}$  jagunemisel tekkivate neutronite kiirguslikku haaret  $U^{238}$  tuumade poolt. Enamik jagunemisel tekkinud neutroneid jõuab enne haaramist (eriti "ohtlik" on energia 7 eV, sellel energial toimub resonants-haare) aeglustisse, seal aga väljuvad soojuslikud neutronid, mida  $U^{238}$  ei haara. Reaktori aktiivtsoon on ümbratsetud neutroneid peegeldava ainega.

Reaktsiooni juhtimiseks kasutatakse intensiivselt neutroneid neelavast ainest (B, Cd) valmistatud vardaid, mille sügavust on võimalik muuta. Reaktsiooni juhtimine on võimalik ainult tänu hilinavatele neutronitele (neid on 0,75 %  $\approx \approx 1\%$ ). Hilinavate neutronite tõttu võime neutronite paljunemise kordaja k tõsta üle 1 (kuid mitte üle 1,01, siis toimuks plahvatus). Sel juhul reaktori võimsus kasvab. Kui võimsus on saavutanud ettenähtud vääruse, langetatakse vardad sellisele sügavusele, et  $k=1$ . Edasi töötab reaktor jäava võimsusega.

Kirjeldatud reaktorit, milles tuumakütus ja aeglusti on teineteisest eraldatud, nimetatakse heterogeenseks. Homo-  
geenses reaktoris moodustavad kütus ja aeglusti ühtlase segu (näit.  $U^{235}$  või  $Pu^{239}$  soolad on lahustatud raskes vees).

Reaktori aktiivtsoon kuumeneb tugevasti. Soojuse õra-

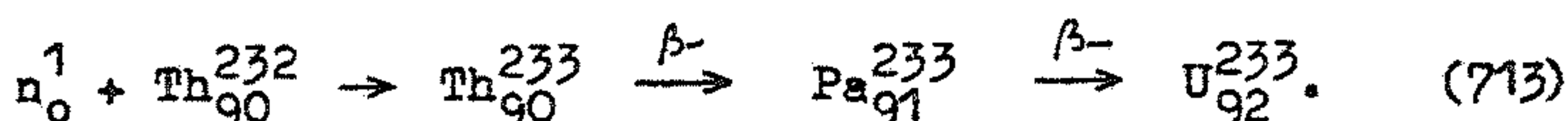
juhtimiseks reaktorist kasutatakse soojuskandjat (vett või madala silanisteparaadiigiga leelismetalle). Soojuskandja siinenergiat ei saa otsestelt kasutada, kuna soojuskandja on olnud aktiivtsoonis ja on seetõttu radioaktiivne. Soojuskandja annab soojusvalgetis soojust veele, muutes selle auruks, mida võib kasutada ergeetilistel eesmärkidel (näiteks auruturbiini tööks, mis omakorda paneb tööle voolugeneraatori).

Tuumaenergia hakati rahuotstarbeliselt esimesena kasutama meie maal. I. Kurtsatovi juhtimisel anti 1954. a. ekspluatatsiooni esimene atomielektrijaam võimsusega 5 MW. Tuumaenergia osatahtsus ergeetikas kasvab pidevalt. Tal on tähtis koht tulevikuenergeetikas.

Eriti perspektiivikad on isotoopidega  $U^{235}$  või  $Pu^{239}$  rikastatud kiiretel neutronitel töötavad reaktorid. Osa neutroneist võib sellistes reaktorites kasutada uue tuumakütuse  $Pu^{239}$  tootmiseks reaktsioonis



või  $U^{233}$  tootmiseks reaktsioonis



Seejuures võib uut tuumakütust tekkida rohkem, kui seda kuub reaktori tööks. Selliseid reaktoreid nimetatakse paljundusreaktoriteks. Esimene selline katselis-tööstuslik reaktor meie maal juba töötab (350 MW).

### Termotuumareaktsioon

Kergete tuumade ühinemisel raskemateks vabaneb samuti energiat. Kuna eriseoseenergia üleminekul kõige kergematelt tuumadelt raskematele kasvab väga järsult, siis vabaneb nisuguse sel sündeesil märgatavalt rohkem energiat (ühe nukloni kohta) kui raskete tuumade jagunemisel. Tuumade ühinemisel on neil vaja ületada kuluoniliste töukejoudude potentsiaali barjaär. Kõige kergemate tuumade ( $Z=1$ ) korral on see  $\frac{e^2}{r} \approx 0,7 \text{ MeV}$  ( $r$  on tuumajoudude mõjuraadius). Kui ühinemine

toimub soojusliikumise energia arvel ( $3/2 kT$  kummalgi tuumal), peaks temperatuur olema  $2,6 \cdot 10^9$  K. Kuid ühinemine võib toimuda ka märksa madalamal temperatuuril ( $10^7$  K), sest 1) üksikutel tuumadel võib olla keskmiseat märgatavalt kõrgem energia (kehtib Maxwellli jaotus), 2) ühinemine võib toimuda tunneliefekti tõttu.

Kergete tuumade ühinemise reaktsiooni, mis toimub ülikõrgetel temperatuuridel ( $10^7$  K ja enam), nimetatakse termotuumareaktsiooniks.

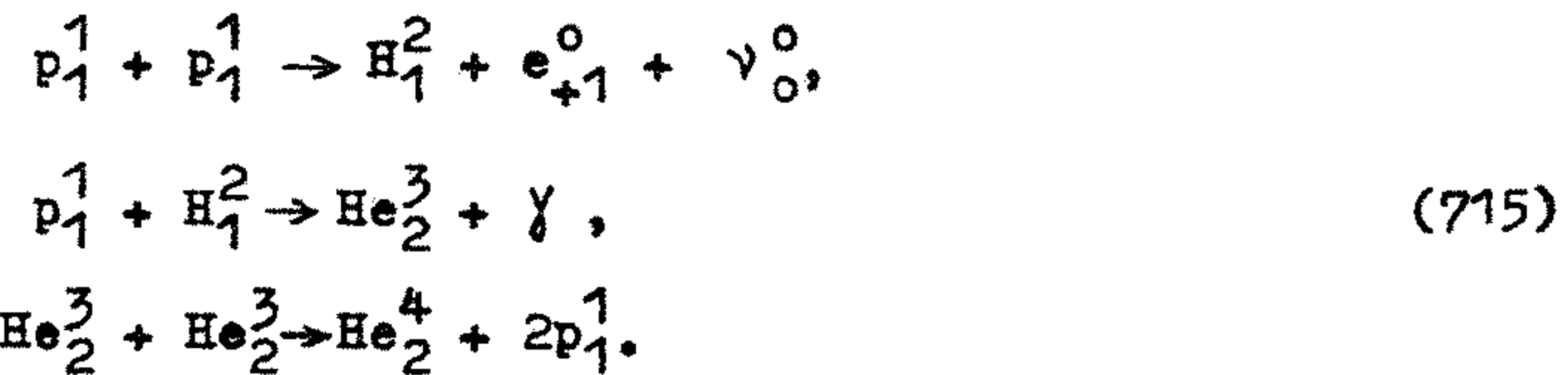
Niisuguse reaktsiooni näiteks võib olla deuteeriumi- ja triitiumituumade (ülrask vesinik) ühinemine, mis toimub vesinikupommi plahvatusel.



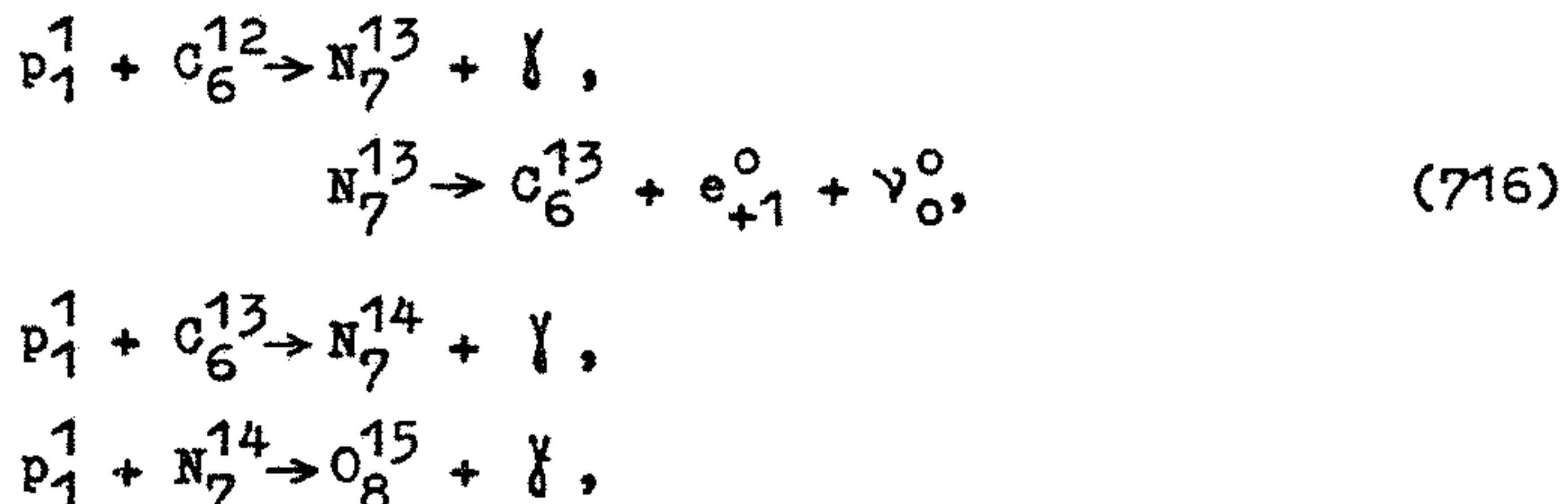
Reaktsiooniks vajalik temperatuur luuakse aatomipommi plahvatusega. Seega vesinikupommi sütikuks on aatomipomm. Sellel reaktsioonil vabaneb energia  $\sim 3,5$  MeV nukloni kohta (uraani jagunemisel 0,85 MeV).

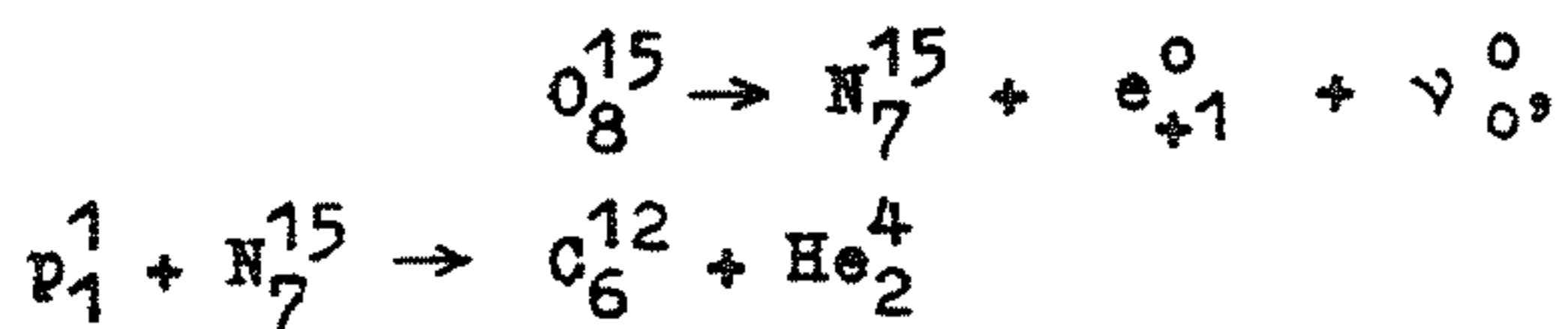
Termotuumareaktsioonid on Päikese ja teiste tähtede energiallikaks. Võimalikud on järgmised tsüklid.

1. Protoni-protoni tsükkel, mis toimub temperatuuril  $\sim 10^7$  K.



2. Süsinikutsükkel ( $\sim 2 \cdot 10^7$  K).





Reaktsiooni tulemuseks on nelja prootoni ühinemine He tuumaks, vabaneb energia 26,7 MeV. Sūsinikutuumade arv ei muudu, nad võtavad reaktsioonist osa katalüsaatoritena.

Juhitava termotuumareaktsiooni teostamiseks on vaja tekitada ja hoida teatud ruumalas temperatuuri  $\sim 10^8\text{ K}$ . Sellisel temperatuuril on aine täielikult ioniseeritud plasma. Nii kõrge temperatuuri saavutamine ja aine hoidmine sellel temperatuuril on äärmiselt keerukas probleem. Praegu ollakse veendunud, et plasma hoidmiseks tuleb kasutada eri kujuga tugevaid magnetvälju. On saavutatud temperatuur  $7 \dots \dots 8 \cdot 10^6\text{ K}$ , mille juures hoiti plasmat tihedusega  $10^{14}\text{ os./cm}^3$  ruumalas  $5 \text{ m}^3$  1 s jooksul.

Juhitava termotuumareaktsiooni teostamine annaks praktiliselt piiramatu energiaallika.

#### ELEMENTAAROSAKESED

##### Elementaarosakese mõistest

Kujutlus elementaarosakesestest tekkis seoses mateeria diskreetse ehituse avastamisega. Selle kujutluse järgi ei saa mateeriaat piiramatult jaotada, on olemas mateeria mikroskoopilised annused, mis ei ole enam jaotatavad. Neid väga väikeseid mateeria koostisosi hakatigi nimetama elementaarosakesteks.

Praeguseks on enamikul osakestest, mida suhteliselt hiljuti peeti elementaarseteks, avastatud sisemine struktuur. Vaatamata sellele sailis nende osakeste jaoks nimetus elementaarosake. Loomulikult muutus selle mõiste sisu. Seetõttu võiks antud etapil nimetada elementaarosakesesteks kõiki mikroosakesi, mis erinevad aatomitest ja aatomituumatest.

Neid osakesi, millel kaasaegsete kujutluste põhjal puudub sisemine struktuur, on hakatud nimetama fundamentaal-

seteks e. töeliselt elementaarseteks (leptonid, kvargid).

Praeguseks avastatud elementaarosakeste arv on väga suur - mitusada. Neist enamik on aarmiselt ebastiibilsed (eluiga  $10^{-22}$  ...  $10^{-24}$  s). Neid nimetatakse resonantsideks. Resonantse võib vaadata elementaarosakeste ergastatud olekutena.

### Vastaasmõjude liigid

Looduses on olemas neli fundamentaalset vastasmõju liiki: tugev, elektromagnetiline, nõrk, gravitatsiooniline. Vastaasmõjud erinevad nende protsesside intensiivsuse poolest, mida nad esile kutsuvad. Tabelis on toodud vastasmõjude intensiivsused suhtelistes ühikutes, kusjuures ühikuks on võetud tugeva vastasmõju intensiivsus, samuti vastasmõjude mõjuraadiused.

Vastaasmõju	Intensiivsus	Mõjuraadius, cm
Tugev	1	$10^{-13}$
Elektromagnetiline	$10^{-2}$	$\infty$
Nõrk	$10^{-14}$	$10^{-15}$
Gravitatsiooniline	$10^{-39}$	$\infty$

### Tugev vastasmõju

Tugevas vastasmõjus osalevad väga paljud osakesed. Tuumajõud on vaid tugeva vastasmõju üks ilminguid. Tugeva vastasmõju tõttu tekivad suure energiaga osakeste põrkel paljud uued osakesed. Osakesi, mis osalevad tugevas vastasmõjus, nimetatakse hadroniteks.

Vaatamata tugeva vastasmõju suurele intensiivsusele, on tema toime piiratud, seda kolmel põhjusel: 1) mitte kõik osakesed ei osale tugevas vastasmõjus (näit. footon ja elektron), tugev vastasmõju pole universaalne; 2) tugeva vastasmõju mõjuraadius on väga väike, kaugustel üle  $10^{-13}$  cm tugev vastasmõju lakkab; 3) tugevale vastasmõjule on iseloomulik

kõige kõrgem sümmeetria, mille tõttu tugeva vastasmõju protsessides kehtib kõige rohkem jäavusseadusi; iga jäavusseadus tingib aga teatud piirangud protsessidele.

### Elektromagnetiline vastasmõju

Elektromagnetiline vastasmõju teostub elektromagnetilise välja kaudu. Kuigi elektromagnetiline vastasmõju on nõrgem tugevast, osutub ta paljudes protsessides oma suure mõjuraadiuse tõttu määravamaks. Selle vastasmõjuga on seotud kõik elektrilised ja magnetilised nähtused, samuti optilised, soojuslikud, keemilised ja paljud mehaanilised nähtused. Selles vastasmõjus osalevad kõik osakesed (nii laetud kui neutraalsed) peale neutrino.

### Nõrk vastasmõju

Nõrk vastasmõju on kõigil kaugustel vörreldamatult nõrgem elektromagnetilisest ja tugevast vastasmõjust. Kuid nõrgas vastasmõjus osalevad kõik osakesed peale footoni. Seetõttu on nõrk vastasmõju universaalne.

Nõrga vastasmõju kvandid nn. vahebosonid  $W^\pm$  ja  $Z^0$  avastati 1982.– 1983. a.

### Gravitatsiooniline vastasmõju

Gravitatsiooniline vastasmõju on kõige nõrgem vastasmõju. Kuna gravitatsioonilises vastasmõjus osalevad eranditult kõik osakesed, on ta absoluutselt universaalne vastasmõju. Elementaarosakeste puhul ei oma gravitatsioonijõud praktiliselt mingit tähtsust. Seetõttu me järgnevas seda vastasmõju ei arvesta.

### Stabiilsed ja mittestabiilsed osakesed

Kõigi vastasmõjude ühiseks omaduseks on nende võime esile kutsuda osakeste lagunemisi. Kõigi tuntud osakeste hulgas on ainult 11 stabiilset: footon; elektron, prooton ning 3 neutrino koos oma antiosakestega. Kõik teised osakesed on kas mittestabiilsed või kujutavad endast resonantse. Mittestabiilsed osakesed erinevad resonantsidest selle poolest, et nende eluiga ületab tunduvalt nn. tugeva vastasmõju ka-

rakteristliku aja ( $\tau \approx r/c$ ;  $r$  - tugeva vastasmõju mõjuradius). Resonantside keskmise eluiga on selle ajavahemikuga võrreldav. Resonantside lagunevad ainult tugeva vastasmõju toimel. Osakese eluiga on seda lühem, mida tugevama vastasmõju toimel ta laguneb.

### Antiosakesed

Antiosakeste olemasolu on elementaarosakeste univeraalne omadus. Elektroni antiosakese – positroni – olemasolu ennustas Dirac 1928. a. (1932. a. avastati ta kosmises kiirguses). Diraci võrrandi (relativistliku Schrödingeri võrrandi) lahendamisel vaba elektroni jaoks saadi tema energia jaoks  $E = \pm \frac{m_0 c^2}{\sqrt{1-\beta^2}}$  ( $\beta = \frac{v}{c}$ ). Plussmärgiga avaldis on meile tuttav relatiivsustecooriaast, negatiivne avaldis aga annab elektronile üsna kummalised omadused. Vaba elektroni positiivne energia võib muutuda  $+\infty \dots m_0 c^2$ , järgneks keelatud energiate piirkond (keelutsoon)  $+m_0 c^2 \dots -m_0 c^2$  laiusega  $2m_0 c^2$ . Keelutsooni ületamisel peaks elektron kiirgama energia  $2m_0 c^2$  ja sattuma negatiivsete energiate piirkonda (negatiivne kineetiline ja seisuergia!), kusjuures seal tema energia võib muutuda  $-m_0 c^2 \dots -\infty$ , s.t. elektron võib kiirates õra anda lõpmata palju energiat. Ühtlasi oleks negatiivsete energiate piirkonnas elektroni mass negatiivne, s.t. jõu mõjul omandaks elektron jõuga vastasuunalise kiirenduse. Enamik füüsikuid soovitas negatiivse energiavalise kui füüsikaliselt absurdse lihtsalt kõrvale jäätta. Kuid Dirac läks teist teed. Ta oletas, et üleminekud positiivse energiaga tasemetelt negatiivse energiaga tasemetele ei toimu seestõttu, et tavaliselt on köik negatiivsed tasemed elektronidega täidetud (Pauli printsibi tõttu ei saa elektron sinna üle minna). Kui üks negatiivsel energiasemel asuv elektron saab juurde energia  $> 2m_0 c^2$ , võib ta üle minna positiivse energiaga tasemetele. Seejuures tekib üks elektron, negatiivse energiaga tasemele aga jaab auk, mis kaitub nagu positiivse laenguga osake, mille mass

võrdub elektroni massiga. See ongi elektroni antiosake posatron. Viimati kirjeldatud protsess on tuntud: kui footoni ( $\gamma$ -kvandi) energia  $h\nu \geq 2m_e c^2$ , siis tema vastasmöju tuumaga võib tekkida elektron-positronpaar.



Tuntud on ka vastupidine protsess. Elektron ja positron kohtudes "kaovad", annihileeruvad ja tekib kaks footonit (kahe footoni teket nõuab energi ja impulsi jaavus):



Analoogne arutlus kehtib kõigi fermionide kohta. Tegelikult on antiosakesed olemas ka bosonitel. Annihilatsioon on osakeste ja antiosakeste üldine omadus. Osakesel ja anti osakesel on ühesugune mass, ühesugune eluiga vaakumis, ühesugused spinnid (kuid magnetmomendi ja spinni orientatsionid on vastupidised), suuruselt võrdsed, kuid vastasmärgilised laengud, samuti on vastasmärgilised kõik teised karakteristikud e. kvantarvud (näit. elektroni ja positroni leptonlaengud). Osakesi, millel kõik kvantarvud on võrdsed nulliga, nimetatakse tõeliselt neutraalseteks (näit. footon). Neil osakestel antiosakesed puuduvad (e. nende antiosakesed on identsed nende endiga).

Antiosakeste olemasolu tõstatas probleemi antiainest. Meie maailmas on püsivad elektron ja prooton, positron ja antiprooton aga ebapüsivad, sest kohtudes vastavalt elektroni ja protoniga nad annihileeruvad. Jarelkult vaakumis või keskkonnas, kus puuduksid elektronid, võiksid näiteks positronid eksisteerida lõpmata kaua. Positron ja antiprooton võivad moodustada antivesiniku aatom, mis isoleeritud olekus või teiste antiaatomite keskkonnas oleks püsiv.

Tehialikult saadi esimene antituum – antideutron – 1965. a.

Võib oletada, et üksikud tahed või isegi galaktikad koosnevad antiainest. Niisuguste sūsteemide kohtumine meie ainega lõppeks gigantse plahvatusega. Seni selliseid plahvatusi registreeritud ei ole.

## Elementaarosakese klassid

Sõltuvalt sellest, millises vastasmõjus elementaarosakesed osalevad, ning nende spinnist jagunevad kõik elementaarosakesed nelja klassi. Jaotada võib ka teiste karakteristikute põhjal, kuid piisab neist kahest. Jaotusest on välja jäetud resonantsid.

1. Footon. Klassi moodustabki üksainus osake. Footon on boson, ta on ise elektromagnetilise vastasmõju kandja. Footon ei osale tugevas ega nõrgas vastasmõjus.
2. Leptonid. Leptonid ei osale tugevas vastasmõjus. Nad on fermionid. Leptoneid on 12: elektron, müün, tauon (taulepton); igaühele viimatinimetatuteat vastab oma neutriino; kõigil nimetatud osakestel on antiosakesed (muundumisel (700) tekib elektron-antineutriino). Kõigile leptonitele omistatakse leptonlaeng +1, antileptonitele leptonlaeng -1. Leptonlaegul pole midagi ühist elektrilaenguga. Niisuguse karakteristiku sissetoomine on tingitud sellest, et kõigil protsesidel kehtib leptonlaengu jaavuse seadus. Leptonlaengut omavad sinult leptonid. Ainsana antileptoniteat on eraldi nimetus elektroni antiosakesel positronil. Laenguga antiletoni tähis langeb kokku vastava letoni tähisega, ainult laeng (indeksina ülal vasakul) on vastupidine. Laenguta antiletoni tähiseks (neutriinod) on vastava letoni tähis lainelise joonega selle kohal.
3. Mesonid. Mesonid osalevad kõigis vastasmõjudes. Kuna nad osalevad ka tugevas vastasmõjus, siis on nad hadronid. Mesonid on bosonid, nende spinn on null, antimesoneid tähistaakse analoogselt antileptonitega.  $\pi^0$ - ja  $\eta^0$ -meson on tööliselt neutraalsed osakesed.
4. Barüonid. Barüonid osalevad samuti kõigis vastasmõjudes. Nad on (nagu mesonidki) hadronid, erinevalt mesonitest on nad fermionid. Sellesse klassi kuuluvad nuklonid prooton ja neutron ning nendeast raskemad osakesed, mille ühiseks nimetuseks on hüperonid. Kõigile barüonidele omistatakse barüonlaeng +1, antibarüonidele barüonlaeng -1. Kõigis protsessides kehtib barüonlaengu jaavuse seadus. Barüonlaengut omavad ainult barüonid.

Kõigi laetud elementaarosakeste laengu suurus on e  
(elementaarlaeng).

Klass	Osakeste nimetus	Osake	Anti-osake	Spinn	Seisu-mass, $m_e$	Elu-iga, s
Footonid	Footon	γ		1	0	stab.
Leptonid	Elektron	$e^-$	$e^+$		1	stab.
	Elektron-neutriino	$\nu_e$	$\tilde{\nu}_e$		0	stab.
	Müyon	$\mu^-$	$\mu^+$		207	$10^{-6}$
	Muuon-neutriino	$\nu_\mu$	$\tilde{\nu}_\mu$		0	stab.
	Tauon	$\tau^-$	$\tilde{\tau}^+$		3487	$10^{-12}$
	Tauon-neutriino	$\nu_\tau$	$\tilde{\nu}_\tau$		0	?
Mesonid		$\pi^0$			264	$10^{-16}$
	Pionid	$\pi^+$	$\pi^-$		273	$10^{-8}$
	Kaaonid	$K^+$	$K^-$		966	$10^{-8}$
		$K^0$	$\tilde{K}^0$		974	$10^{-10} - 10^{-8}$
	Eetameeson	$\eta^0$		0	1074	$10^{-19}$
	D-mesonid	$D^+$	$D^-$		3656	$10^{-13}$
	F-mesonid	$D^0$	$\tilde{D}^0$		3646	$10^{-13}$
Hadronid		$F^+$	$F^-$		3955	$10^{-13}$
	Prooton	p	$\tilde{p}$		1836	stab.
	Neutron	n	$\tilde{n}$		1839	$10^3$
	Hüperonid: lambda	$\Lambda^0$	$\tilde{\Lambda}^0$		2183	$10^{-10}$
		$\Sigma^0$	$\tilde{\Sigma}^0$		2334	$10^{-20}$
	sigma	$\Sigma^+$	$\tilde{\Sigma}^+$		2328	$10^{-10}$
		$\Sigma^-$	$\tilde{\Sigma}^-$		2343	$10^{-10}$
Barüonid	ksii	$\Xi^0$	$\tilde{\Xi}^0$		2573	$10^{-10}$
		$\Xi^-$	$\tilde{\Xi}^-$		2586	$10^{-10}$
	oomega	$\Omega^-$	$\tilde{\Omega}^-$	3/2	3273	$10^{-10}$

## Kvargid

Praeguseks pole sisemist struktuuri avastatud ainult footonitel ja leptonitel. Hadronite sisemise struktuuri olemasolu on kindlaks tehtud. Kõik hadronid koosnevad fundamentaaloosakestest, mida nimetatakse kvarkideks. Kvarkide idee kuulub Zweigile ja Gell-Mannile (1964).

Kõik hadronid on üles ehitatud kuuest kvargist (kuenda kvargi olemasolu pole seni tõestatud, see järeltub teooriast). Seejuures koosneb iga meson kvargi-antikvargi paarist, baruõn aga kolmest kvargist. Kvargid on järgmised.

Kvark	Spinn, $\frac{1}{2}$	Laeng, $e$	Baruõn laeng
u	$\frac{1}{2}$	$\frac{2}{3}$	$\frac{1}{3}$
d	$\frac{1}{2}$	$-\frac{1}{3}$	$\frac{1}{3}$
s	$\frac{1}{2}$	$-\frac{1}{3}$	$\frac{1}{3}$
c	$\frac{1}{2}$	$\frac{2}{3}$	$\frac{1}{3}$
b	$\frac{1}{2}$	$-\frac{1}{3}$	$\frac{1}{3}$
t	$\frac{1}{2}$	$-\frac{1}{3}$	$\frac{1}{3}$

Antikvargid erinevad kvarkidest elektrilaengu, baruõnlaengu, samuti teiste karakteristikute (mida antud kursuses pole sisse toodud) märgilt.

Mõningaid näiteid hadronite kvark-koostise kohta.

Osake	Koostis	Spinnide orientatsioon
$\pi^+$	$u\bar{d}$	$\uparrow\downarrow$
$\pi^-$	$\bar{u}d$	$\uparrow\downarrow$
p	uud	$\uparrow\downarrow\uparrow$
n	udd	$\uparrow\downarrow\uparrow$
$\Omega^-$	sss	$\uparrow\uparrow\uparrow$

Kuna kvargid on fermionid, siis näib riisuguate kvarkide struktuur, mis koosnevad ühesugustest fermionidest paralleelsete spinnidega, olevat vastuolus Pauli printsiiibiga. Et seda vastuolu kõrvaldada, tuli kvarkidele omistada veel üks karakteristik, mida hakati nimetama värvuseks. Iga kvark võib olla kolme värvvi: punane, kollane, sinine. An-

tikvarkidel on vastavalt täiendusvärvused. Need kolm värvi kokku annavad valge, samuti annab iga värv koos oma täiendvärviga valge. Kõigi hadronite koostis on selline, et nad on valged (värvitud).

Meie maailma koostisosadeks on elektron ja kvargid u ning d, nendest koosnevad tuumad ja aatomid.

Kvarkide omavaheline mõju on tugev, selle vahendajaks on glüüonid. Glüüonite seisumass on null, nad on bosonid ( $s = 1$ ). Kvarkide omavahelist mõju uurib kvantkromodünaamika. Kooskõlas selle teooriaga kasvavad kvarkidevahelised jõud kauguse kasvades. Kui see on õige, siis on arusaadav, miks pole õnnestunud leida vabu kvarke, neid lihtsalt pole. Kauguse vähenedes jõud kvarkide vahel vähenevad. Seetõttu käituvald kvargid hadronites nagu peaaegu vabad osakesed, mis on küllalt heas kooskõlas katsetega.

### Lõpetuseks

Koos kvarkmudeli loomisega tekkis idee ühendada kõik fundamentaalsed vastasmõjud ühtsesse teooriasse. Esimene samm sellel teel on tehtud. 1967. a. lõid Weinberg ja Salam elektromagnetilise ja nõrga vastasmõju ühtse teoria – elektronõrga vaastasmõju teoria. Järgmine ülesanne on ühendada elektronõrk ja tugev vastasmõju. Selle ülesandega tegeleb praegu intensiivselt nn. lokaalne kalibratsiooniteoria.

Lõplikku lahendamist ootab kvarkide probleem. Tuleb selgitada – nii teoreetiliselt kui eksperimentaalselt – kas kvargid ja leptonid on töepoolest struktuurita fundamentaalosakesed, samuti lahendada kvarkide "igavese vangistuse" probleem.

Suure tähtsusega on neutriino massi lõplik kindlakste-gemine – kas neutriinol on seisumass või mitte. Selles küsimuses seonduvad tihedalt elementaarosakeste füüsika ja astrofüüsika ning kosmoloogia. On võimalik, et üle 95 % universumi massist moodustavad neutrinod. Kui see nii on, siis muutuvad oluliselt ka meie arusaamat universumist ja tema evolutsioonist.

## SISUKORD

### II o s a

KVANTMEHAANIIKA JA AATOMIFÜÜSIKA.....	3
Kvantmehaanika aparatuur.....	3
Aatomite ja molekulide füüsika.....	18
KVANTSTATISTIKA JA TAHKE KEHA FÜÜSIKA.....	54
Kvantstatistika.....	54
Bose-Einsteini statistika. Tahke keha soojusmahtuvus.....	59
Fermi-Diraci statistika. Metallid ja pooljuhid	69
TUUMA- JA ELEMENTAAROSAKESTE FÜÜSIKA.....	97
Aatomituumad.....	97
Looduslik radioaktiivsus.....	106
Tuumareaktsioonid.....	112
Elementaarosakesed.....	122